

志賀原子力発電所2号炉 敷地の地質・地質構造について

補足資料

2020年9月16日
北陸電力株式会社

余白

目次

補足資料1. 1-1

文献調査 1.1-1- 1

補足資料1. 2-1

敷地の地形に関する調査 1.2-1- 1

(1) 航空レーザ計測仕様 1.2-1- 2

(2) 敷地の地形に関する文献調査 1.2-1- 4

補足資料1. 3-1

調査手法 1.3-1- 1

(1) 反射法・VSP探査 1.3-1- 2

補足資料2. 1-1

露頭調査結果 2.1-1- 1

(1) 1・2号機基礎掘削面 2.1-1- 3

(2) 重要な安全機能を有する施設の基礎地盤面等 2.1-1- 7

(3) 海岸部 2.1-1- 31

(4) 防潮堤基礎掘削法面 2.1-1- 33

(4)-1 既往スケッチ・写真データの整理 2.1-1- 35

(4)-2 トレンチ(①～⑧)再掘削調査 2.1-1- 76

(4)-3 岩盤未確認部の周辺地質の確認 2.1-1- 99

補足資料2. 1-2

取水路建設時のグラウトの影響範囲について 2.1-2- 1

補足資料2. 2-1

破碎部周辺の岩石名についての2017.3.10審査会合前後
における対応関係 2.2-1- 1

補足資料2. 2-2

固結した破碎部と岩盤の針貫入試験結果 2.2-2- 1

目次

補足資料2. 3-1

破砕部の幅と長さの関係 2.3-1- 1

補足資料2. 3-2

断層端部の調査結果 2.3-2- 1

- (1) S-1端部の調査結果 2.3-2- 2
- (2) S-2・S-6端部の調査結果 2.3-2- 9
- (3) S-4端部の調査結果 2.3-2- 18
- (4) S-5端部の調査結果 2.3-2- 23
- (5) S-7端部の調査結果 2.3-2- 27
- (6) S-8端部の調査結果 2.3-2- 33
- (7) S-9端部の調査結果 2.3-2- 41
- (8) B-1端部の調査結果 2.3-2- 45
- (9) B-2端部の調査結果 2.3-2- 51
- (10) B-3端部の調査結果 2.3-2- 55
- (11) K-1端部の調査結果 2.3-2- 61
- (12) K-2端部の調査結果 2.3-2- 65
- (13) K-3端部の調査結果 2.3-2- 71
- (14) K-4端部の調査結果 2.3-2- 76
- (15) K-5端部の調査結果 2.3-2- 79
- (16) K-6端部の調査結果 2.3-2- 83
- (17) K-7端部の調査結果 2.3-2- 87
- (18) K-8端部の調査結果 2.3-2- 91
- (19) K-9端部の調査結果 2.3-2- 95
- (20) K-10端部の調査結果 2.3-2- 99
- (21) K-11端部の調査結果 2.3-2- 103
- (22) K-12端部の調査結果 2.3-2- 107
- (23) K-13端部の調査結果 2.3-2- 110
- (24) K-24端部の調査結果 2.3-2- 113

補足資料2. 3-3

- 断層分布(陸域)の水平方向・深度方向のデータ 2.3-3- 1
- (1) S-1とB-1の水平方向・深度方向のデータ 2.3-3- 3
 - (2) S-1とS-4の水平方向・深度方向のデータ 2.3-3- 8
 - (3) S-1とS-9の水平方向・深度方向のデータ 2.3-3- 15
 - (4) S-1とB-2の水平方向・深度方向のデータ 2.3-3- 20
 - (5) S-1とS-2・S-6の水平方向・深度方向のデータ 2.3-3- 25
 - (6) S-2・S-6とS-8の水平方向・深度方向のデータ 2.3-3- 31
 - (7) S-2・S-6とB-2の水平方向・深度方向のデータ 2.3-3- 37
 - (8) S-2・S-6とS-7の水平方向・深度方向のデータ 2.3-3- 42
 - (9) S-2・S-6とS-9の水平方向・深度方向のデータ 2.3-3- 47
 - (10) S-2・S-6とB-3の水平方向・深度方向のデータ 2.3-3- 52
 - (11) S-4とS-5の水平方向・深度方向のデータ 2.3-3- 57
 - (12) S-4とB-1の水平方向のデータ 2.3-3- 64

補足資料2. 3-4

取水路沿いの調査における破砕部の抽出結果 2.3-4- 1

補足資料2. 4-1

- 破砕部性状一覧表 2.4-1- 1
- (1) S-1～B-3の性状一覧表 2.4-1- 2
 - (2) K-1～K-26の性状一覧表 2.4-1- 55
 - (3) 取水路沿いの追加調査で確認された幅3cm以上の破砕部(K-1～K-26以外)性状一覧表 2.4-1- 152
 - (4) 各断層の走向・傾斜データのシュミットネットへの投影 2.4-1- 172

目次

補足資料2.4-2

| | |
|--------------------|------------------|
| X線回折分析結果 | 2.4-2- 1 |
| (1) 2号機建設以前の調査 | 2.4-2- 2 |
| (2) 2号機建設以後の調査 | 2.4-2- 20 |
| (3) 第671回審査会合以降の調査 | 2.4-2- 80 |
| (4) 第849回審査会合以降の調査 | 2.4-2- 124 |

補足資料2.5-1

| | |
|-------------------------|-----------------|
| 運動方向調査結果 | 2.5-1- 1 |
| (1) 最新面及び変位センスの認定方法について | 2.5-1- 2 |
| (2) 条線観察結果 | 2.5-1- 4 |
| (2)-1 S-1の条線観察結果 | 2.5-1- 5 |
| (2)-2 S-2・S-6の条線観察結果 | 2.5-1- 92 |
| (2)-3 S-4の条線観察結果 | 2.5-1-121 |
| (2)-4 S-5の条線観察結果 | 2.5-1-137 |
| (2)-5 S-7の条線観察結果 | 2.5-1-142 |
| (2)-6 S-8の条線観察結果 | 2.5-1-157 |
| (2)-7 S-9の条線観察結果 | 2.5-1-166 |
| (2)-8 B-1の条線観察結果 | 2.5-1-171 |
| (2)-9 B-2の条線観察結果 | 2.5-1-177 |
| (2)-10 B-3の条線観察結果 | 2.5-1-182 |
| (2)-11 K-2の条線観察結果 | 2.5-1-226 |
| (2)-12 K-4の条線観察結果 | 2.5-1-236 |
| (2)-13 K-5の条線観察結果 | 2.5-1-239 |
| (2)-14 K-12の条線観察結果 | 2.5-1-242 |
| (2)-15 K-13の条線観察結果 | 2.5-1-248 |
| (2)-16 K-14の条線観察結果 | 2.5-1-252 |
| (2)-17 K-15の条線観察結果 | 2.5-1-261 |
| (2)-18 K-16の条線観察結果 | 2.5-1-265 |
| (2)-19 K-17の条線観察結果 | 2.5-1-271 |
| (2)-20 K-18の条線観察結果 | 2.5-1-335 |
| (2)-21 K-19の条線観察結果 | 2.5-1-341 |
| (2)-22 K-20の条線観察結果 | 2.5-1-345 |

| | |
|--------------------|-----------------|
| (2)-23 K-21の条線観察結果 | 2.5-1-348 |
| (2)-24 K-22の条線観察結果 | 2.5-1-351 |
| (2)-25 K-23の条線観察結果 | 2.5-1-356 |
| (2)-26 K-25の条線観察結果 | 2.5-1-361 |
| (2)-27 K-26の条線観察結果 | 2.5-1-364 |

| | |
|----------------------------|-----------------|
| (3) 露頭観察・コア観察・研磨片観察・薄片観察結果 | 2.5-1-186 |
| (3)-1 S-1の研磨片観察結果 | 2.5-1-187 |
| (3)-2 S-1の薄片観察結果 | 2.5-1-190 |
| (3)-3 S-2・S-6の露頭観察結果(会合部) | 2.5-1-197 |
| (3)-4 S-2・S-6の薄片観察結果 | 2.5-1-199 |
| (3)-5 S-4のコア観察結果 | 2.5-1-207 |
| (3)-6 S-4の薄片観察結果 | 2.5-1-210 |
| (3)-7 S-7の薄片観察結果 | 2.5-1-213 |
| (3)-8 S-8の薄片観察結果 | 2.5-1-217 |
| (3)-9 B-3の薄片観察結果 | 2.5-1-222 |
| (3)-10 K-1の研磨片観察結果 | 2.5-1-273 |
| (3)-11 K-2の研磨片観察結果 | 2.5-1-275 |
| (3)-12 K-3の研磨片観察結果 | 2.5-1-277 |
| (3)-13 K-4の研磨片観察結果 | 2.5-1-279 |
| (3)-14 K-4の薄片観察結果 | 2.5-1-281 |
| (3)-15 K-5の薄片観察結果 | 2.5-1-285 |
| (4) 断層の運動方向調査結果(取水路) | 2.5-1-291 |
| (4)-1 K-2の運動方向調査結果 | 2.5-1-292 |
| (4)-2 K-12の運動方向調査結果※ | |
| (4)-3 K-13の運動方向調査結果※ | |
| (4)-4 K-14の運動方向調査結果 | 2.5-1-306 |
| (4)-5 K-15の運動方向調査結果※ | |
| (4)-6 K-16の運動方向調査結果 | 2.5-1-323 |
| (4)-7 K-17の運動方向調査結果※ | |

目次

| | |
|--|-----------------|
| (4)-8 K-18の運動方向調査結果※ | |
| (4)-9 K-19の運動方向調査結果※ | |
| (4)-10 K-20の運動方向調査結果※ | |
| (4)-11 K-21の運動方向調査結果※ | |
| (4)-12 K-22の運動方向調査結果 | 2.5-1-367 |
| (4)-13 K-23の運動方向調査結果 | 2.5-1-375 |
| (4)-14 K-25の運動方向調査結果※ | |
| (4)-15 K-26の運動方向調査結果 | 2.5-1-385 |
| (5) 各断層の粘土状破碎部の運動方向 (Tangent-lineation diagram) | 2.5-1-391 |
| (6) コア写真 | 2.5-1-395 |
| 参考文献 | 参-1 |

補足資料2. 3-2

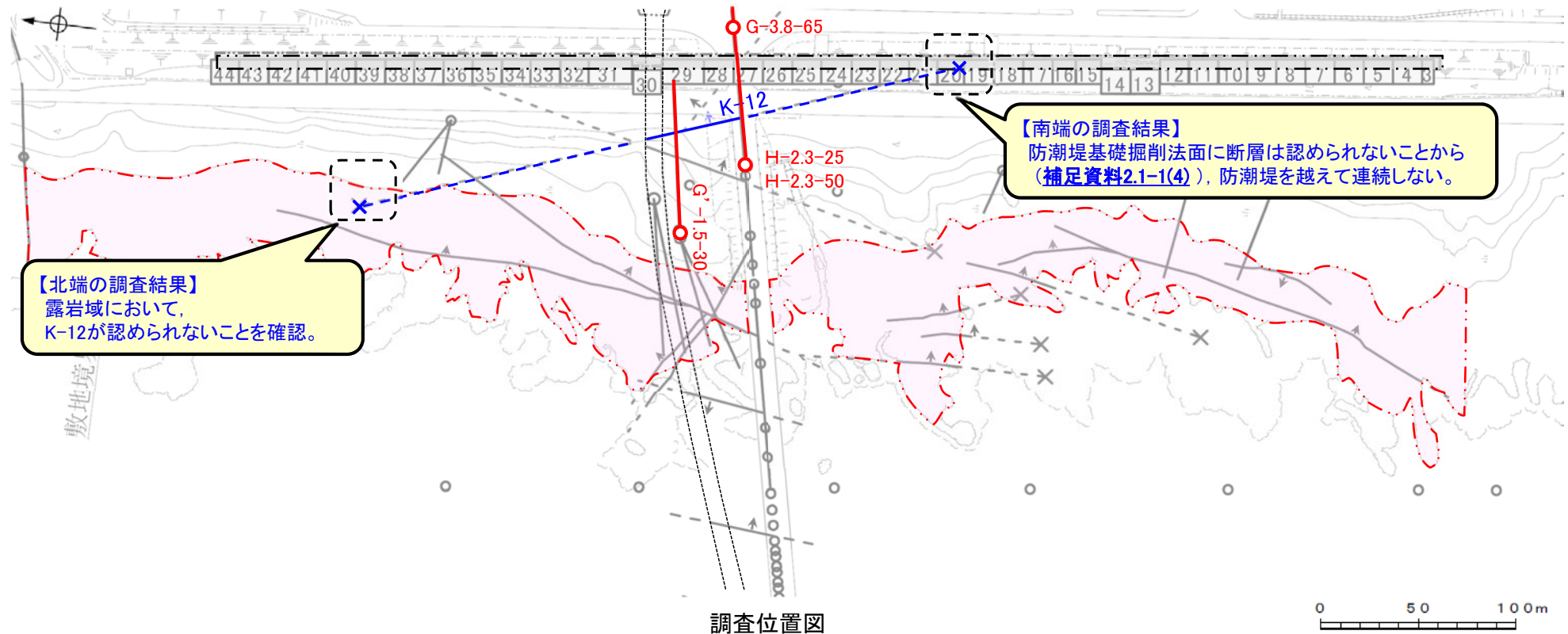
断層端部の調査結果

余白

(22) K-12端部の調査結果

K-12端部の調査結果 ー概要ー

■K-12端部の調査結果の概要を以下に示す。



K-12端部の調査概要

| 位置 | 調査箇所 | 調査結果 |
|----|------|-------|
| 北端 | 露岩域 | 北端の止め |
| 南端 | 防潮堤 | 南端の止め |

| | 延長 | 走向/傾斜 |
|------|-----------------|-----------------|
| K-12 | 50m以上 310m以下 | N21° W / 72° NE |

* 走向は、一般走向
傾斜は、ボーリングで確認したすべての破砕部のベクトル平均値

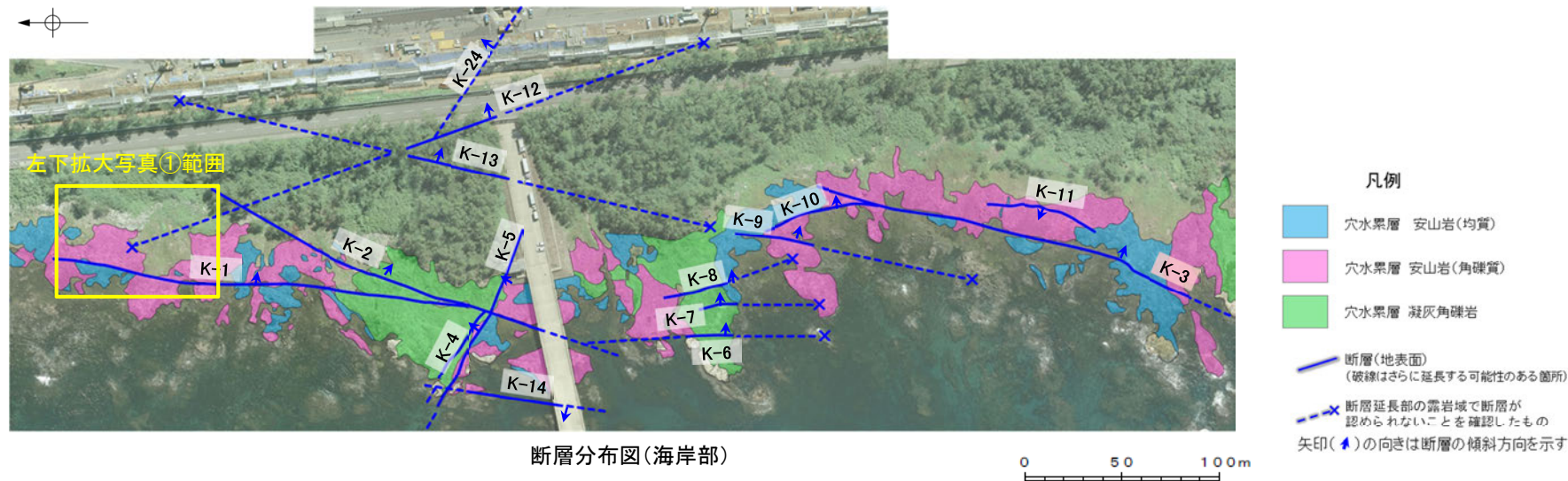
凡 例

- 鉛直ボーリング孔
- 斜めボーリング孔
- 露頭調査範囲
- 防潮堤基礎掘削範囲
- 断層(K-12以外)(EL0m)
- K-12(EL0m)
- K-12が認められた箇所を赤で着色
- x 断層延長部の露岩域で断層が認められないことを確認したもの
- x 断層端部を確認していないもの

矢印(▲)の向きは断層の傾斜方向を示す

■K-12北端の調査結果を以下に示す。

【K-12北端の調査結果】
露岩域において、K-12が認められないことを確認。



拡大写真①
K-12の北方付近

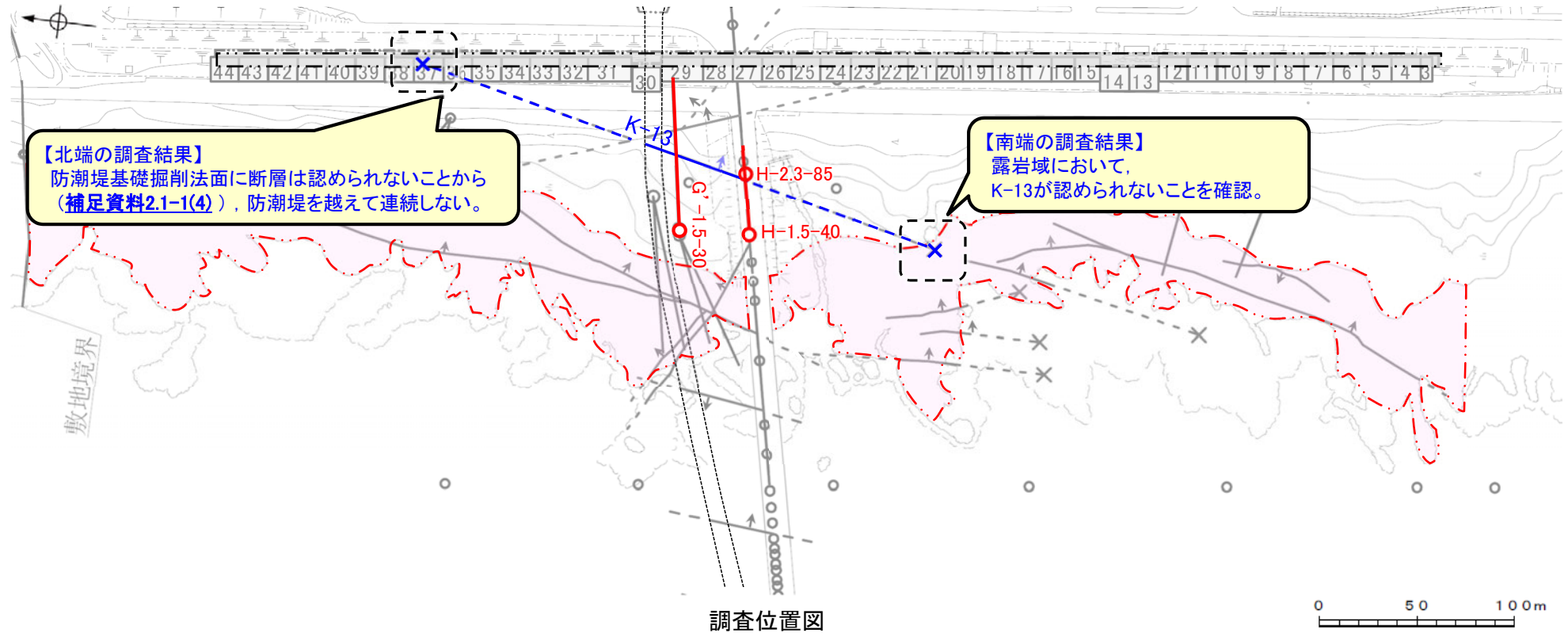


拡大写真②
K-12の北方延長

(23) K-13端部の調査結果

K-13端部の調査結果 ー概要ー

■K-13端部の調査結果の概要を以下に示す。



調査位置図

K-13端部の調査概要

| 位置 | 調査箇所 | 調査結果 |
|----|------|-------|
| 北端 | 防潮堤 | 北端の止め |
| 南端 | 露岩域 | 南端の止め |

| | 延長 | 走向/傾斜 |
|------|-----------------|-----------------|
| K-13 | 55m以上 300m以下 | N12° E / 74° SE |

* 走向は、一般走向
傾斜は、ボーリングで確認したすべての破砕部のベクトル平均値

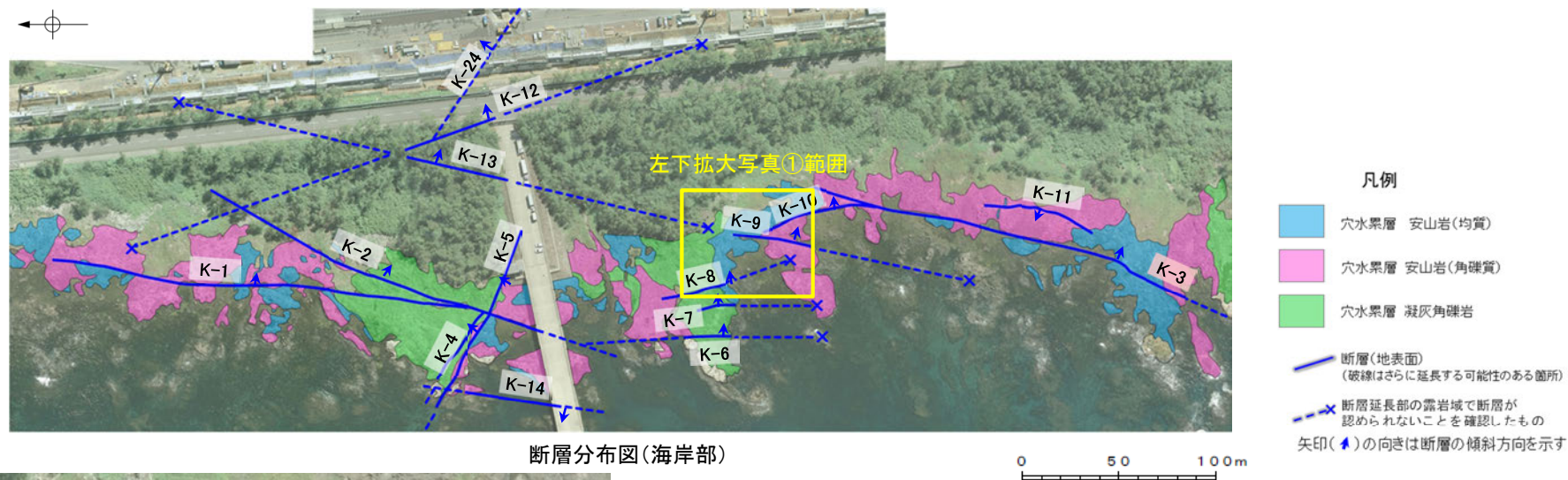
凡 例

- 鉛直ボーリング孔
- 斜めボーリング孔
- 露頭調査範囲
- 防潮堤基礎掘削範囲
- 断層 (K-13以外) (EL0m)
- K-13 (EL0m)
- K-13が認められた箇所を赤で着色
- 断層延長部の露岩域で断層が認められないことを確認したもの
- 断層端部を確認していないもの

矢印(↑)の向きは断層の傾斜方向を示す

■K-13南端の調査結果を以下に示す。

【K-13南端の調査結果】
露岩域において、K-13が認められないことを確認。



拡大写真①
K-13の南方付近

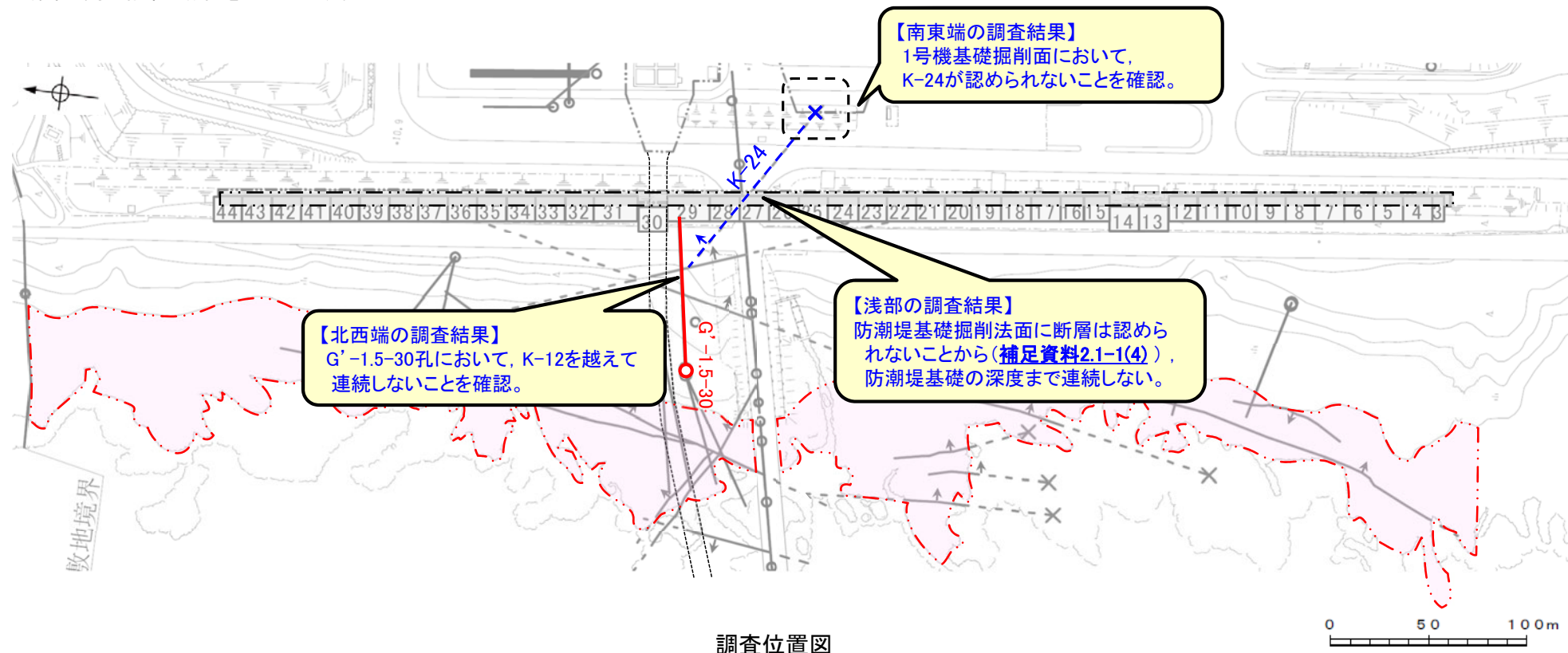


拡大写真②
K-13の南方延長

(24) K-24端部の調査結果

K-24端部の調査結果 ー概要ー

■K-24端部の調査結果の概要を以下に示す。



調査位置図

K-24端部の調査概要

| 位置 | 調査箇所 | 調査結果 |
|-----|------------|--------|
| 北西端 | G'-1.5-30孔 | 北西端の止め |
| 南東端 | 1号機基礎掘削面 | 南東端の止め |
| 浅部 | 防潮堤基礎 | 浅部の止め |

| | 延長 | 走向/傾斜 |
|------|--------|-----------------|
| K-24 | 105m以下 | N58° W / 89° NE |

凡 例

- 鉛直ボーリング孔
- 斜めボーリング孔
- x 断層延長部の露岩域で断層が認められないことを確認したもの
- 断層端部を確認していないもの
- x 露頭調査範囲
- 防潮堤基礎掘削範囲
- 断層(K-24以外)(EL0m)
- K-24(EL0m)

矢印(↑)の向きは断層の傾斜方向を示す

・ 走向・傾斜は、ボーリングで確認したすべての破砕部のベクトル平均値

K-24端部の調査結果 —北西端:G'-1.5-30孔①—

■K-24北西端の調査結果を以下に示す。

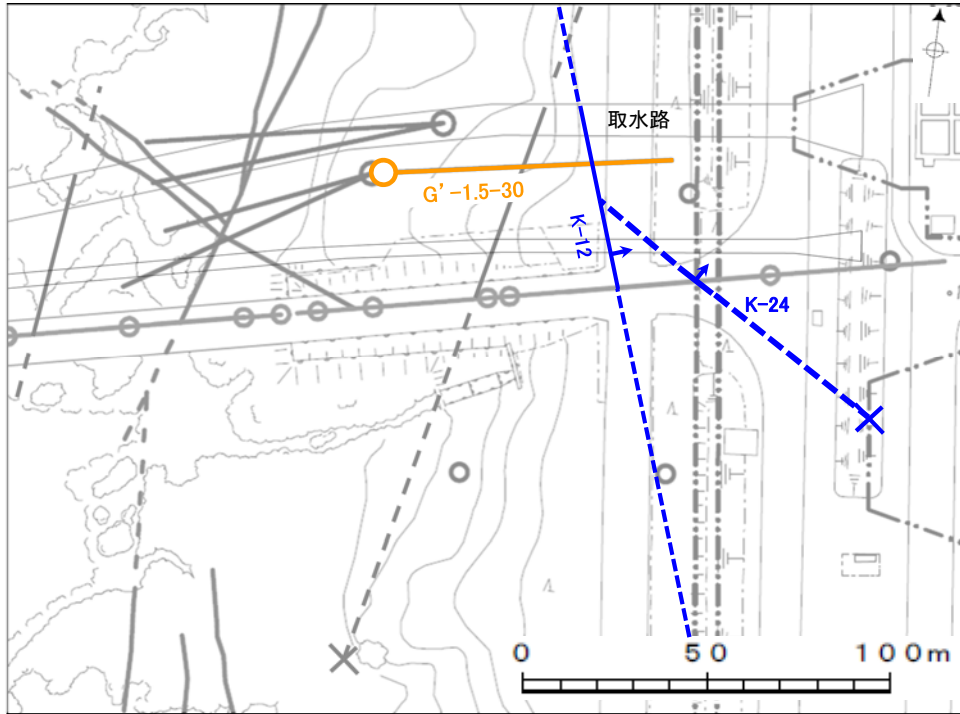
【K-24北西端の調査結果】

G'-1.5-30孔において、K-24はK-12を越えて連続しないことを確認。

○北西端の止めとしているG'-1.5-30孔の調査結果を以降に示す。

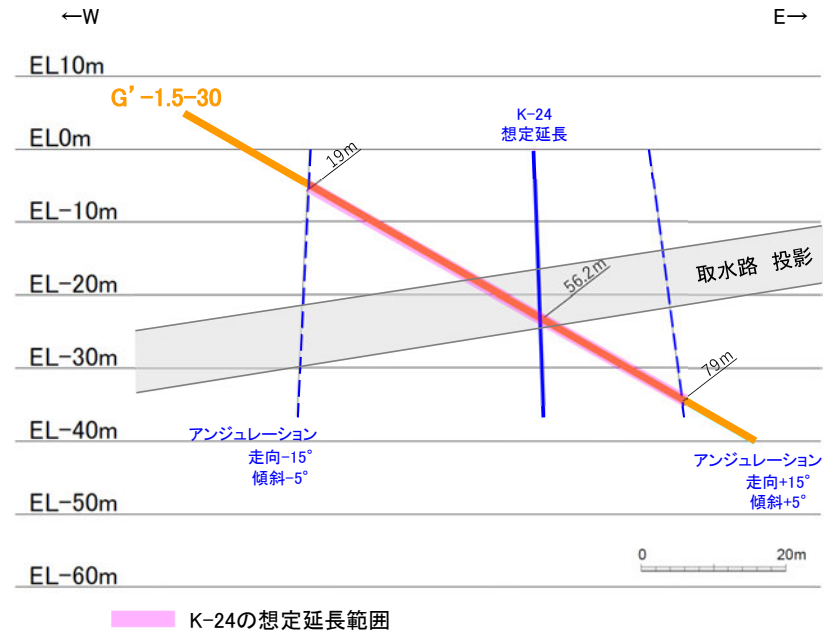
【G'-1.5-30孔の調査結果】

- ・右の断面図に示すとおり、K-24の想定延長は、深度19m以深となる。
- ・想定延長範囲において、K-24は認められない。
(想定延長範囲のコア写真は次頁参照)



矢印(▲)の向きは断層の傾斜方向を示す

調査位置図



G'-1.5-30孔断面図(掘進方向)

- K-12, K-24 (EL-20m)
- K-12, K-24以外の断層 (EL 0m)

(破線はさらに延長する可能性のある箇所)

- × 断層延長部の露岩域で断層が認められないことを確認したもの
- 断層端部を確認していないもの

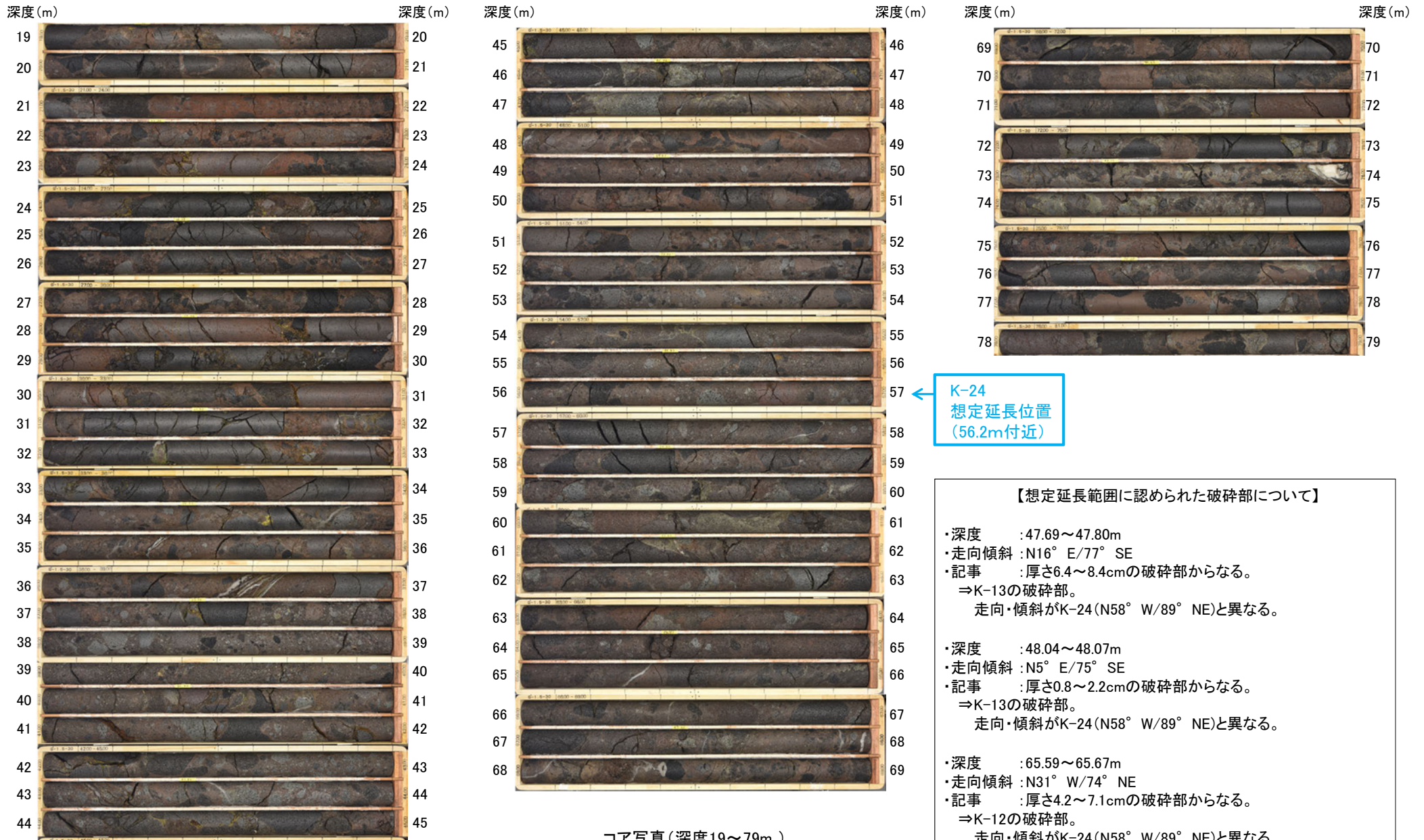
橙: 想定延長範囲にK-24が認められないボーリング

K-24端部の調査結果 —北西端:G'-1.5-30孔②—

・K-24想定延長範囲(深度19~79m)のコア写真を以下に示す。

G'-1.5-30孔(孔口標高4.65m, 掘進長90m, 傾斜30°)

柱状図はデータ集1



コア写真(深度19~79m)

K-24
想定延長位置
(56.2m付近)

【想定延長範囲に認められた破砕部について】

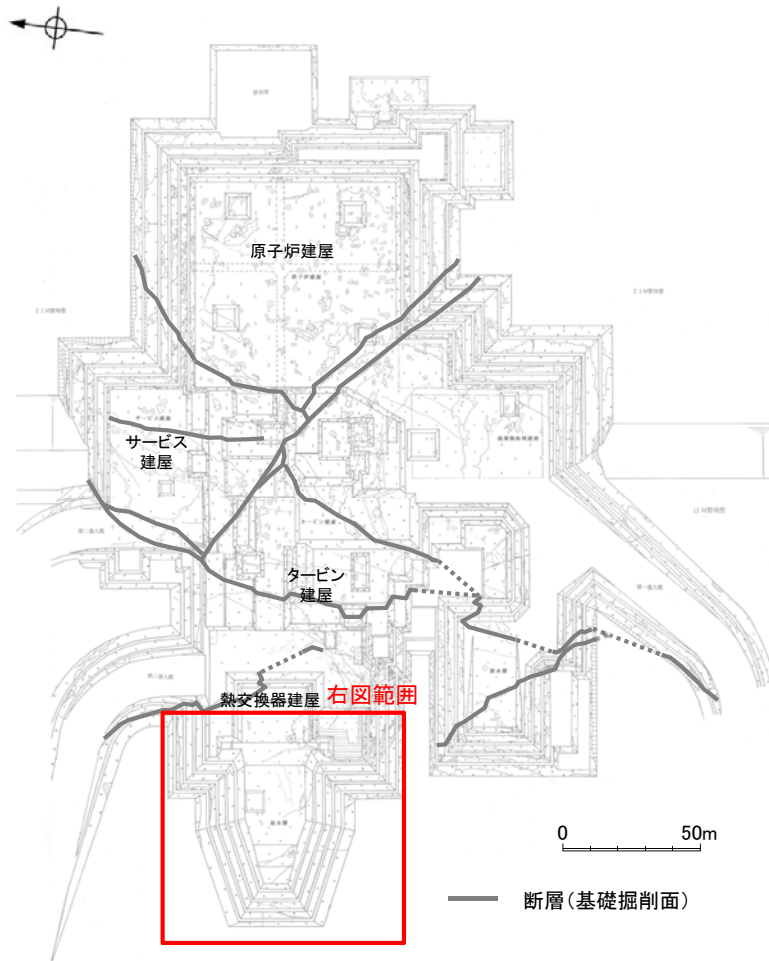
- ・深度 : 47.69~47.80m
- ・走向傾斜 : N16° E/77° SE
- ・記事 : 厚さ6.4~8.4cmの破砕部からなる。
⇒K-13の破砕部。
走向・傾斜がK-24(N58° W/89° NE)と異なる。
- ・深度 : 48.04~48.07m
- ・走向傾斜 : N5° E/75° SE
- ・記事 : 厚さ0.8~2.2cmの破砕部からなる。
⇒K-13の破砕部。
走向・傾斜がK-24(N58° W/89° NE)と異なる。
- ・深度 : 65.59~65.67m
- ・走向傾斜 : N31° W/74° NE
- ・記事 : 厚さ4.2~7.1cmの破砕部からなる。
⇒K-12の破砕部。
走向・傾斜がK-24(N58° W/89° NE)と異なる。

・G'-1.5-30孔において、K-24の想定延長範囲(深度19~79m)にK-24は認められない。

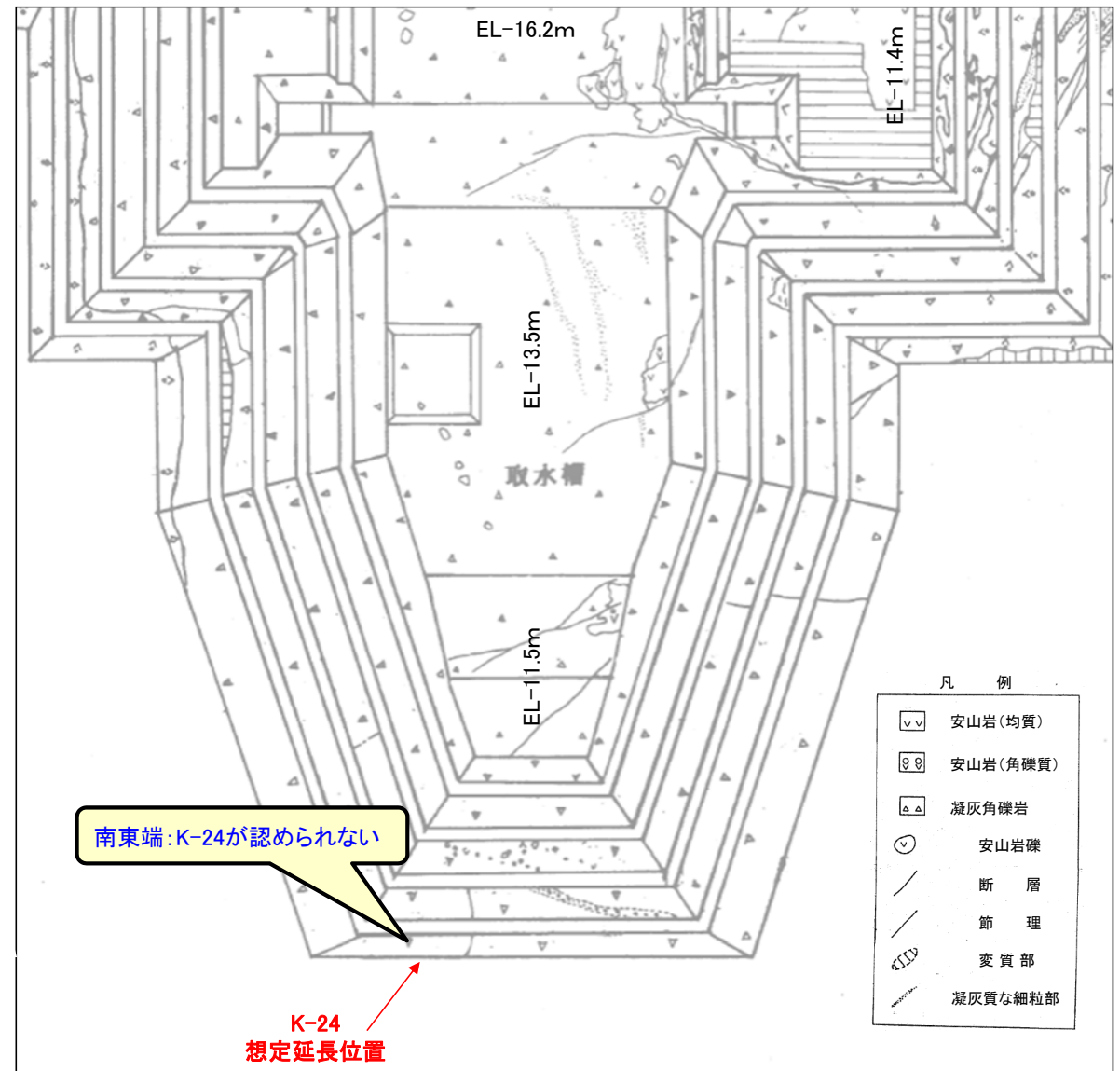
K-24端部の調査結果 —南東端:1号機基礎掘削面—

■K-24南東端の調査結果を以下に示す。

【K-24南東端の調査結果】
 1号機基礎掘削面において、K-24が認められないことを確認。



1号機基礎掘削面



拡大スケッチ



余白

補足資料2. 3-4

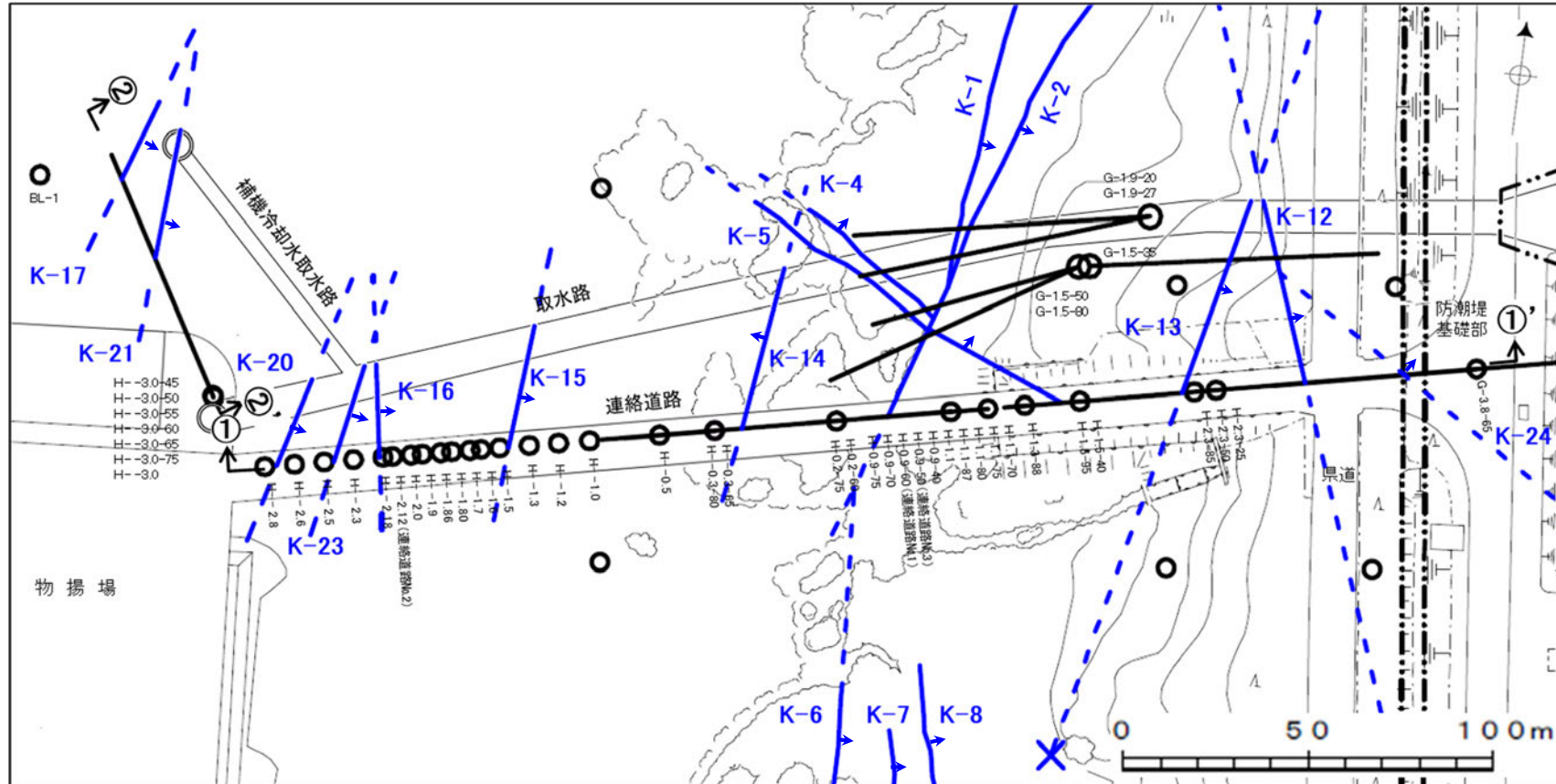
取水路沿いの調査における破砕部の抽出結果

取水路沿いの調査における破砕部の抽出結果

○抽出基準に基づき、134箇所の破砕部を連続性の検討対象となる破砕部として抽出した(平面図は下図, 断面図は次頁, 性状一覧は次々頁)。

【抽出した破砕部(幅3cm以上)の位置】

【平面図】

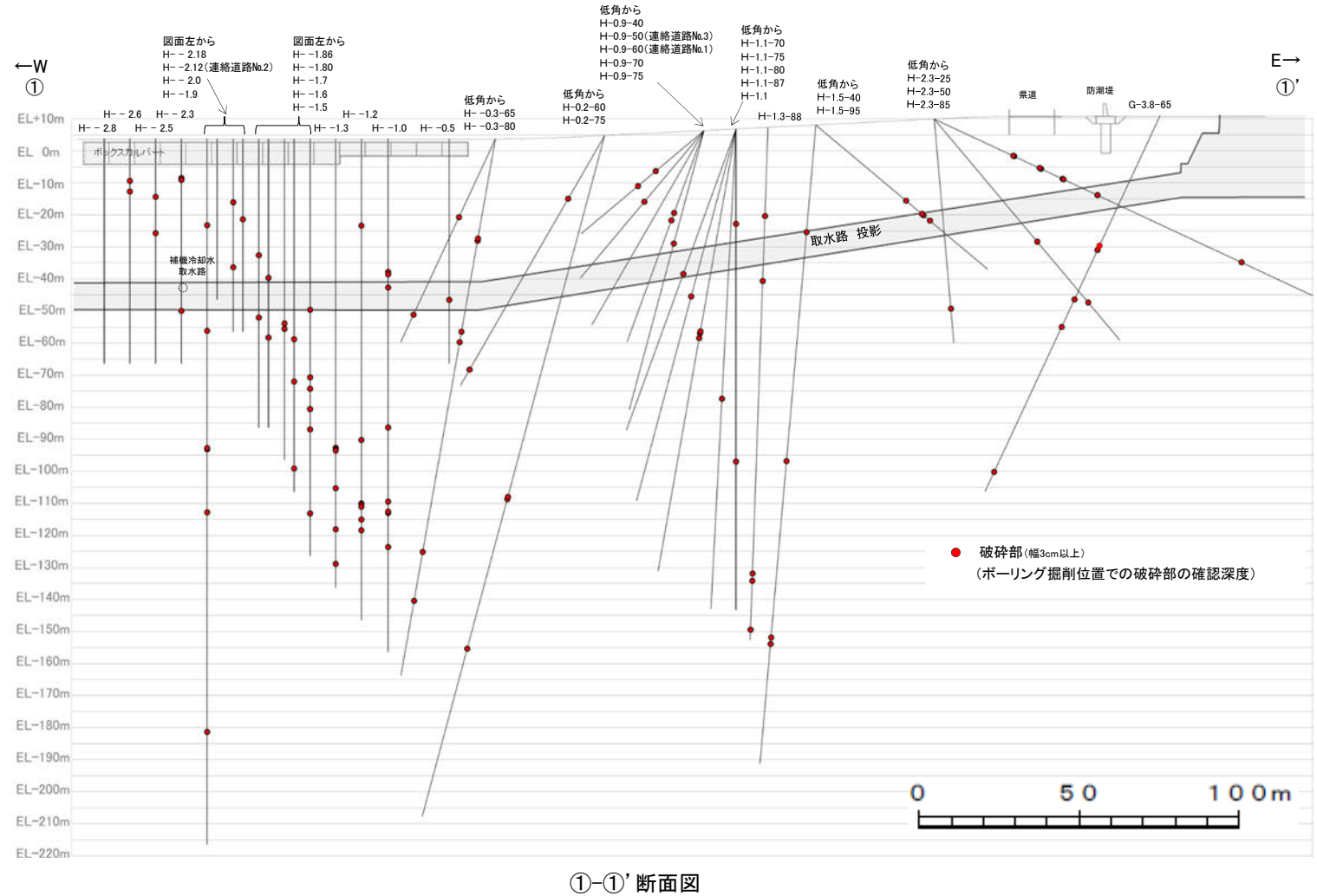
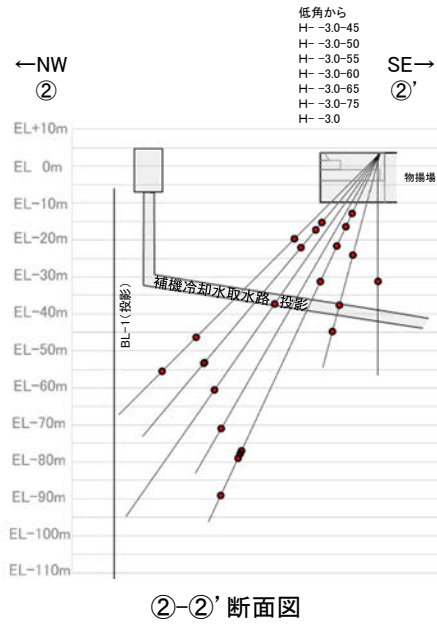


矢印(↗)の向きは断層の傾斜方向を示す

| 凡例 | |
|----|----------|
| ○ | 鉛直ボーリング孔 |
| ⦿ | 斜めボーリング孔 |
| ⋯ | 基礎掘削面 |

| | |
|-----|--|
| — | 断層(破線はさらに延長する可能性のある箇所) |
| ⋯ | 断層延長部の露岩域で断層が認められないことを確認したもの |
| ⋯ | 断層端部を確認していないもの |
| K-○ | (海岸部 EL 0m) (K-18, K-19, K-22, K-25, K-26については地表付近まで連続しないため記載していない) |

【断面図】



【抽出した破砕部(幅3cm以上)の性状一覧】

| 孔名 | 確認深度 (m) | 標高 (m) | 走向・傾斜 (走向は真北) | 破砕部の幅 (cm) |
|------------|----------|-----------|---------------|------------|
| H- -3.0-45 | 32.84 | EL-19.58 | N9° E/62° SE | 3 |
| | 70.46 | EL-46.18 | N8° E/86° SE | 13 |
| | 83.49 | EL-55.40 | N1° W/67° NE | 5 |
| H- -3.0-50 | 24.56 | EL-15.17 | N63° W/31° NE | 22 |
| | 27.13 | EL-17.14 | N12° W/48° NE | 8 |
| | 33.37 | EL-21.92 | NS/70° E | 19 |
| | 74.00 | EL-53.05 | N5° E/70° SE | 8 |
| | 74.26 | EL-53.25 | N30° E/82° SE | 10 |
| H- -3.0-55 | 49.84 | EL-37.19 | N37° E/71° SE | 15 |
| | 78.23 | EL-60.44 | N25° E/85° SE | 14 |
| H- -3.0-60 | 86.07 | EL-70.90 | N21° E/81° SE | 4 |
| H- -3.0-65 | 18.03 | EL-12.70 | N72° E/23° NW | 7 |
| | 22.01 | EL-16.31 | N1° E/68° SE | 4 |
| | 27.78 | EL-21.54 | N14° E/62° SE | 16 |
| | 38.34 | EL-31.11 | N25° E/71° SE | 8 |
| | 88.85 | EL-76.89 | NS/60° E | 24 |
| | 89.76 | EL-77.71 | N2° W/64° NE | 4 |
| | 91.04 | EL-78.87 | N2° E/77° SE | 17 |
| | 102.18 | EL-88.97 | N83° W/16° SW | 4 |
| | 28.57 | EL-23.96 | N13° W/76° NE | 19 |
| H- -3.0-75 | 42.59 | EL-37.50 | N2° E/66° SE | 10 |
| | 49.98 | EL-44.64 | N30° E/54° SE | 4 |
| | 34.73 | EL-31.10 | N18° E/69° SE | 4 |
| H- -2.6 | 13.09 | EL-9.43 | N3° E/65° SE | 6 |
| | 16.38 | EL-12.72 | N38° E/41° NW | 3 |
| H- -2.5 | 18.10 | EL-14.43 | N21° E/52° SE | 10 |
| | 29.44 | EL-25.77 | N28° E/62° SE | 5 |
| H- -2.3 | 12.21 | EL-8.54 | N21° W/63° NE | 4 |
| | 12.80 | EL-9.13 | N15° E/55° SE | 5 |
| | 53.63 | EL-49.96 | N28° E/71° NW | 5 |
| H- -2.18 | 26.91 | EL-23.27 | N3° W/63° NE | 6 |
| | 59.88 | EL-56.24 | N12° W/67° NE | 20 |
| | 96.42 | EL-92.78 | N7° W/54° NE | 14 |
| | 96.86 | EL-93.22 | N16° W/58° NE | 11 |
| | 116.51 | EL-112.87 | N20° W/59° NE | 5 |
| H- -2.0 | 185.01 | EL-181.37 | N17° E/68° NW | 20 |
| | 19.73 | EL-16.09 | N24° W/70° NE | 22 |
| | 40.01 | EL-36.37 | N4° E/69° SE | 5 |
| H- -1.9 | 25.04 | EL-21.40 | N18° W/68° NE | 51 |
| | 36.28 | EL-32.64 | N22° W/63° NE | 15 |
| H- -1.86 | 55.70 | EL-52.06 | N51° E/70° SE | 3 |
| | 43.35 | EL-39.71 | N19° W/74° NE | 21 |
| H- -1.80 | 61.95 | EL-58.31 | N15° E/73° SE | 9 |
| | 57.55 | EL-53.91 | N8° W/72° NE | 26 |
| H- -1.7 | 59.24 | EL-55.60 | N6° E/77° NW | 4 |
| | 62.46 | EL-58.82 | N21° W/63° NE | 22 |
| H- -1.6 | 75.67 | EL-72.03 | N4° E/65° SE | 17 |
| | 102.83 | EL-99.19 | N3° W/62° NE | 4 |
| H- -1.5 | 53.30 | EL-49.66 | N39° W/80° NE | 4 |
| | 74.35 | EL-70.71 | N25° W/64° NE | 16 |
| | 77.93 | EL-74.29 | N7° E/63° SE | 21 |
| | 84.28 | EL-80.64 | N9° E/56° SE | 9 |
| | 90.60 | EL-86.96 | N30° E/74° SE | 9 |
| | 116.83 | EL-113.19 | N81° E/58° NW | 7 |
| | 96.35 | EL-92.66 | N7° W/74° NE | 14 |
| | 96.74 | EL-93.05 | N1° W/72° NE | 3 |
| H- -1.3 | 97.30 | EL-93.61 | NS/48° E | 13 |
| | 108.99 | EL-105.30 | N29° E/60° SE | 14 |
| | 121.79 | EL-118.10 | N5° E/52° SE | 6 |
| | 132.56 | EL-128.87 | N24° E/58° NW | 24 |
| H- -1.2 | 27.05 | EL-23.41 | N15° E/69° SE | 33 |
| | 93.90 | EL-90.26 | N16° E/77° NW | 9 |
| | 113.68 | EL-110.04 | N9° W/64° NE | 3 |
| | 114.05 | EL-110.41 | N16° W/73° NE | 14 |
| | 114.75 | EL-111.11 | N7° E/78° SE | 4 |
| | 118.76 | EL-115.12 | N2° W/64° SW | 48 |
| | 122.07 | EL-118.43 | N18° E/53° SE | 6 |
| | 41.51 | EL-37.85 | N4° W/64° NE | 10 |
| H- -1.0 | 42.25 | EL-38.59 | N13° E/64° SE | 9 |
| | 46.36 | EL-42.70 | N4° E/80° SE | 7 |
| | 90.03 | EL-86.37 | N20° E/75° NW | 28 |
| | 113.16 | EL-109.50 | NS/57° E | 5 |
| | 116.26 | EL-112.60 | N13° W/74° SW | 3 |
| | 116.71 | EL-113.05 | N5° E/74° NW | 4 |
| H- -0.5 | 127.33 | EL-123.67 | N5° E/56° SE | 11 |
| | 50.21 | EL-46.57 | N10° W/70° SW | 31 |
| H- -0.3-65 | 26.99 | EL-20.77 | N20° W/80° SW | 4 |
| | 60.54 | EL-51.18 | N8° W/60° NE | 11 |
| | 31.57 | EL-27.40 | N5° E/68° NW | 72 |
| H- -0.3-80 | 32.28 | EL-28.10 | N7° W/64° SW | 4 |
| | 61.10 | EL-56.48 | N16° E/64° SE | 15 |
| | 64.42 | EL-59.75 | N11° W/82° NE | 3 |
| | 130.88 | EL-125.20 | N19° W/64° NE | 11 |
| | 146.36 | EL-140.45 | N12° E/76° SE | 6 |
| H-0.2-60 | 22.77 | EL-14.99 | N26° W/62° NE | 10 |
| | 84.35 | EL-68.32 | N26° E/80° SE | 55 |
| H-0.2-75 | 116.75 | EL-108.04 | N2° E/81° SE | 47 |
| | 117.50 | EL-108.77 | N1° W/82° NE | 12 |
| H-0.9-40 | 165.87 | EL-155.49 | N13° W/78° NE | 9 |
| | 19.65 | EL-6.36 | N23° E/75° SE | 14 |
| | 26.90 | EL-11.02 | N21° W/70° NE | 9 |
| H-0.9-50 | 29.00 | EL-15.95 | N19° W/68° NE | 11 |
| H-0.9-70 | 27.35 | EL-19.43 | N8° E/76° SE | 18 |
| | 29.82 | EL-21.75 | N3° W/79° NE | 21 |
| H-0.9-75 | 36.51 | EL-29.00 | N9° E/80° SE | 22 |
| | 48.17 | EL-38.48 | N15° E/80° SE | 94 |
| H-1.1-70 | 54.12 | EL-45.50 | N26° E/80° SE | 44 |
| | 64.13 | EL-56.38 | N13° E/79° SE | 16 |
| H-1.1-80 | 64.79 | EL-57.03 | N4° W/62° NE | 4 |
| | 66.27 | EL-58.48 | N5° W/73° NE | 6 |
| | 84.30 | EL-77.40 | N20° E/81° SE | 45 |
| H-1.1 | 29.63 | EL-22.85 | N48° E/56° NW | 7 |
| | 103.77 | EL-96.99 | N21° E/80° SE | 71 |
| H-1.3-88 | 27.67 | EL-20.38 | N2° E/76° SE | 10 |
| | 47.96 | EL-40.66 | N64° E/69° NW | 3 |
| | 139.30 | EL-131.95 | N6° E/78° SE | 75 |
| H-1.5-95 | 141.57 | EL-134.21 | N13° E/80° SE | 17 |
| | 156.84 | EL-149.47 | N49° E/57° NW | 4 |
| | 33.59 | EL-25.43 | N65° E/42° NW | 4 |
| | 105.26 | EL-96.83 | N35° W/79° NE | 5 |
| H-1.5-40 | 160.54 | EL-151.90 | N7° W/81° NE | 10 |
| | 162.56 | EL-153.91 | N12° E/89° SE | 4 |
| | 36.76 | EL-15.60 | N65° W/26° NE | 4 |
| H-2.3-85 | 43.18 | EL-19.73 | N13° E/72° SE | 7 |
| | 43.81 | EL-20.13 | N8° E/65° SE | 14 |
| | 46.48 | EL-21.85 | N30° E/63° NW | 8 |
| H-2.3-50 | 59.40 | EL-49.28 | N16° E/81° SE | 27 |
| | 49.99 | EL-28.40 | N29° W/71° NE | 21 |
| H-2.3-25 | 74.75 | EL-47.37 | N7° E/71° SE | 10 |
| | 27.15 | EL-1.58 | N28° W/62° NE | 10 |
| | 27.49 | EL-1.73 | N17° W/58° NE | 7 |
| | 36.22 | EL-5.42 | N15° W/71° NE | 6 |
| | 36.77 | EL-5.65 | N12° E/57° SE | 13 |
| | 44.19 | EL-8.79 | N34° W/89° NE | 4 |
| | 44.46 | EL-8.90 | N44° W/76° NE | 4 |
| | 56.18 | EL-13.85 | N61° W/86° SW | 11 |
| G-3.8-65 | 105.83 | EL-34.84 | N1° E/88° NW | 5 |
| | 44.78 | EL-29.64 | N62° W/86° NE | 4 |
| | 46.31 | EL-31.03 | N52° W/87° NE | 9 |
| G'-1.5-30 | 63.28 | EL-46.41 | N11° E/73° SE | 4 |
| | 72.80 | EL-55.04 | N13° W/79° NE | 12 |
| | 122.66 | EL-100.23 | N20° E/57° SE | 16 |
| G'-1.5-30 | 47.80 | EL-19.25 | N16° E/77° SE | 8 |
| | 65.67 | EL-28.19 | N31° W/74° NE | 7 |

・抽出した破砕部の性状については、補足資料2.4-1(2)(3)、ボーリング柱状図等は、データ集1, 2, 3

紫字：第849回審査会合からの変更箇所

補足資料2. 4-1

破碎部性状一覽表

余白

(2) K-1～K-26の性状一覧表

破碎部性状一覧表(海岸部露岩域)

■破碎部の性状の一覧表を以下に示す。

断層の破碎部性状一覧表(1/4)

| 名称 | 断層長さ※1 | 一般走向 (真北) | 傾斜 | 調査内容 | | | | | | 破碎部の幅 (cm)※3 | 破碎部の分類 | | | | | | | | | |
|----------|----------|--------------|---------------|---------------|--------|---------|-----------|------------------|-------------------|-----------------|--------|-----------------|------------------------------------|-----|---|---|----|----|------------|---|
| | | | | 調査方法 | 地点名・孔名 | 確認深度(m) | 標高 (m) | 走向・傾斜 (走向は真北) | 地表面で 測定した幅(cm) | | | 破碎部の幅 (cm)※2 | | | | | | | | |
| K-1 | 205m | N4° E | 58° SE | 露頭観察 | a | — | 地表面 | — | — | 7 | 6 | 10 (19) | ③-1 固結した粘土・砂状破碎部 ③-2 固結した角礫状破碎部 | | | | | | | |
| | | | | | b | — | 地表面 | — | — | 8 | 7 | | | | | | | | | |
| | | | | | c | — | 地表面 | — | — | 5 | 4 | | | | | | | | | |
| | | | | | d | — | 地表面 | — | — | 10 | 8 | | | | | | | | | |
| | | | | | e | — | 地表面 | — | — | 15 | 13 | | | | | | | | | |
| | | | | | f | — | 地表面 | — | — | 22 | 19 | | | | | | | | | |
| | | | | | g | — | 地表面 | — | — | 10 | 8 | | | | | | | | | |
| | | | | | h | — | 地表面 | — | — | 15 | 13 | | | | | | | | | |
| | | | | | i | — | 地表面 | — | — | 12 | 10 | | | | | | | | | |
| | | | | | j | — | 地表面 | — | — | 15 | 13 | | | | | | | | | |
| | | | | | k | — | 地表面 | — | — | 12 | 10 | | | | | | | | | |
| | | | | | K-2 | 180m以上 | N19° E | 72° SE | 露頭観察 | a | — | | | 地表面 | — | — | 10 | 10 | 28 (94) | ① 粘土状破碎部 ②-1 砂状破碎部 ②-2 角礫状破碎部 ③-1 固結した粘土・砂状破碎部 ③-2 固結した角礫状破碎部 |
| | | | | | | | | | | b | — | | | 地表面 | — | — | 10 | 10 | | |
| c | — | 地表面 | — | — | | | | | | 10 | 10 | | | | | | | | | |
| d | — | 地表面 | — | — | | | | | | 18 | 17 | | | | | | | | | |
| e | — | 地表面 | — | — | | | | | | 10 | 10 | | | | | | | | | |
| f | — | 地表面 | — | — | | | | | | 28 | 27 | | | | | | | | | |
| g | — | 地表面 | — | — | | | | | | 15 | 14 | | | | | | | | | |
| h | — | 地表面 | — | — | | | | | | 30 | 29 | | | | | | | | | |
| i | — | 地表面 | — | — | | | | | | 48 | 46 | | | | | | | | | |
| j | — | 地表面 | — | — | | | | | | 40 | 38 | | | | | | | | | |
| k | — | 地表面 | — | — | | | | | | 13 | 12 | | | | | | | | | |
| ボーリング調査 | G-1.5-35 | 41.58 | EL-19.36 | N16° E/85° NW | | | | | | — | 18 | | | | | | | | | |
| | G-1.5-50 | 42.42 | EL-28.01 | N 4° E/79° SE | | | | | | — | 25 | | | | | | | | | |
| | G-1.5-80 | 77.82 | EL-72.12 | N8° E/72° SE | | | | | — | 56 | | | | | | | | | | |
| | | 80.19 | EL-74.48 | N 6° E/75° SE | | | | | — | 58 | | | | | | | | | | |
| | G-1.9-20 | 50.10 | EL-13.25 | N 7° E/81° SE | | | | | — | 4 | | | | | | | | | | |
| | G-1.9-27 | 47.81 | EL-17.82 | N31° E/83° SE | | | | | — | 31 | | | | | | | | | | |
| | H-0.9-40 | 19.65 | EL-6.36 | N23° E/75° SE | | | | | — | 14 | | | | | | | | | | |
| | | 20.93 | EL-9.76 | N27° E/71° SE | | | | | — | 2 | | | | | | | | | | |
| | H-0.9-50 | 21.57 | EL-10.25 | N31° E/83° SE | | | | | — | 1 | | | | | | | | | | |
| | | 23.15 | EL-13.78 | N6° E/75° SE | | | | | — | (3) | | | | | | | | | | |
| | H-0.9-60 | 27.35 | EL-19.43 | N8° E/76° SE | | | | | — | 18 | | | | | | | | | | |
| | | 29.82 | EL-21.75 | N3° W/79° NE | | | | | — | 21 | | | | | | | | | | |
| | H-0.9-70 | 36.51 | EL-29.00 | N9° E/80° SE | | | | | — | 22 | | | | | | | | | | |
| | H-1.1-70 | 48.17 | EL-38.48 | N15° E/80° SE | | | | | — | 94 | | | | | | | | | | |
| | | 54.12 | EL-45.50 | N26° E/80° SE | | | | | — | 44 | | | | | | | | | | |
| | H-1.1-80 | 64.13 | EL-56.38 | N13° E/79° SE | | | | | — | 16 | | | | | | | | | | |
| | | 64.79 | EL-57.03 | N4° W/62° NE | | | | | — | 4 | | | | | | | | | | |
| | | 65.18 | EL-57.41 | N14° W/83° NE | | | | | — | 1 | | | | | | | | | | |
| | | 66.27 | EL-58.48 | N5° W/73° NE | | | | | — | 6 | | | | | | | | | | |
| | H-1.1-87 | 66.90 | EL-59.10 | N6° E/84° SE | | | | | — | (3) | | | | | | | | | | |
| 84.30 | | EL-77.40 | N20° E/81° SE | — | | | | | 45 | | | | | | | | | | | |
| H-1.1 | 103.77 | EL-96.99 | N21° E/80° SE | — | | | | | 71 | | | | | | | | | | | |
| | 139.30 | EL-131.95 | N6° E/78° SE | — | 75 | | | | | | | | | | | | | | | |
| H-1.3-88 | 141.57 | EL-134.21 | N13° E/80° SE | — | 17 | | | | | | | | | | | | | | | |
| | 160.54 | EL-151.90 | N7° W/81° NE | — | 10 | | | | | | | | | | | | | | | |
| H-1.5-95 | 162.56 | EL-153.91 | N12° E/89° SE | — | 4 | | | | | | | | | | | | | | | |

※1:露頭もしくはボーリングにより破碎部が認められないことを確認した地点までの長さ。端部が確認できなかったものを〇m以上と記載。海岸部において、延長部が海中となる箇所は、断層を直接確認した長さ及び延長の露岩域で断層が確認されなかった地点までの長さをそれぞれ算定し、〇m以上〇m以下という記載とした。

※2:地表面で測定した幅はP.2.4-1-3の考え方に基づき、面の傾斜を考慮し補正。また、幅が3cm未満であるが、四捨五入により3cmとなるものは(3)と表記。

※3:すべての破碎部の平均値(下段括弧内は最大値)平均値は表中□で算定。なお、同一孔で複数破碎部が確認される場合、幅が大きい破碎部の値を用いた。

断層の破碎部性状一覧表(2/4)

| 名称 | 断層長さ※1 | 一般走向 (真北) | 傾斜 | 調査内容 | | | | | | 破碎部の幅 (cm)※3 | 破碎部の分類 | |
|----------|-----------------|--------------|---------------|---------|----------|---------|-----------|------------------|-----------------------|-----------------|------------|--|
| | | | | 調査方法 | 地点名・孔名 | 確認深度(m) | 標高 (m) | 走向・傾斜 (走向は真北) | 地表面で 測定した幅 (cm) | | | 破碎部の幅 (cm)※2 |
| K-3 | 200m以上 | N16° E | 70° SE | 露頭観察 | a | — | 地表面 | — | 18 | 17 | 12 (19) | ③-1 固結した粘土・砂状破碎部 ③-2 固結した角礫状破碎部 |
| | | | | | b | — | 地表面 | — | 18 | 17 | | |
| | | | | | c | — | 地表面 | — | 20 | 19 | | |
| | | | | | d | — | 地表面 | — | 10 | 9 | | |
| | | | | | e | — | 地表面 | — | 12 | 11 | | |
| | | | | | f | — | 地表面 | — | 18 | 17 | | |
| | | | | ボーリング調査 | M-2.2 | 48.83 | EL-31.52 | N2° W/81° NE | — | 11 | | |
| | | | | | M-2.2-2 | 78.25 | EL-72.57 | N6° W/74° NE | — | 1 | | |
| N-2.3-1 | 66.35 | EL-32.48 | N19° E/72° SE | | — | 4 | | | | | | |
| N-2.3-2 | 85.00 | EL-67.73 | N30° E/84° SE | | — | 11 | | | | | | |
| K-4 | 45m以上 | N56° W | 85° NE | 露頭観察 | a | — | 地表面 | — | 26 | 26 | 13 (26) | ① 粘土状破碎部 ②-2 角礫状破碎部 ③-1 固結した粘土・砂状破碎部 ③-2 固結した角礫状破碎部 |
| | | | | | b | — | 地表面 | — | 6 | 6 | | |
| | | | | | c | — | 地表面 | — | 10 | 10 | | |
| | | | | | d | — | 地表面 | — | 12 | 12 | | |
| | | | | | e | — | 地表面 | — | 10 | 10 | | |
| | | | | | f | — | 地表面 | — | 18 | 18 | | |
| | | | | ボーリング調査 | G-1.9-20 | 71.29 | EL-20.49 | N57° W/80° NE | — | 5 | | |
| | | | | | G-1.9-27 | 84.69 | EL-34.56 | N52° W/68° NE | — | 15 | | |
| K-5 | 75m以上 | N63° W | 64° NE | 露頭観察 | a | — | 地表面 | — | 15 | 13 | 11 (18) | ① 粘土状破碎部 ③-1 固結した粘土・砂状破碎部 ③-2 固結した角礫状破碎部 |
| | | | | | b | — | 地表面 | — | 20 | 18 | | |
| | | | | | c | — | 地表面 | — | 20 | 18 | | |
| | | | | | d | — | 地表面 | — | 12 | 11 | | |
| | | | | | e | — | 地表面 | — | 5 | 4 | | |
| | | | | | f | — | 地表面 | — | 7 | 6 | | |
| | | | | ボーリング調査 | G-1.5-35 | 40.06 | EL-18.49 | N62° W/88° NE | — | 18 | | |
| | | | | | G-1.5-50 | 46.73 | EL-31.31 | N69° W/72° NE | — | 8 | | |
| G-1.9-20 | 68.89 | EL-19.67 | N70° W/60° NE | | — | 5 | | | | | | |
| G-1.9-27 | 79.33 | EL-32.13 | N60° W/72° NE | | — | 10 | | | | | | |
| K-6 | 25m以上 130m以下 | N2° W | 60° NE | 露頭観察 | a | — | 地表面 | — | 6 | 5 | 7 (9) | ③-2 固結した角礫状破碎部 |
| | | | | | b | — | 地表面 | — | 10 | 9 | | |
| K-7 | 20m以上 55m以下 | N8° W | 88° NE | 露頭観察 | a | — | 地表面 | — | 11 | 11 | 8 (11) | ③-1 固結した粘土・砂状破碎部 ③-2 固結した角礫状破碎部 |
| | | | | | b | — | 地表面 | — | 2 | 2 | | |
| | | | | | c | — | 地表面 | — | 11 | 11 | | |
| K-8 | 35m以上 70m以下 | N15° W | 80° NE | 露頭観察 | a | — | 地表面 | — | 21 | 21 | 11 (21) | ③-1 固結した粘土・砂状破碎部 ③-2 固結した角礫状破碎部 |
| | | | | | b | — | 地表面 | — | 10 | 10 | | |
| | | | | | c | — | 地表面 | — | 4 | 4 | | |
| K-9 | 40m以上 120m以下 | N10° E | 88° SE | 露頭観察 | a | — | 地表面 | — | 12 | 12 | 7 (12) | ③-2 固結した角礫状破碎部 |
| | | | | | b | — | 地表面 | — | 4 | 4 | | |
| | | | | | c | — | 地表面 | — | 6 | 6 | | |
| K-10 | 60m | N16° W | 62° NE | 露頭観察 | a | — | 地表面 | — | 10 | 9 | 9 (10) | ③-1 固結した粘土・砂状破碎部 ③-2 固結した角礫状破碎部 |
| | | | | | b | — | 地表面 | — | 11 | 10 | | |
| | | | | | c | — | 地表面 | — | 9 | 8 | | |
| K-11 | 60m | N14° E | 70° NW | 露頭観察 | a | — | 地表面 | — | 8 | 8 | 9 (9) | ③-1 固結した粘土・砂状破碎部 ③-2 固結した角礫状破碎部 |
| | | | | | b | — | 地表面 | — | 10 | 9 | | |
| | | | | | c | — | 地表面 | — | 10 | 9 | | |

※1:露頭もしくはボーリングにより破碎部が認められないことを確認した地点までの長さ。端部が確認できなかったものを〇m以上と記載。海岸部において、延長部が海中となる箇所は、断層を直接確認した長さ及び延長の露岩域で断層が確認されなかった地点までの長さをそれぞれ算定し、〇m以上〇m以下という記載とした。

※2:地表面で測定した幅はP.2.4-1-3の考えに基づき、面の傾斜を考慮し補正。また、幅が3cm未満であるが、四捨五入により3cmとなるものは(3)と表記。

※3:すべての破碎部の平均値(下段括弧内は最大値)平均値は表中□で算定。なお、同一孔で複数破碎部が確認される場合、幅が大きい破碎部の値を用いた。

断層の破碎部性状一覧表(3/4)

| 名称 | 断層長さ※1 | 走向 (真北) | 傾斜 | 調査内容 | | | | | | | 破碎部の幅 (cm)※3 | 破碎部の分類 | |
|-----------|-----------------|---------------|---------------|-------------|------------|------------|-----------|------------------|-----------------------|-----------------|-----------------|---|----|
| | | | | 調査方法 | 地点名・孔名 | 確認深度(m) | 標高 (m) | 走向・傾斜 (走向は真北) | 地表面で 測定した幅 (cm) | 破碎部の幅 (cm)※2 | | | |
| K-12 | 50m以上 310m以下 | N21° W | 72° NE | ボーリング 調査 | H-2.3-25 | 27.15 | EL-1.58 | N28° W/62° NE | — | 10 | 13 (21) | ① 粘土状破碎部 ②-1 砂状破碎部 ③-1 固結した粘土・砂状破碎部 ③-2 固結した角礫状破碎部 | |
| | | | | | | 27.49 | EL-1.73 | N17° W/58° NE | — | 7 | | | |
| | | | | | | 49.99 | EL-28.40 | N29° W/71° NE | — | 21 | | | |
| | | | | | | 72.80 | EL-55.04 | N13° W/79° NE | — | 12 | | | |
| | | | | | | 75.72 | EL-57.69 | N9° W/86° NE | — | (3) | | | |
| G'-1.5-30 | 65.67 | EL-28.19 | N31° W/74° NE | — | 7 | | | | | | | | |
| K-13 | 55m以上 300m以下 | N12° E | 74° SE | ボーリング 調査 | H-1.5-40 | 43.18 | EL-19.73 | N13° E/72° SE | — | 7 | 16 (27) | ① 粘土状破碎部 ②-2 角礫状破碎部 ③-1 固結した粘土・砂状破碎部 ③-2 固結した角礫状破碎部 | |
| | | | | | | 43.81 | EL-20.13 | N8° E/65° SE | — | 14 | | | |
| | | | | | | 59.40 | EL-49.28 | N16° E/81° SE | — | 27 | | | |
| | | | | | | 47.80 | EL-19.25 | N16° E/77° SE | — | 8 | | | |
| | | | | | | G'-1.5-30 | 48.07 | EL-19.39 | N 5° E/75° SE | — | | | 2 |
| K-14 | 40m以上 | N7° E | 66° NW | ボーリング 調査 | H- -2.18 | 185.01 | EL-181.37 | N17° E/68° NW | — | 20 | 37 (72) | ① 粘土状破碎部 ②-2 角礫状破碎部 ③-1 固結した粘土・砂状破碎部 ③-2 固結した角礫状破碎部 | |
| | | | | | | H- -1.3 | 132.56 | EL-128.87 | N24° E/58° NW | — | | | 24 |
| | | | | | | H- -1.2 | 118.76 | EL-115.12 | N2° W/64° SW | — | | | 48 |
| | | | | | | H- -1.0 | 90.03 | EL-86.37 | N20° E/75° NW | — | | | 28 |
| | | | | | | H- -0.5 | 50.21 | EL-46.57 | N10° W/70° SW | — | | | 31 |
| | | | | | | H- -0.3-80 | 31.57 | EL-27.40 | N5° E/68° NW | — | | | 72 |
| | | | | | | | 32.28 | EL-28.10 | N7° W/64° SW | — | | | 4 |
| K-15 | 30m以上 | N4° E | 68° SE | ボーリング 調査 | H- -1.3 | 13.13 | EL-9.44 | NS/70° E | — | (3) | 14 (33) | ① 粘土状破碎部 ②-2 角礫状破碎部 ③-1 固結した粘土・砂状破碎部 ③-2 固結した角礫状破碎部 | |
| | | | | | | 13.48 | EL-9.79 | N2° E/65° SE | — | 1 | | | |
| | | | | | | H- -1.2 | 27.05 | EL-23.41 | N15° E/69° SE | — | | | 33 |
| | | | | | | H- -1.0 | 41.51 | EL-37.85 | N4° W/64° NE | — | | | 10 |
| | | | | | | | 42.25 | EL-38.59 | N13° E/64° SE | — | | | 9 |
| | | | | | | | 46.36 | EL-42.70 | N4° E/80° SE | — | | | 7 |
| | | | | | | H- -0.3-65 | 60.54 | EL-51.18 | N8° W/60° NE | — | | | 11 |
| K-16 | 20m以上 | N10° W | 67° NE | ボーリング 調査 | H- -2.0 | 19.73 | EL-16.09 | N24° W/70° NE | — | 22 | 23 (51) | ① 粘土状破碎部 ②-1 砂状破碎部 ②-2 角礫状破碎部 ③-1 固結した粘土・砂状破碎部 ③-2 固結した角礫状破碎部 | |
| | | | | | | H- -1.9 | 25.04 | EL-21.40 | N18° W/68° NE | — | | | 51 |
| | | | | | | H- -1.86 | 36.28 | EL-32.64 | N22° W/63° NE | — | | | 15 |
| | | | | | | H- -1.80 | 43.35 | EL-39.71 | N19° W/74° NE | — | | | 21 |
| | | | | | | H- -1.7 | 57.55 | EL-53.91 | N8° W/72° NE | — | | | 26 |
| | | | | | | H- -1.6 | 62.46 | EL-58.82 | N21° W/63° NE | — | | | 22 |
| | | | | | | | 74.35 | EL-70.71 | N25° W/64° NE | — | | | 16 |
| | | | | | | | 77.93 | EL-74.29 | N7° E/63° SE | — | | | 21 |
| | | | | | | H- -1.5 | 84.28 | EL-80.64 | N9° E/56° SE | — | | | 9 |
| | | | | | | | 96.35 | EL-92.66 | N7° W/74° NE | — | | | 14 |
| | | | | | | | 96.74 | EL-93.05 | N1° W/72° NE | — | | | 3 |
| | | | | | | H- -1.3 | 97.30 | EL-93.61 | NS/48° E | — | | | 13 |
| | | | | | | | 97.44 | EL-93.75 | N4° W/66° NE | — | | | 2 |
| | | | | | | | 113.68 | EL-110.04 | N9° W/64° NE | — | | | 3 |
| | | | | | | | H- -1.2 | 114.05 | EL-110.41 | N16° W/73° NE | | | — |
| 114.75 | EL-111.11 | N7° E/78° SE | — | 4 | | | | | | | | | |
| K-17 | 不明 | N18° E | 78° SE | ボーリング 調査 | H- -3.0-45 | 70.46 | EL-46.18 | N8° E/86° SE | — | 13 | 12 (17) | ① 粘土状破碎部 ②-1 砂状破碎部 ②-2 角礫状破碎部 ③-1 固結した粘土・砂状破碎部 ③-2 固結した角礫状破碎部 | |
| | | | | | | H- -3.0-50 | 74.00 | EL-53.05 | N5° E/70° SE | — | | | 8 |
| | | | | | | 74.26 | EL-53.25 | N30° E/82° SE | — | 10 | | | |
| | | | | | | H- -3.0-55 | 78.23 | EL-60.44 | N25° E/85° SE | — | | | 14 |
| | | | | | | H- -3.0-60 | 86.07 | EL-70.90 | N21° E/81° SE | — | | | 4 |
| | | | | | | H- -3.0-65 | 91.04 | EL-78.87 | N2° E/77° SE | — | | | 17 |
| 91.53 | EL-79.31 | N33° E/67° SE | — | (3) | | | | | | | | | |

※1:露頭もしくはボーリングにより破碎部が認められないことを確認した地点までの長さ。端部が確認できなかったものを〇m以上と記載。海岸部において、延長部が海中となる箇所は、断層を直接確認した長さ及び延長の露岩域で断層が確認されなかった地点までの長さをそれぞれ算定し、〇m以上〇m以下という記載とした。

※2:地表面で測定した幅はP.2.4-1-3の考えに基づき、面の傾斜を考慮し補正。また、幅が3cm未満であるが、四捨五入により3cmとなるものは(3)と表記。

※3:すべての破碎部の平均値(下段括弧内は最大値)平均値は表中□で算定。なお、同一孔で複数破碎部が確認される場合、幅が大きい破碎部の値を用いた。

断層の破砕部性状一覧表(4/4)

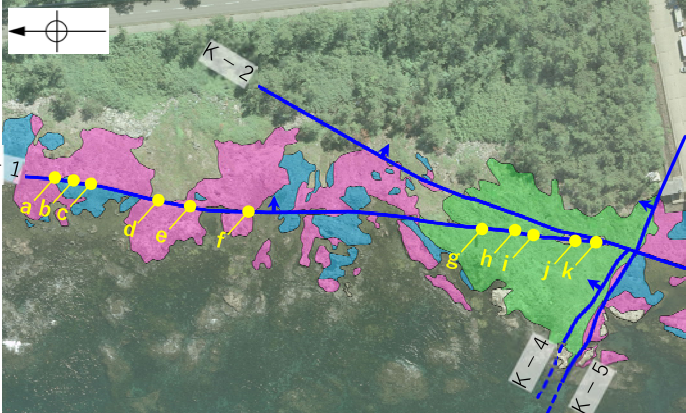
紫字:第849回審査会合からの変更箇所

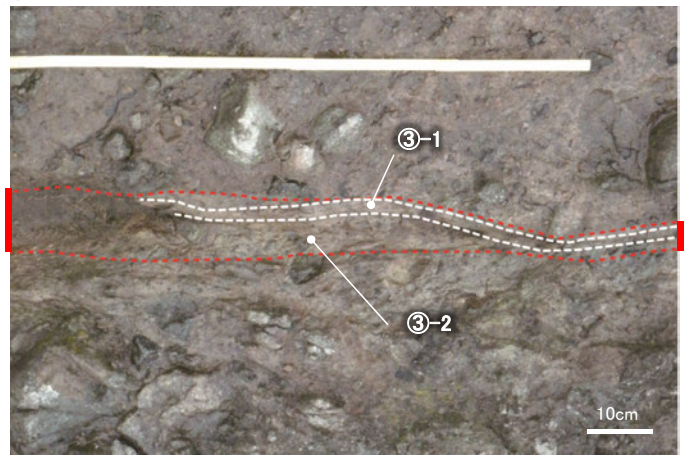
| 名称 | 断層長さ※1 | 走向 (真北) | 傾斜 | 調査内容 | | | | | | 破砕部の幅 (cm)※3 | 破砕部の分類 | |
|----------|--------|------------|---------------|-------------|------------|---------|-----------|------------------|-----------------------|-----------------|------------|--|
| | | | | 調査方法 | 地点名・孔名 | 確認深度(m) | 標高 (m) | 走向・傾斜 (走向は真北) | 地表面で 測定した幅 (cm) | | | 破砕部の幅 (cm)※2 |
| K-18 | 40m以上 | N8° E | 78° SE | ボーリング 調査 | H-0.2-60 | 84.35 | EL-68.32 | N26° E/80° SE | — | 55 | 51 (55) | ① 粘土状破砕部 ③-1 固結した粘土・砂状破砕部 ③-2 固結した角礫状破砕部 |
| | | | | | | 116.75 | EL-108.04 | N2° E/81° SE | — | 47 | | |
| | | | | | | 117.50 | EL-108.77 | N1° W/82° NE | — | 12 | | |
| | | | | | | 125.24 | EL-116.24 | N7° E/69° SE | — | 2 | | |
| K-19 | 不明 | N12° W | 65° NE | ボーリング 調査 | H- -1.0 | 113.16 | EL-109.50 | NS/57° E | — | 5 | 8 (11) | ① 粘土状破砕部 ②-2 角礫状破砕部 ③-1 固結した粘土・砂状破砕部 ③-2 固結した角礫状破砕部 |
| | | | | | | 114.61 | EL-110.95 | N35° W/66° NE | — | 1 | | |
| | | | | | | 129.91 | EL-124.25 | N5° E/65° SE | — | 2 | | |
| | | | | | | 130.88 | EL-125.20 | N19° W/64° NE | — | 11 | | |
| K-20 | 不明 | N15° E | 63° SE | ボーリング 調査 | H- -2.6 | 13.09 | EL-9.43 | N3° E/65° SE | — | 6 | 5 (6) | ① 粘土状破砕部 ②-2 角礫状破砕部 ③-1 固結した粘土・砂状破砕部 ③-2 固結した角礫状破砕部 |
| | | | | | | 29.44 | EL-25.77 | N28° E/62° SE | — | 5 | | |
| K-21 | 不明 | N4° E | 66° SE | ボーリング 調査 | H- -3.0-45 | 32.84 | EL-19.58 | N9° E/62° SE | — | 3 | 11 (19) | ① 粘土状破砕部 ②-2 角礫状破砕部 ③-1 固結した粘土・砂状破砕部 ③-2 固結した角礫状破砕部 |
| | | | | | | 33.37 | EL-21.92 | NS/70° E | — | 19 | | |
| K-22 | 40m以上 | N9° W | 73° NE | ボーリング 調査 | H-0.9-40 | 25.68 | EL-10.24 | N2° W/57° NE | — | 2 | 7 (11) | ① 粘土状破砕部 ②-2 角礫状破砕部 ③-1 固結した粘土・砂状破砕部 ③-2 固結した角礫状破砕部 |
| | | | | | | 26.90 | EL-11.02 | N21° W/70° NE | — | 9 | | |
| | | | | | H-0.9-50 | 26.52 | EL-14.05 | N13° E/69° SE | — | 1 | | |
| | | | | | | 26.75 | EL-14.22 | N1° E/56° SE | — | (3) | | |
| | | | | | H-0.9-60 | 29.00 | EL-15.95 | N19° W/68° NE | — | 11 | | |
| | | | | | | 27.44 | EL-17.49 | N4° W/85° NE | — | 2 | | |
| | | | | | H-0.9-70 | 31.58 | EL-21.08 | N16° E/74° SE | — | (3) | | |
| | | | | | | 39.68 | EL-31.02 | N12° W/87° NE | — | 2 | | |
| | | | | | H-0.9-75 | 46.91 | EL-39.04 | N12° E/79° SE | — | 2 | | |
| | | | | | | 49.65 | EL-41.69 | N10° E/89° SE | — | 2 | | |
| | | | | | H-1.1-70 | 58.59 | EL-48.28 | N7° E/77° SE | — | (3) | | |
| | | | | | | 64.79 | EL-32.67 | NS/67° E | — | 1 | | |
| | | | | | G-1.5-35 | 65.18 | EL-32.90 | N21° W/79° NE | — | 9 | | |
| | | | | | | 71.27 | EL-50.11 | N21° W/76° NE | — | 11 | | |
| G-1.9-20 | 81.50 | EL-23.98 | N25° W/85° NE | — | 4 | | | | | | | |
| | 82.30 | EL-24.26 | N12° W/81° NE | — | 10 | | | | | | | |
| | 82.55 | EL-24.34 | N12° W/73° NE | — | 5 | | | | | | | |
| | 82.76 | EL-24.42 | N21° W/54° NE | — | 4 | | | | | | | |
| | 83.07 | EL-24.52 | N28° W/51° NE | — | 3 | | | | | | | |
| K-23 | 20m以上 | N10° E | 65° SE | ボーリング 調査 | H- -2.3 | 12.21 | EL-8.54 | N21° W/63° NE | — | 4 | 8 (17) | ① 粘土状破砕部 ②-2 角礫状破砕部 ③-1 固結した粘土・砂状破砕部 ③-2 固結した角礫状破砕部 |
| | | | | | | 12.80 | EL-9.13 | N15° E/55° SE | — | 5 | | |
| | | | | | H- -2.18 | 26.91 | EL-23.27 | N3° W/63° NE | — | 6 | | |
| | | | | | | 30.88 | EL-27.24 | N6° W/63° NE | — | 2 | | |
| | | | | | H- -2.12 | 33.27 | EL-29.63 | N23° E/69° SE | — | (3) | | |
| | | | | | | 40.01 | EL-36.37 | N4° E/69° SE | — | 5 | | |
| | | | | | H- -1.80 | 61.95 | EL-58.31 | N15° E/73° SE | — | 9 | | |
| | | | | | | 71.32 | EL-67.68 | N13° E/72° SE | — | 2 | | |
| | | | | | H- -1.6 | 75.67 | EL-72.03 | N4° E/65° SE | — | 17 | | |
| | | | | | | 90.60 | EL-86.96 | N30° E/74° SE | — | 9 | | |
| H- -1.3 | 108.99 | EL-105.30 | N29° E/60° SE | — | 14 | | | | | | | |
| K-24 | 105m以下 | N58° W | 89° NE | ボーリング 調査 | H-2.3-25 | 56.18 | EL-13.85 | N61° W/86° SW | — | 11 | 10 (11) | ②-1 砂状破砕部 ③-1 固結した粘土・砂状破砕部 |
| | | | | | | 44.78 | EL-29.64 | N62° W/86° NE | — | 4 | | |
| | | | | | G-3.8-65 | 46.31 | EL-31.03 | N52° W/87° NE | — | 9 | | |
| K-25 | 25m以上 | N1° W | 65° NE | ボーリング 調査 | H- -2.18 | 59.88 | EL-56.24 | N12° W/67° NE | — | 20 | 12 (20) | ① 粘土状破砕部 ②-1 砂状破砕部 ③-1 固結した粘土・砂状破砕部 ③-2 固結した角礫状破砕部 |
| | | | | | | 83.56 | EL-79.92 | N12° E/65° SE | — | (3) | | |
| K-26 | 35m以上 | N14° E | 68° SE | ボーリング 調査 | H- -3.0-65 | 38.34 | EL-31.11 | N25° E/71° SE | — | 8 | 9 (10) | ① 粘土状破砕部 ②-2 角礫状破砕部 ③-1 固結した粘土・砂状破砕部 ③-2 固結した角礫状破砕部 |
| | | | | | | 42.59 | EL-37.50 | N2° E/66° SE | — | 10 | | |

※1:露頭もしくはボーリングにより破砕部が認められないことを確認した地点までの長さ。端部が確認できなかったものをOm以上と記載。海岸部において、延長部が海中となる箇所は、断層を直接確認した長さ及び延長の露岩域で断層が確認されなかった地点までの長さをそれぞれ算定し、Om以上Om以下という記載とした。
 ※2:地表面で測定した幅はP.2.4-1-3の考え方にに基づき、面の傾斜を考慮し補正。また、幅が3cm未満であるが、四捨五入により3cmとなるものは(3)と表記。

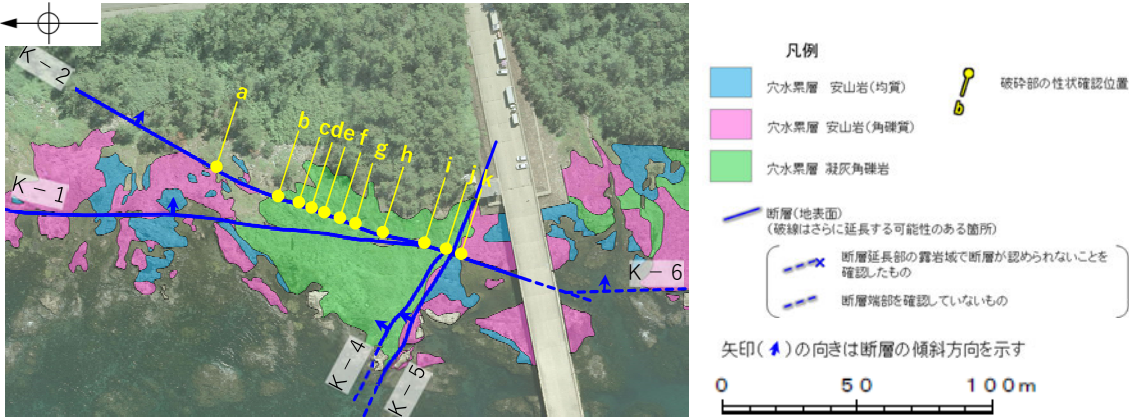
※3:すべての破砕部の平均値(下段括弧内は最大値)平均値は表中□で算定。なお、同一孔で複数破砕部が確認される場合、幅が大きい破砕部の値を用いた。

K-1の性状一覧表 露頭観察(1/1)

| 名称 | 一般走向・傾斜 (真北) | 破砕部 | | 調査位置図・露頭写真 |
|-----|-----------------|------|--------|---|
| | | 測定番号 | 幅※(cm) | |
| K-1 | N4° E/58° SE | a | 4~7 |  <p>調査位置図</p> |
| | | b | 6~8 | |
| | | c | 3~5 | |
| | | d | 7~10 | |
| | | e | 10~15 | |
| | | f | 20~22 | |
| | | g | 10 | |
| | | h | 10~15 | |
| | | i | 4~12 | |
| | | j | 10~15 | |
| | | k | 8~12 | |

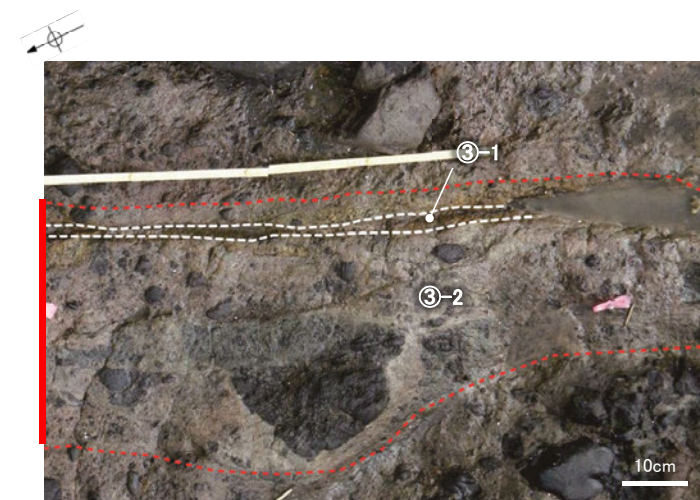


K-2の性状一覧表 露頭観察(1/1)

| 名称 | 一般走向・傾斜 (真北) | 破碎部 | | 調査位置図・露頭写真 |
|-----|-----------------|------|--------|---|
| | | 測定番号 | 幅※(cm) | |
| K-2 | N19° E/72° SE | a | 8~10 |  <p>調査位置図</p> |
| | | b | 6~10 | |
| | | c | 6~10 | |
| | | d | 15~18 | |
| | | e | 6~10 | |
| | | f | 12~28 | |
| | | g | 12~15 | |
| | | h | 15~30 | |
| | | i | 20~48 | |
| | | j | 25~40 | |
| | | k | 11~13 | |

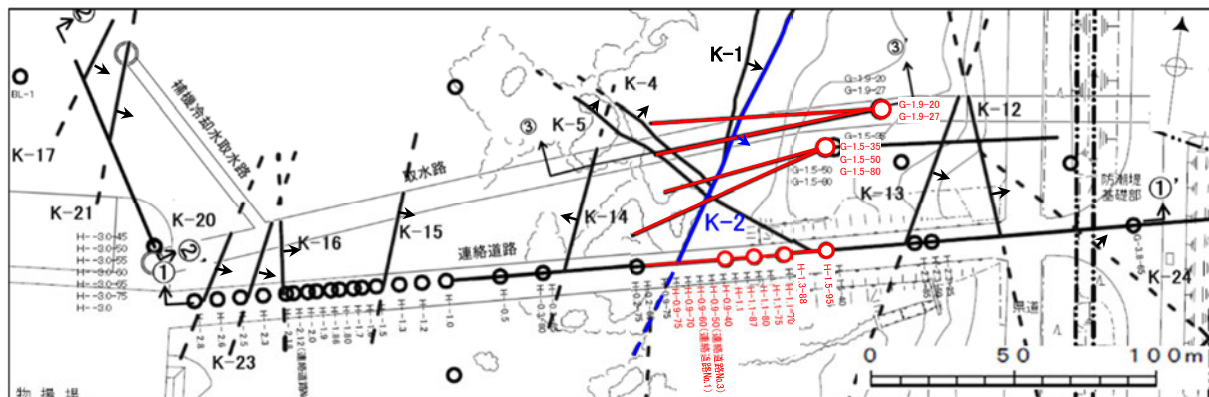


測定番号j地点 遠景



測定番号j地点の破碎部の状況

ボーリング調査 位置図(K-2)

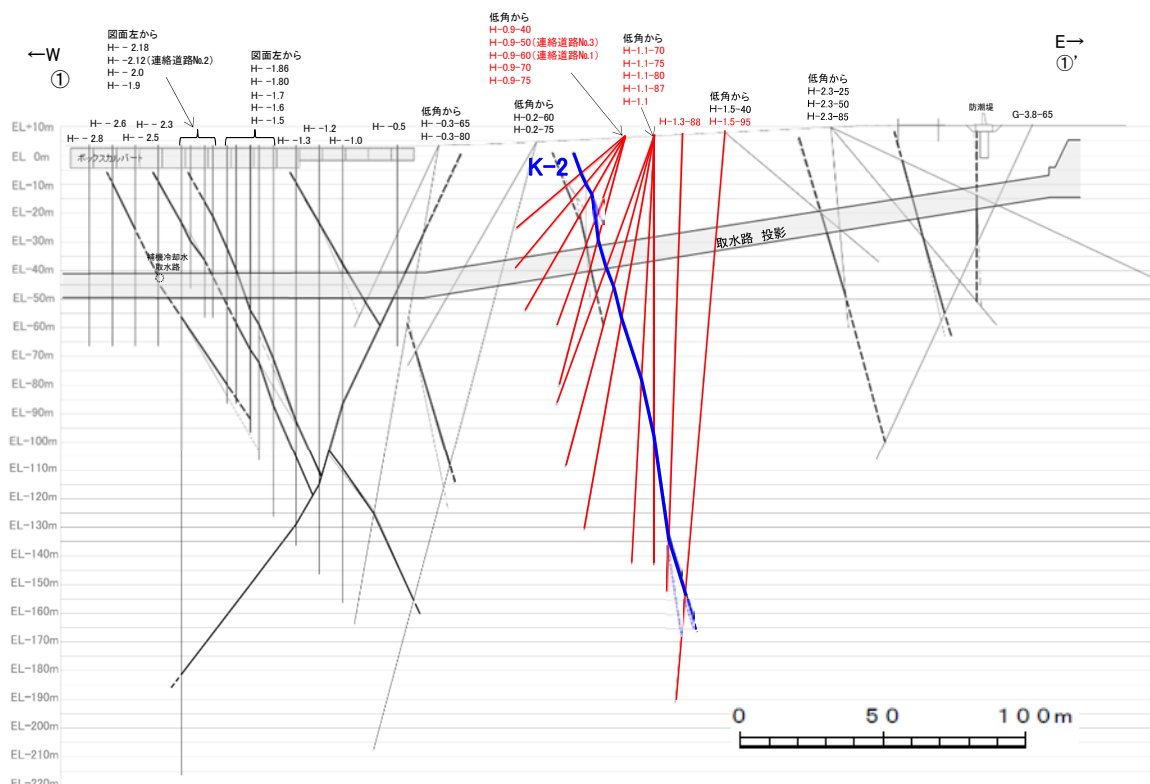


矢印(▲)の向きは断層の傾斜方向を示す

平面図

凡 例

- 鉛直ボーリング孔
- 斜めボーリング孔
- K-2確認ボーリング孔
- 基礎掘削面
- K-2(破線はさらに延長する可能性のある箇所)
- K-2以外の断層(破線はさらに延長する可能性のある箇所)
- 断層延長部の露岩域で断層が認められないことを確認したもの
- 断層端部を確認していないもの
- K+○ (海岸部 EL 0m)
(K-18, K-19, K-22, K-25, K-26については地表付近まで連続しないため記載していない)



①-①' 断面図

凡 例

- K-2(主部を太線で表記)
(破線はさらに延長する可能性のある箇所)
- K-2以外の断層(主部を太線で表記)
(破線はさらに延長する可能性のある箇所)
- K-2確認ボーリング孔
- ※ 取水路の構造物を断面図に投影。

K-2の性状一覧表 ボーリング調査(1/16)

| 名称 | 孔名 | 確認深度(m) (標高(m)) | 走向・傾斜 (走向は真北) | 破碎部の幅 (cm) | コア写真 <div style="display: flex; align-items: center; justify-content: center;"> <div style="border-bottom: 2px solid red; width: 20px; height: 10px; margin-right: 5px;"></div> 破碎部 <div style="margin-left: 20px;"> ① 粘土状破碎部 ②-2 角礫状破碎部 ③-1 固結した粘土・砂状破碎部 </div> </div> |
|-----|---------------------|---------------------|------------------|---------------|--|
| K-2 | G-1.5-35 (傾斜35°) | 41.58 (EL-19.36) | N16° E/85° NW | 18 | <div style="display: flex; align-items: center;"> <div style="margin-right: 10px;">41.4</div> <div style="margin-right: 10px;">41.5</div> <div style="margin-right: 10px;">41.6</div> <div style="margin-right: 10px;">41.7</div> <div style="margin-right: 10px;">41.8</div> <div style="margin-right: 10px;">41.9</div> <div style="margin-right: 10px;">42.0 (m)</div> </div> |
| | G-1.5-50 (傾斜50°) | 42.42 (EL-28.01) | N 4° E/79° SE | 25 | <div style="display: flex; align-items: center;"> <div style="margin-right: 10px;">42.0</div> <div style="margin-right: 10px;">42.1</div> <div style="margin-right: 10px;">42.2</div> <div style="margin-right: 10px;">42.3</div> <div style="margin-right: 10px;">42.4</div> <div style="margin-right: 10px;">42.5</div> <div style="margin-right: 10px;">42.6 (m)</div> </div> <div style="display: flex; align-items: center; margin-top: 10px;"> <div style="margin-right: 10px;">42.6</div> <div style="margin-right: 10px;">42.7</div> <div style="margin-right: 10px;">42.8</div> <div style="margin-right: 10px;">42.9</div> <div style="margin-right: 10px;">43.0 (m)</div> </div> <p style="text-align: right; margin-top: 10px;">本コアには一部、グラウト影響(白色～灰色)が認められる。</p> |

K-2の性状一覧表 ボーリング調査(2/16)

| 名称 | 孔名 | 深度(m) (標高(m)) | 走向・傾斜 (走向は真北) | 破砕部の幅 (cm) | コア写真 破砕部 ②-1 砂状破砕部 ③-1 固結した粘土・砂状破砕部 ②-2 角礫状破砕部 |
|-----|---------------------|---------------------|------------------|---------------|---|
| K-2 | G-1.5-80 (傾斜80°) | 77.82 (EL-72.12) | N 8° E/72° SE | 56 | <p>76.2 76.3 76.4 76.5 76.6 76.7 76.8 (m)</p> <p>76.8 76.9 77.0 77.1 77.2 77.3 77.4 (m)</p> <p>77.4 77.5 77.6 77.7 77.8 77.9 78.0 (m)</p> <p>78.0 78.1 78.2 78.3 78.4 78.5 78.6 (m)</p> |

K-2の性状一覧表 ボーリング調査(3/16)

| 名称 | 孔名 | 確認深度(m) (標高(m)) | 走向・傾斜 (走向は真北) | 破碎部の幅 (cm) | コア写真 <div style="display: flex; justify-content: space-between; align-items: center;"> <div style="text-align: right;"> <p>—— 破碎部</p> <p>① 粘土状破碎部</p> <p>②-2 角礫状破碎部</p> </div> <div style="text-align: left;"> <p>③-1 固結した粘土・砂状破碎部</p> <p>③-2 固結した角礫状破碎部</p> </div> </div> |
|-----|---------------------|---------------------|------------------|---------------|--|
| K-2 | G-1.5-80 (傾斜80°) | 80.19 (EL-74.48) | N 6° E/75° SE | 58 | <p>The photographs show soil core samples at different depths, with elevation markers in meters (m) above each section. The samples exhibit various textures and fracture patterns, with red lines indicating fracture zones. The labels ①, ②-2, ③-1, and ③-2 correspond to the legend provided in the header.</p> |

K-2の性状一覧表 ボーリング調査(4/16)

| 名称 | 孔名 | 確認深度(m) (標高(m)) | 走向・傾斜 (走向は真北) | 破砕部の幅 (cm) | コア写真 <div style="display: flex; align-items: center; gap: 10px;"> ▬ 破砕部 ②-2 角礫状破砕部 ③-1 固結した粘土・砂状破砕部 </div> |
|-----|---------------------|---------------------|------------------|---------------|--|
| K-2 | G-1.9-20 (傾斜20°) | 50.10 (EL-13.25) | N 7° E/81° SE | 4 | <p style="text-align: center;">49.8 49.9 50.0 50.1 50.2 50.3 50.4 (m)</p> |
| | G-1.9-27 (傾斜27°) | 47.81 (EL-17.82) | N31° E/83° SE | 31 | <p style="text-align: center;">47.4 47.5 47.6 47.7 47.8 47.9 48.0 (m)</p> <p style="text-align: center;">48.0 48.1 48.2 48.3 48.4 48.5 48.6 (m)</p> |

本コアには一部、グラウト影響(白色～灰色)が認められる。

K-2の性状一覧表 ボーリング調査(5/16)



| 名称 | 孔名 | 深度(m) (標高(m)) | 走向・傾斜 (走向は真北) | 破碎部の幅 (cm)* | コア写真 <div style="display: flex; justify-content: space-around; font-size: small;"> — 破碎部 ① 粘土状破碎部 ②-2 角礫状破碎部 </div> <div style="display: flex; justify-content: space-around; font-size: small;"> ②-1 砂状破碎部 ③-1 固結した粘土・砂状破碎部 </div> |
|-----|---------------------|---------------------|------------------|----------------|---|
| K-2 | H-0.9-40 (傾斜40°) | 19.65 (EL-6.36) | N 23° E/75° SE | 14 | <div style="display: flex; align-items: center;"> <div style="margin-right: 10px;">19.4 19.5 19.6 19.7 19.8 19.9 20.0 (m)</div> </div> |
| | H-0.9-50 (傾斜50°) | 20.93 (EL-9.76) | N27° E/71° SE | 2 | <div style="display: flex; align-items: center;"> <div style="margin-right: 10px;">20.6 20.7 20.8 20.9 21.0 21.1 21.2 (m)</div> </div> |
| | | 21.57 (EL-10.25) | N 31° E/83° SE | 1 | <div style="display: flex; align-items: center;"> <div style="margin-right: 10px;">21.3 21.4 21.5 21.6 21.7 21.8 21.9 (m)</div> </div> |
| | H-0.9-60 (傾斜60°) | 23.15 (EL-13.78) | N6° E/75° SE | (3) | <div style="display: flex; align-items: center;"> <div style="margin-right: 10px;">23.0 23.1 23.2 23.3 23.4 23.5 (m)</div> </div> |

※幅が3cm未満であるが、四捨五入により3cmとなるものは(3)と表記

K-2の性状一覧表 ボーリング調査(6/16)

| 名称 | 孔名 | 深度(m) (標高(m)) | 走向・傾斜 (走向は真北) | 破碎部の幅 (cm) | コア写真 <div style="display: flex; align-items: center; gap: 10px;"> ■ 破碎部 </div> <div style="margin-top: 5px;"> ① 粘土状破碎部 ②-2 角礫状破碎部 ③-1 固結した粘土・砂状破碎部 </div> |
|-----|---------------------|---------------------|------------------|---------------|--|
| K-2 | H-0.9-70 (傾斜70°) | 27.35 (EL-19.43) | N 8° E/76° SE | 18 | <div style="display: flex; align-items: center;"> <div style="margin-right: 10px;">27.2</div> <div style="margin-right: 10px;">27.3</div> <div style="margin-right: 10px;">27.4</div> <div style="margin-right: 10px;">27.5</div> <div style="margin-right: 10px;">27.6</div> <div style="margin-right: 10px;">27.7</div> <div style="margin-right: 10px;">27.8 (m)</div> </div> <div style="display: flex; justify-content: center; gap: 20px; margin-top: 5px;"> ③-1 ① ②-2 ③-1 </div> |
| | | 29.82 (EL-21.75) | N 3° W/79° NE | 21 | <div style="display: flex; align-items: center;"> <div style="margin-right: 10px;">29.1</div> <div style="margin-right: 10px;">29.2</div> <div style="margin-right: 10px;">29.3</div> <div style="margin-right: 10px;">29.4 (m)</div> </div> <div style="display: flex; justify-content: center; margin-top: 5px;"> ②-2 </div> <div style="display: flex; align-items: center; margin-top: 10px;"> <div style="margin-right: 10px;">29.4</div> <div style="margin-right: 10px;">29.5</div> <div style="margin-right: 10px;">29.6</div> <div style="margin-right: 10px;">29.7</div> <div style="margin-right: 10px;">29.8</div> <div style="margin-right: 10px;">29.9</div> <div style="margin-right: 10px;">30.0 (m)</div> </div> <div style="display: flex; justify-content: center; margin-top: 5px;"> ②-2 </div> <p style="font-size: small; margin-top: 5px;">本コアには一部、グラウト影響(白色～灰色)が認められる。</p> |

K-2の性状一覧表 ボーリング調査(7/16)

| 名称 | 孔名 | 深度(m) (標高(m)) | 走向・傾斜 (走向は真北) | 破砕部の幅 (cm) | コア写真 <div style="display: flex; justify-content: space-between; align-items: center;"> 破砕部 ① 粘土状破砕部 </div> <div style="display: flex; justify-content: space-between; align-items: center;"> ③-1 固結した粘土・砂状破砕部 </div> |
|-----|---------------------|---------------------|------------------|---------------|--|
| K-2 | H-0.9-75 (傾斜75°) | 36.51 (EL-29.00) | N 9° E/80° SE | 22 | <div style="display: flex; flex-direction: column; align-items: center;"> <div style="display: flex; justify-content: space-between; width: 100%; margin-bottom: 5px;"> 36.036.136.236.336.436.536.6 (m) </div>  <div style="display: flex; justify-content: space-around; width: 100%; margin-top: 5px;"> ③-1① </div> </div> <div style="display: flex; flex-direction: column; align-items: center; margin-top: 10px;"> <div style="display: flex; justify-content: space-between; width: 100%; margin-bottom: 5px;"> 36.636.736.836.937.0 (m) </div>  <div style="display: flex; justify-content: center; margin-top: 5px;"> ③-1 </div> </div> |


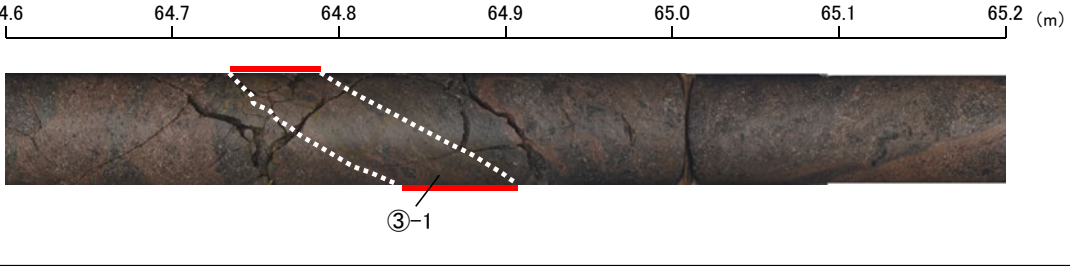
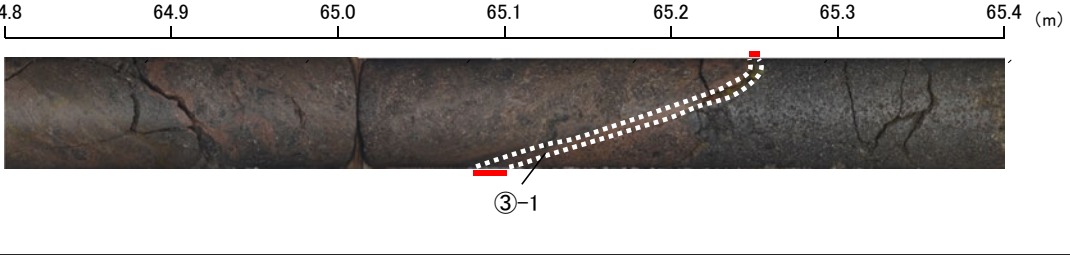
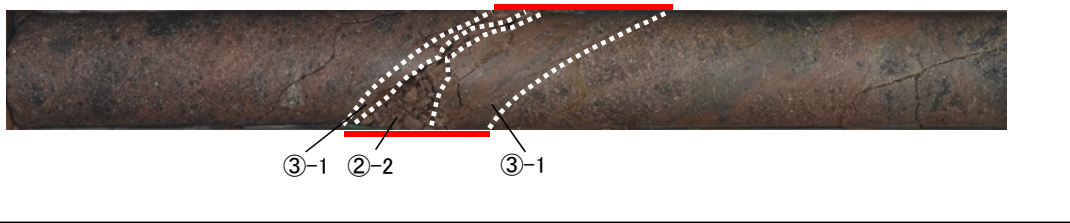

K-2の性状一覧表 ボーリング調査(8/16)

| 名称 | 孔名 | 深度(m) (標高(m)) | 走向・傾斜 (走向は真北) | 破碎部の幅 (cm) | コア写真 <div style="display: flex; justify-content: space-between; align-items: center;"> コア写真 == 破碎部 <ul style="list-style-type: none"> ① 粘土状破碎部 ③-1 固結した粘土・砂状破碎部 ③-2 固結した角礫状破碎部 </div> |
|-----|---------------------|---------------------|------------------|---------------|---|
| K-2 | H-1.1-70 (傾斜70°) | 48.17 (EL-38.48) | N15° E/80° SE | 94 | |
| | | | | | |
| | | | | | |
| | | | | | |

K-2の性状一覧表 ボーリング調査(9/16)

| 名称 | 孔名 | 深度(m) (標高(m)) | 走向・傾斜 (走向は真北) | 破砕部の幅 (cm) | コア写真 <div style="display: flex; justify-content: space-around; align-items: center;"> — 破砕部</div> <div style="display: flex; justify-content: space-around; align-items: center;"> ① 粘土状破砕部 ③-1 固結した粘土・砂状破砕部 ③-2 固結した角礫状破砕部 </div> |
|-----|---------------------|---------------------|------------------|---------------|---|
| K-2 | H-1.1-75 (傾斜75°) | 54.12 (EL-45.50) | N 26° E/80° SE | 44 | <p>54.0 54.1 54.2 54.3 54.4 54.5 54.6 (m)</p> <p>54.6 54.7 54.8 54.9 55.0 55.1 55.2 (m)</p> <p>掘進区切り</p> |
| | H-1.1-80 (傾斜80°) | 64.13 (EL-56.38) | N 13° E/79° SE | 16 | <p>掘進区切り</p> <p>63.9 64.0 64.1 64.2 64.3 64.4 64.5 (m)</p> |

K-2の性状一覧表 ボーリング調査(10/16)

| 名称 | 孔名 | 深度(m) (標高(m)) | 走向・傾斜 (走向は真北) | 破碎部の幅 (cm)* |  破碎部 コア写真 ②-2 角礫状破碎部 ③-1 固結した粘土・砂状破碎部 |
|-----|---------------------|---------------------|------------------|----------------|---|
| K-2 | H-1.1-80 (傾斜80°) | 64.79 (EL-57.03) | N 4° W/62° NE | 4 |  <p>64.6 64.7 64.8 64.9 65.0 65.1 65.2 (m)</p> |
| | | 65.18 (EL-57.41) | N 14° W/83° NE | 1 |  <p>64.8 64.9 65.0 65.1 65.2 65.3 65.4 (m)</p> |
| | | 66.27 (EL-58.48) | N 5° W/73° NE | 6 |  <p>66.0 66.1 66.2 66.3 66.4 66.5 66.6 (m)</p> |
| | | 66.90 (EL-59.10) | N 6° E/84° SE | (3) |  <p>66.6 66.7 66.8 66.9 67.0 67.1 67.2 (m)</p> |

※幅が3cm未満であるが、四捨五入により3cmとなるものは(3)と表記


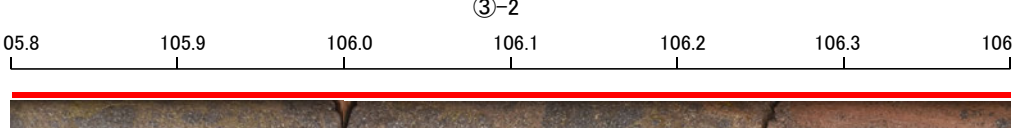

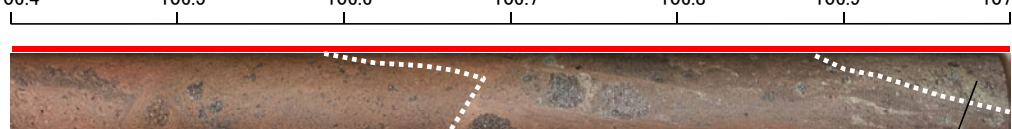
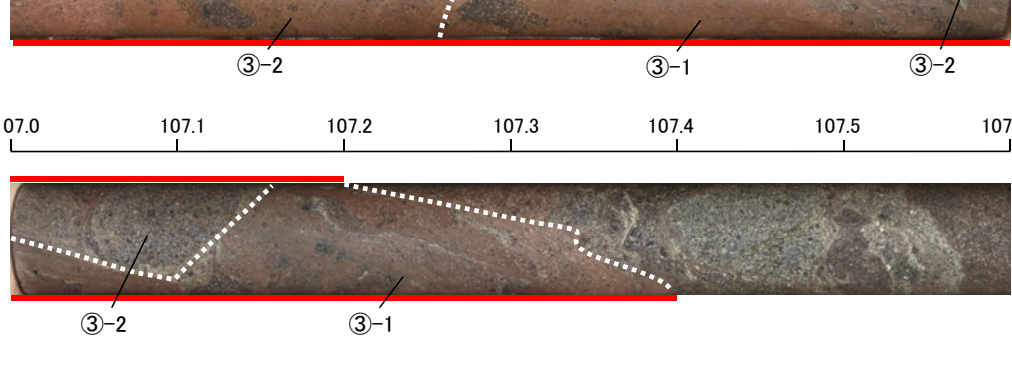
K-2の性状一覧表 ボーリング調査(11/16)

| 名称 | 孔名 | 深度(m) (標高(m)) | 走向・傾斜 (走向は真北) | 破砕部の幅 (cm) | <div style="text-align: right;"> — 破砕部 コア写真 ① 粘土状破砕部 ②-2 角礫状破砕部 ②-1 砂状破砕部 ③-1 固結した粘土・砂状破砕部 </div> |
|-----|---------------------|---------------------|------------------|---------------|--|
| K-2 | H-1.1-87 (傾斜87°) | 84.30 (EL-77.40) | N 20° E/81° SE | 45 | <p>83.3 83.4 83.5 83.6 83.7 83.8 83.9 (m)</p> <p>掘進区切り</p> <p>83.9 84.0 84.1 84.2 84.3 84.4 84.5 (m)</p> <p>84.5 84.6 84.7 ②-1 ① 84.8 ②-2 84.9 ②-1 85.0 ③-1 85.1 (m)</p> <p>85.1 85.2 85.3 85.4 ③-1 85.5 85.6 85.7 (m)</p> |

K-2の性状一覧表 ボーリング調査(12/16)

| 名称 | 孔名 | 深度(m) (標高(m)) | 走向・傾斜 (走向は真北) | 破砕部の幅 (cm) | コア写真 破砕部 ① 粘土状破砕部 ③-1 固結した粘土・砂状破砕部 ③-2 固結した角礫状破砕部 |
|-----|-------|----------------------|------------------|---------------|---|
| K-2 | H-1.1 | 103.77 (EL-96.99) | N 21° E/80° SE | 71 | <p>102.8 102.9 103.0 103.1 103.2 103.3 103.4 (m)</p> <p>103.4 103.5 103.6 103.7 103.8 103.9 104.0 (m)</p> <p>104.0 104.1 104.2 104.3 104.4 104.5 104.6 (m)</p> <p>104.6 104.7 104.8 104.9 105.0 105.1 105.2 (m)</p> |

K-2の性状一覧表 ボーリング調査(13/16)

| 名称 | 孔名 | 深度(m) (標高(m)) | 走向・傾斜 (走向は真北) | 破砕部の幅 (cm) | コア写真 <div style="display: flex; align-items: center; gap: 10px;"> — 破砕部 ③-1 固結した粘土・砂状破砕部 ③-2 固結した角礫状破砕部 </div> |
|-----|-------|----------------------|------------------|---------------|---|
| K-2 | H-1.1 | 103.77 (EL-96.99) | N 21° E/80° SE | 71 | <div style="display: flex; justify-content: space-between; width: 100%;"> 105.2105.3105.4105.5105.6105.7105.8 (m) </div>  |
| | | | | | <div style="display: flex; justify-content: space-between; width: 100%;"> 105.8105.9106.0106.1106.2106.3106.4 (m) </div>  |
| | | | | | <div style="display: flex; justify-content: space-between; width: 100%;"> 106.4106.5106.6106.7106.8106.9107.0 (m) </div>  |
| | | | | | <div style="display: flex; justify-content: space-between; width: 100%;"> 107.0107.1107.2107.3107.4107.5107.6 (m) </div>  |
| | | | | |  |

K-2の性状一覧表 ボーリング調査(14/16)

| 名称 | 孔名 | 深度(m) (標高(m)) | 走向・傾斜 (走向は真北) | 破碎部の幅 (cm) | コア写真 <div style="display: flex; align-items: center; gap: 10px;"> ▬ 破碎部 </div> <div style="margin-top: 5px;"> ① 粘土状破碎部 ③-1 固結した粘土・砂状破碎部 ③-2 固結した角礫状破碎部 </div> |
|-----|---------------------|-----------------------|------------------|---------------|--|
| K-2 | H-1.3-88 (傾斜88°) | 139.30 (EL-131.95) | N 6° E/78° SE | 75 | 137.1 137.2 137.3 137.4 137.5 137.6 137.7 (m) |
| | | | | | 137.7 137.8 137.9 138.0 138.1 138.2 138.3 (m) |
| | | | | | 138.3 138.4 138.5 138.6 138.7 138.8 138.9 (m) |
| | | | | | 138.9 139.0 139.1 139.2 139.3 139.4 139.5 (m) |
| | | | | | 139.5 139.6 139.7 139.8 139.9 140.0 140.1 (m) |

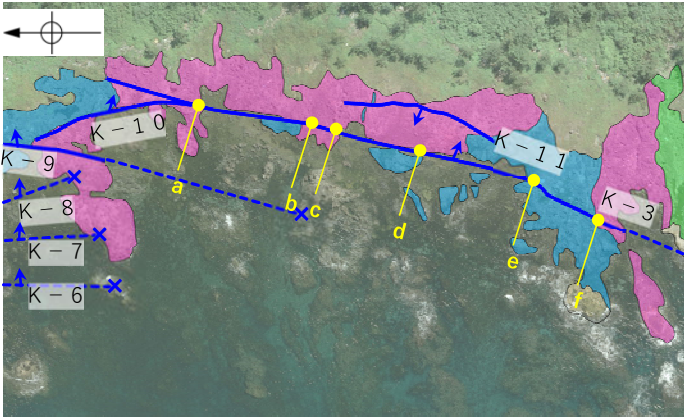
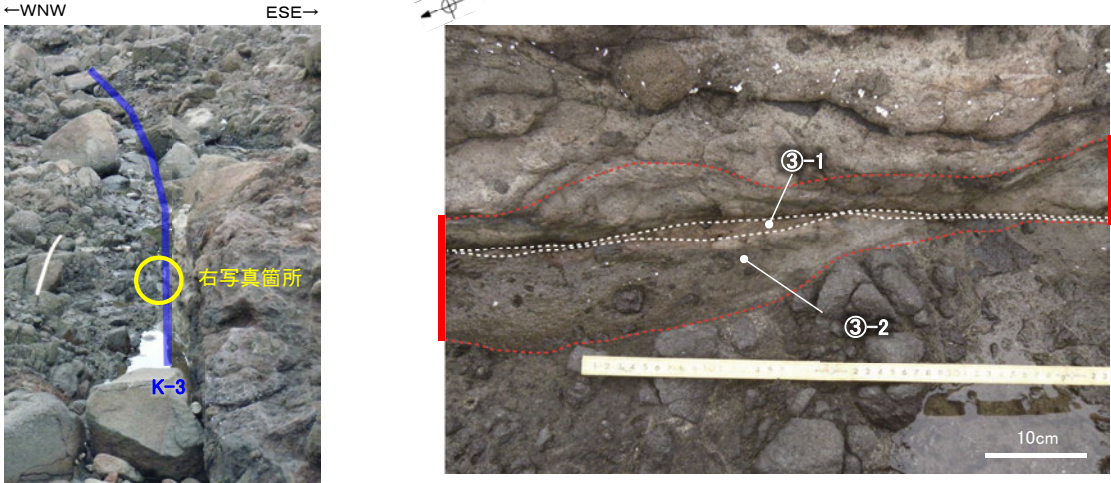
K-2の性状一覧表 ボーリング調査(15/16)

| 名称 | 孔名 | 深度(m) (標高(m)) | 走向・傾斜 (走向は真北) | 破砕部の幅 (cm) | コア写真 <div style="display: flex; align-items: center; gap: 10px;"> — 破砕部</div> <div style="display: flex; align-items: center; gap: 10px;"> ① 粘土状破砕部 ③-1 固結した粘土・砂状破砕部 </div> |
|-----|---------------------|-----------------------|------------------|---------------|---|
| K-2 | H-1.3-88 (傾斜88°) | 141.57 (EL-134.21) | N 13° E/80° SE | 17 | <div style="display: flex; align-items: center; margin-bottom: 5px;"> 141.0 141.1 141.2 141.3 141.4 141.5 141.6 (m) </div> |
| | | | | | <div style="display: flex; align-items: center; margin-bottom: 5px;"> 141.6 141.7 141.8 141.9 142.0 142.1 142.2 (m) </div> |
| | | | | | <div style="display: flex; align-items: center; margin-bottom: 5px;"> 142.2 142.3 142.4 142.5 142.6 142.7 142.8 (m) </div> |

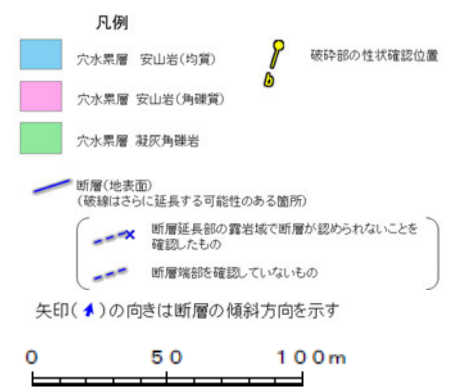
K-2の性状一覧表 ボーリング調査(16/16)

| 名称 | 孔名 | 深度(m) (標高(m)) | 走向・傾斜 (走向は真北) | 破碎部の幅 (cm) | コア写真 <div style="display: flex; align-items: center; gap: 10px;"> — 破碎部</div> <div style="display: flex; align-items: center; gap: 10px;"> ① 粘土状破碎部 ③-1 固結した粘土・砂状破碎部 </div> |
|-----|---------------------|-----------------------|------------------|---------------|---|
| K-2 | H-1.5-95 (傾斜85°) | 160.54 (EL-151.90) | N 7° W/81° NE | 10 | |
| | | 162.56 (EL-153.91) | N 12° E/89° SE | 4 | |

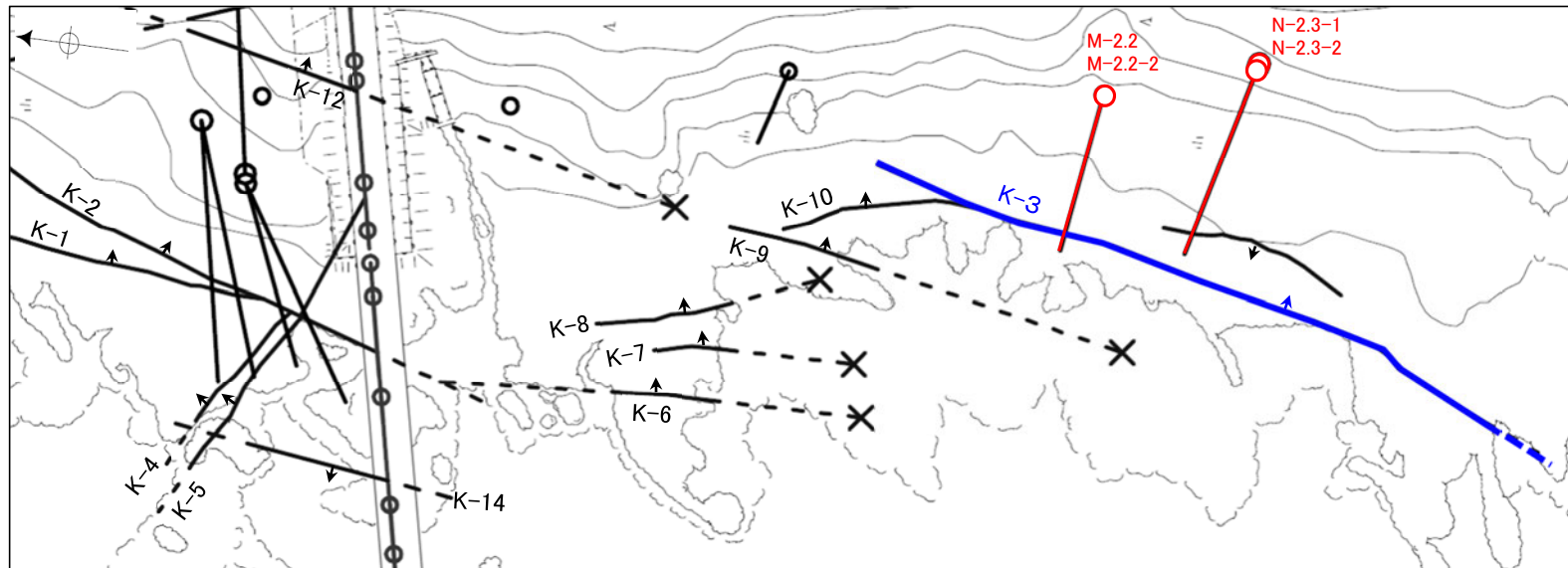
K-3の性状一覧表 露頭観察(1/1)

| 名称 | 一般走向・傾斜 (真北) | 破碎部 | | 調査位置図・露頭写真 |
|--|-----------------|------|--------|---|
| | | 測定番号 | 幅※(cm) | |
| K-3 | N16° E/70° SE | a | 15~18 |  <p>調査位置図</p> |
| | | b | 10~18 | |
| | | c | 14~20 | |
| | | d | 4~10 | |
| | | e | 4~12 | |
| | | f | 5~18 | |
|  <p>測定番号b地点 遠景</p> <p>測定番号b地点の破碎部の状況</p> | | | | |

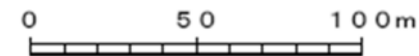
== 破碎部 ③-1 固結した粘土・砂状破碎部
③-2 固結した角礫状破碎部



代表写真箇所 ※: 地表面で測定した幅



調査位置図



凡 例

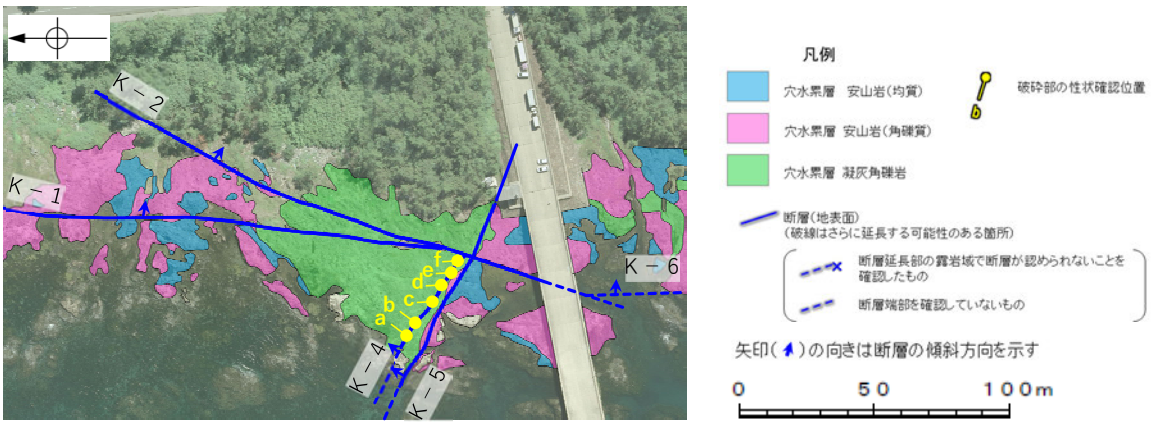

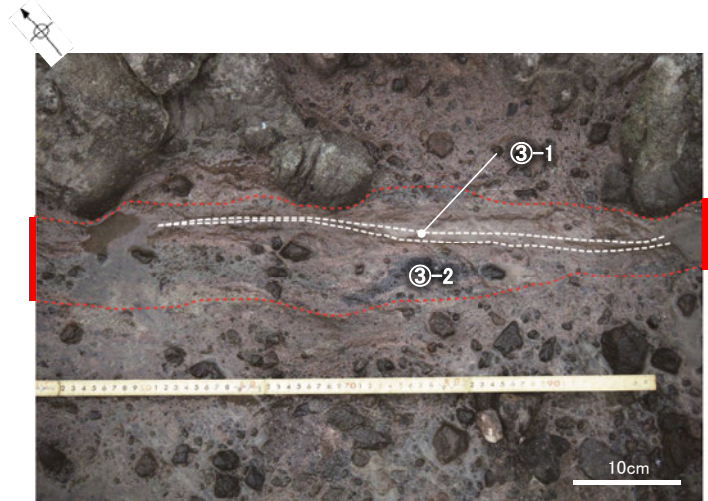
- 鉛直ボーリング孔
- ⊙ 斜めボーリング孔
- ⊙ K-3確認ボーリング孔
- 基礎掘削面
- K-3(破線はさらに延長する可能性のある箇所)
- K-3以外の断層(破線はさらに延長する可能性のある箇所)
- × 断層延長部の露岩域で断層が認められないことを確認したもの
- 断層端部を確認していないもの
- K-○ (海岸部 EL. 0m)
(K-18, K-19, K-22, K-25, K-26については地表付近まで連続しないため記載していない)

矢印(▲)の向きは断層の傾斜方向を示す

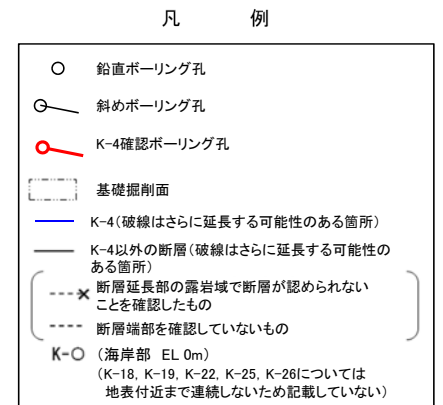
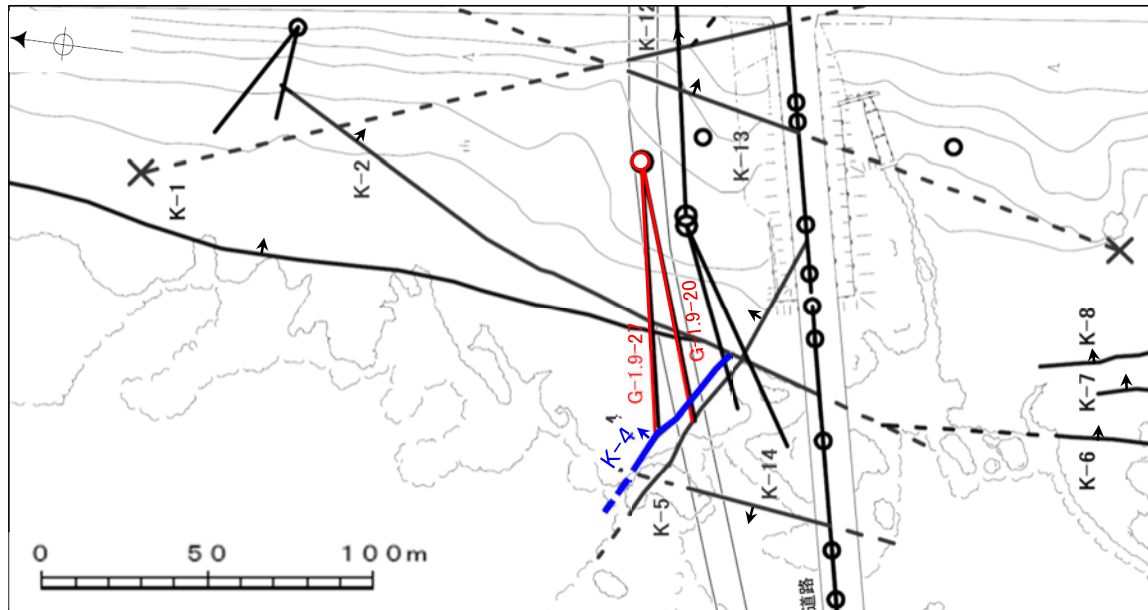
K-3の性状一覧表 ボーリング調査(1/1)

| 名称 | 孔名 | 確認深度(m) (標高(m)) | 走向・傾斜 (走向は真北) | 破砕部の幅 (cm) | コア写真 ■ 破砕部 ③-1 固結した粘土・砂状破砕部 |
|-----|--------------------|---------------------|------------------|---------------|--|
| K-3 | M-2.2 (傾斜45°) | 48.83 (EL-31.52) | N2° W/81° NE | 11 | |
| | M-2.2-2 (傾斜75°) | 78.25 (EL-72.57) | N6° W/74° NE | 1 | |
| | N-2.3-1 (傾斜35°) | 66.35 (EL-32.48) | N18° E/72° SE | 4 | |
| | N-2.3-2 (傾斜60°) | 85.00 (EL-67.73) | N30° E/84° SE | 11 | |

K-4の性状一覧表 露頭観察(1/1)

| 名称 | 一般走向・傾斜 (真北) | 破碎部 | | 調査位置図・露頭写真 |
|-----|-----------------|---|--------|--|
| | | 測定番号 | 幅※(cm) | |
| K-4 | N56° W/85° NE | a | 10~26 |  <p>調査位置図</p> |
| | | b | 5~6 | |
| | | c | 6~10 | |
| | | d | 10~12 | |
| | | e | 7~10 | |
| | | f | 12~18 | |
| | |  <p>測定番号c地点 遠景</p> | |  <p>測定番号c地点の破碎部の状況</p> |

代表写真箇所 ※: 地表面で測定した幅



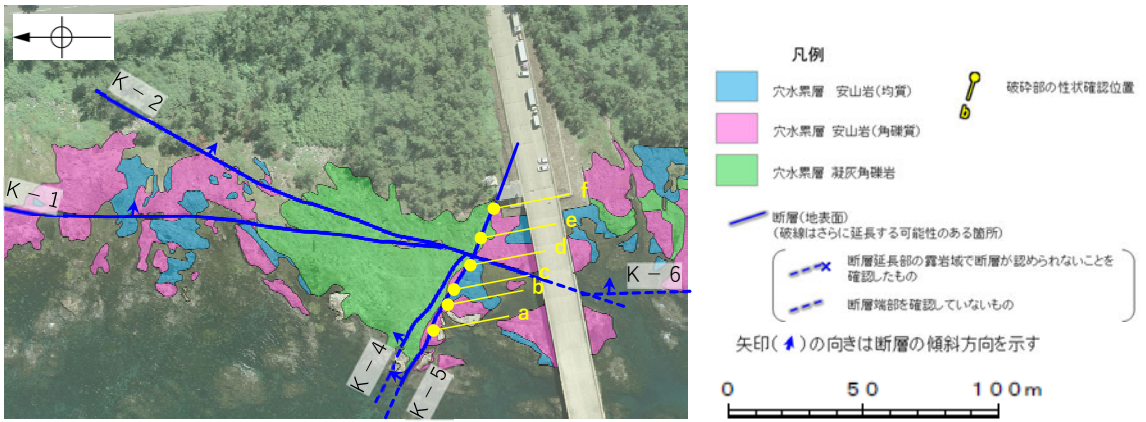
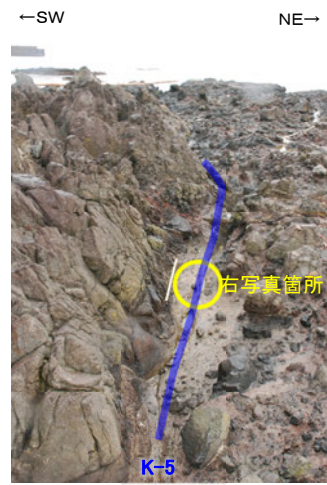
矢印(▲)の向きは断層の傾斜方向を示す

調査位置図

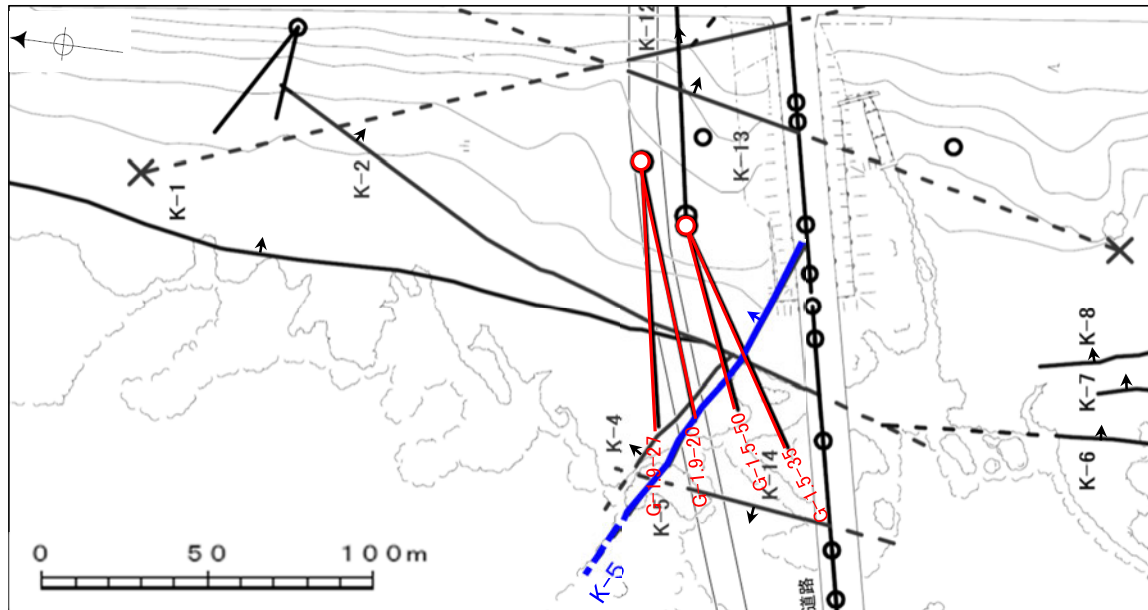
K-4の性状一覧表 ボーリング調査(1/1)

| 名称 | 孔名 | 確認深度(m) (標高(m)) | 走向・傾斜 (走向は真北) | 破砕部の幅 (cm) | コア写真 破砕部 |
|-----|---------------------|---------------------|------------------|---------------|---|
| K-4 | G-1.9-20 (傾斜20°) | 71.29 (EL-20.49) | N57° W/80° NE | 5 | <p>71.0 71.1 71.2 71.3 71.4 71.5 71.6 (m)</p> <p>① 粘土状破砕部 ②-2 角礫状破砕部 ③-1 固結した粘土・砂状破砕部</p> <p>本コアには一部、グラウト影響(白色～灰色)が認められる。</p> |
| | G-1.9-27 (傾斜27°) | 84.69 (EL-34.56) | N52° W/68° NE | 15 | <p>84.3 84.4 84.5 84.6 84.7 84.8 84.9 (m)</p> <p>③-1 ① ③-1</p> |

K-5の性状一覧表 露頭観察(1/1)

| 名称 | 一般走向・傾斜 (真北) | 破碎部 | | 調査位置図・露頭写真 |
|-----|-----------------|---|--------|---|
| | | 測定番号 | 幅※(cm) | |
| K-5 | N63° W/64° NE | a | 5~15 |  <p>調査位置図</p> |
| | | b | 15~20 | |
| | | c | 12~20 | |
| | | d | 8~12 | |
| | | e | 3~5 | |
| | | f | 5~7 | |
| | |  <p>測定番号c地点 遠景</p> | | |

代表写真箇所 ※: 地表面で測定した幅



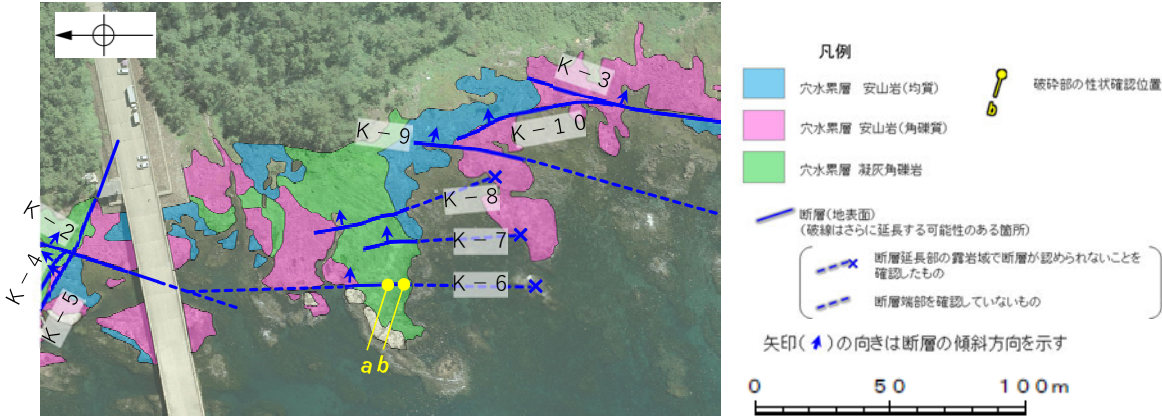
- 凡 例
- 鉛直ボーリング孔
 - 斜めボーリング孔
 - K-5確認ボーリング孔
 - 基礎掘削面
 - K-5(破線はさらに延長する可能性のある箇所)
 - K-5以外の断層(破線はさらに延長する可能性のある箇所)
 - X 断層延長部の露岩域で断層が認められないことを確認したもの
 - 断層端部を確認していないもの
 - K-○ (海岸部 EL. 0m)
(K-18, K-19, K-22, K-25, K-26については地表付近まで連続しないため記載していない)

矢印(▲)の向きは断層の傾斜方向を示す

調査位置図

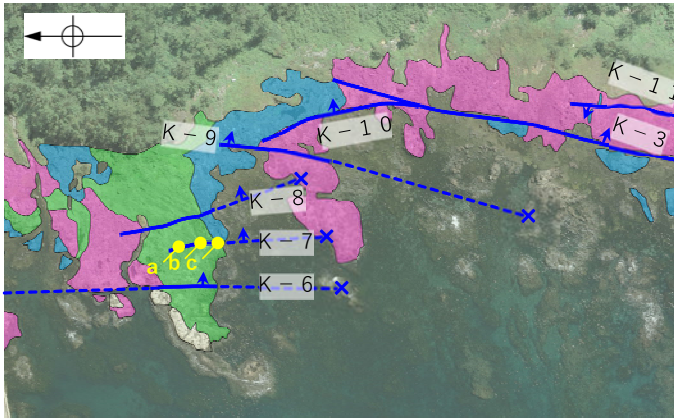
K-5の性状一覧表 ボーリング調査(1/1)

| 名称 | 孔名 | 確認深度(m) (標高(m)) | 走向・傾斜 (走向は真北) | 破砕部の幅 (cm) | コア写真 <div style="display: flex; justify-content: flex-end; align-items: center; margin-right: 10px;"> ■ 破砕部 ① 粘土状破砕部 ③-1 固結した粘土・砂状破砕部 ③-2 固結した角礫状破砕部 </div> |
|-----|---------------------|---------------------|------------------|---------------|---|
| K-5 | G-1.5-35 (傾斜35°) | 40.06 (EL-18.49) | N62° W/88° NE | 18 | <div style="display: flex; align-items: center;"> <div style="margin-right: 10px;">39.8</div> <div style="margin-right: 10px;">39.9</div> <div style="margin-right: 10px;">40.0</div> <div style="margin-right: 10px;">40.1</div> <div style="margin-right: 10px;">40.2</div> <div style="margin-right: 10px;">40.3</div> <div style="margin-right: 10px;">40.4 (m)</div> </div> |
| | G-1.5-50 (傾斜50°) | 46.73 (EL-31.31) | N69° W/72° NE | 8 | <div style="display: flex; align-items: center;"> <div style="margin-right: 10px;">46.4</div> <div style="margin-right: 10px;">46.5</div> <div style="margin-right: 10px;">46.6</div> <div style="margin-right: 10px;">46.7</div> <div style="margin-right: 10px;">46.8</div> <div style="margin-right: 10px;">46.9</div> <div style="margin-right: 10px;">47.0 (m)</div> </div> |
| | G-1.9-20 (傾斜20°) | 68.89 (EL-19.67) | N70° W/60° NE | 5 | <div style="display: flex; align-items: center;"> <div style="margin-right: 10px;">68.7</div> <div style="margin-right: 10px;">68.8</div> <div style="margin-right: 10px;">68.9</div> <div style="margin-right: 10px;">69.0</div> <div style="margin-right: 10px;">69.1</div> <div style="margin-right: 10px;">69.2</div> <div style="margin-right: 10px;">69.3 (m)</div> </div> |
| | G-1.9-27 (傾斜27°) | 79.33 (EL-32.13) | N60° W/72° NE | 10 | <div style="display: flex; align-items: center;"> <div style="margin-right: 10px;">79.0</div> <div style="margin-right: 10px;">79.1</div> <div style="margin-right: 10px;">79.2</div> <div style="margin-right: 10px;">79.3</div> <div style="margin-right: 10px;">79.4</div> <div style="margin-right: 10px;">79.5</div> <div style="margin-right: 10px;">79.6 (m)</div> </div> <p style="font-size: small; margin-top: 5px;">本コアには一部、グラウト影響(白色～灰色)が認められる。</p> |

| 名称 | 一般走向・傾斜 (真北) | 破碎部 | | 調査位置図・露頭写真 |
|-----|-----------------|------|--------|---|
| | | 測定番号 | 幅※(cm) | |
| K-6 | N2° W/60° NE | a | 4~6 |  <p>調査位置図</p> |
| | | b | 5~10 | |

代表写真箇所 ※: 地表面で測定した幅

K-7の性状一覧表 露頭観察(1/1)

| 名称 | 一般走向・傾斜 (真北) | 破碎部 | | 調査位置図・露頭写真 |
|-----|-----------------|------|--------|---|
| | | 測定番号 | 幅※(cm) | |
| K-7 | N8° W/88° NE | a | 2~11 |  <p>調査位置図</p> |
| | | b | 1~2 | |
| | | c | 4~11 | |
| | | | | <p>調査位置図</p> <p>測定番号c地点 遠景</p> <p>測定番号c地点の破碎部の状況</p> |

== 破碎部 ③-1 固結した粘土・砂状破碎部
③-2 固結した角礫状破碎部

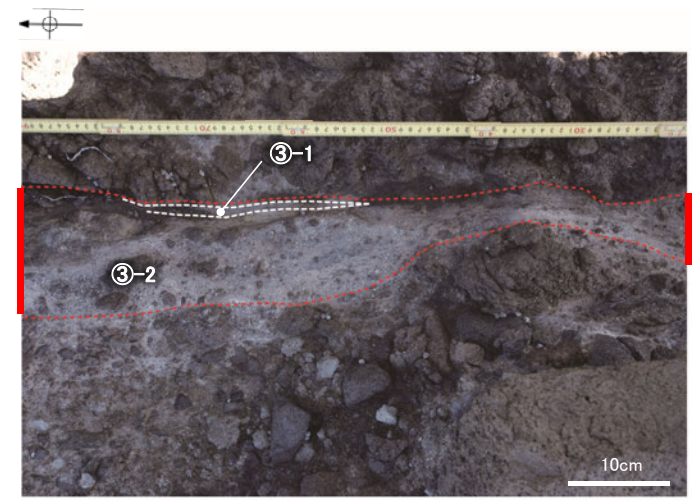
凡例

- 穴水累層 安山岩(均質)
- 穴水累層 安山岩(角礫質)
- 穴水累層 凝灰角礫岩
- 断層(地表面)
(破線はさらに延長する可能性のある箇所)
- 断層延長部の露岩域で断層が認められないことを確認したもの
- 断層端部を確認していないもの
- 矢印(↗)の向きは断層の傾斜方向を示す

0 50 100m



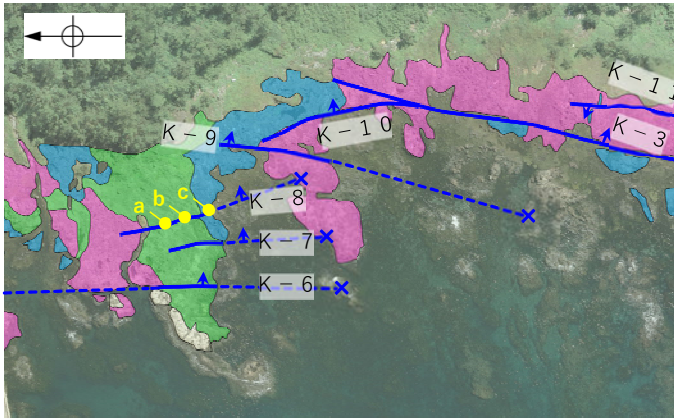
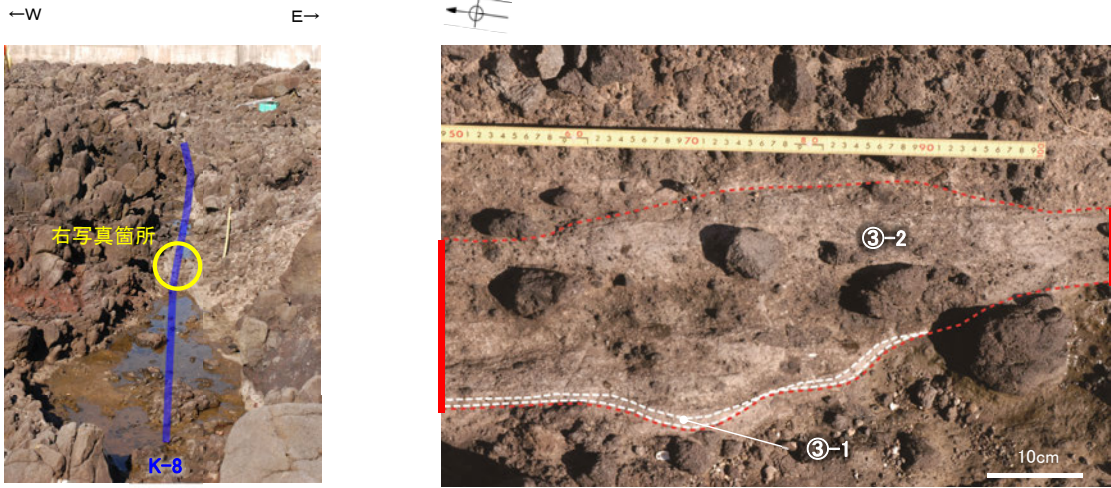
測定番号c地点 遠景



測定番号c地点の破碎部の状況

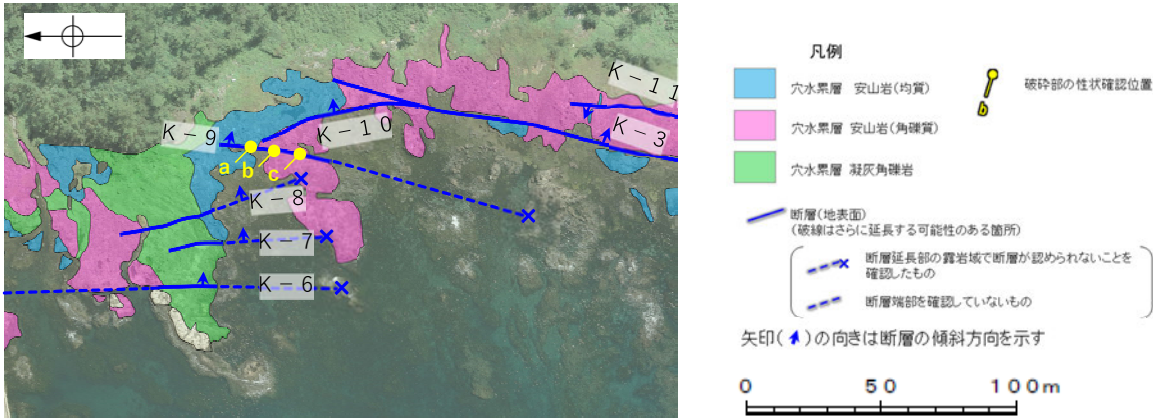
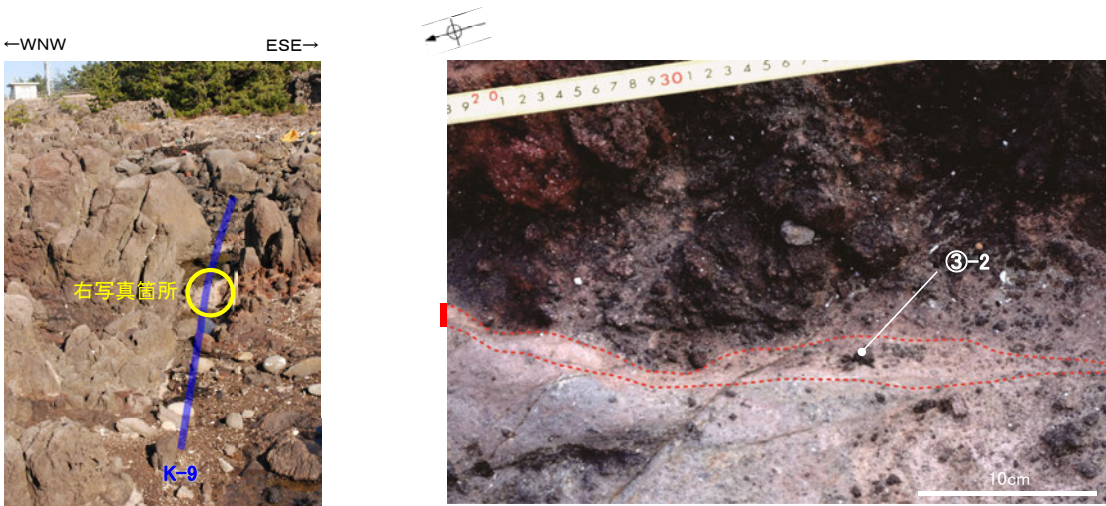
代表写真箇所 ※: 地表面で測定した幅

K-8の性状一覧表 露頭観察(1/1)

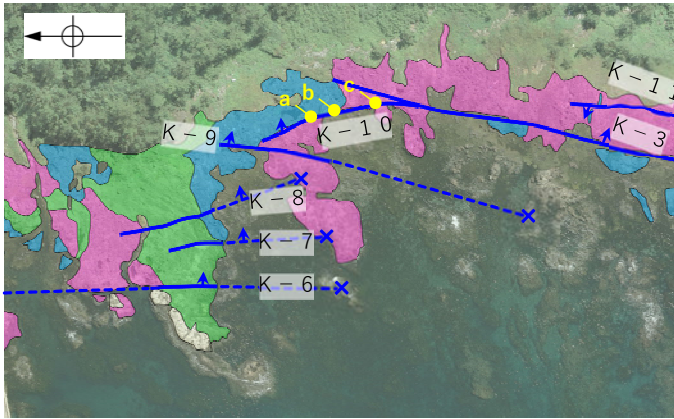
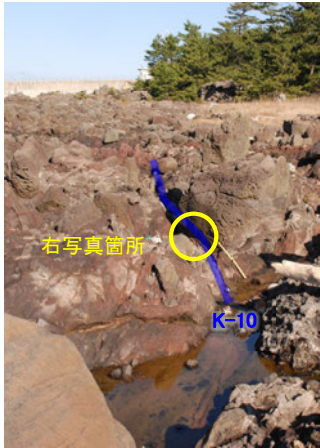
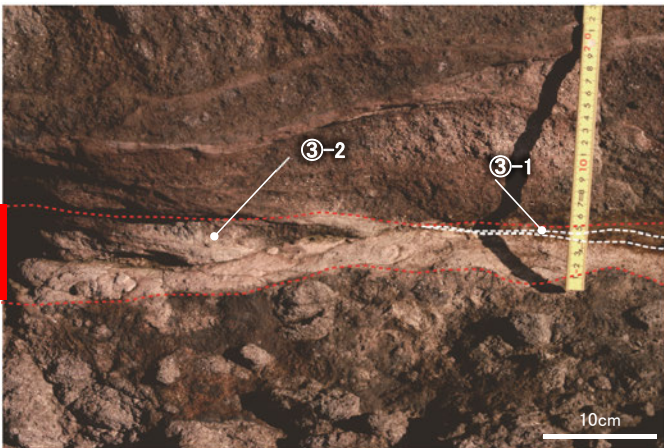
| 名称 | 一般走向・傾斜 (真北) | 破碎部 | | 調査位置図・露頭写真 |
|-----|-----------------|--|--------|---|
| | | 測定番号 | 幅※(cm) | |
| K-8 | N15° W/80° NE | a | 10~21 |  <p>調査位置図</p> |
| | | b | 1.5~10 | |
| | | c | 3~4 | |
| | |  <p>測定番号a地点 遠景</p> <p>測定番号a地点の破碎部の状況</p> | | |

代表写真箇所 ※: 地表面で測定した幅

K-9の性状一覧表 露頭観察(1/1)

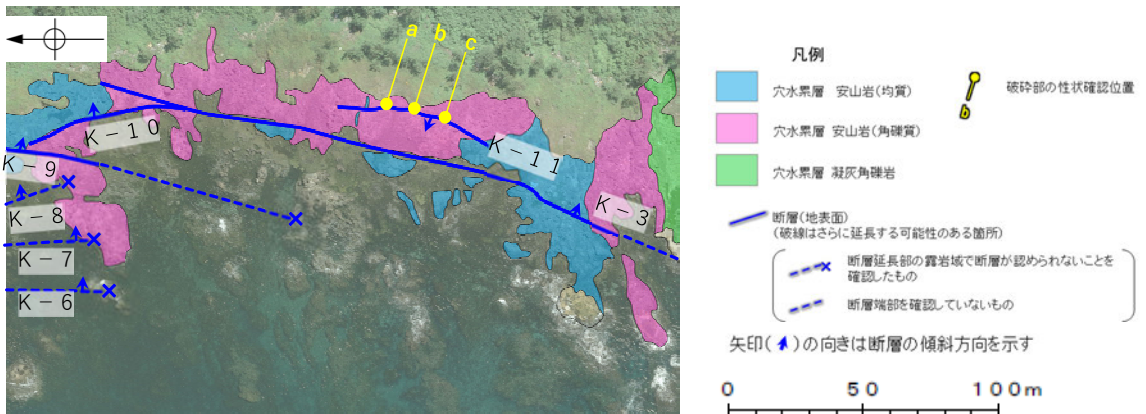

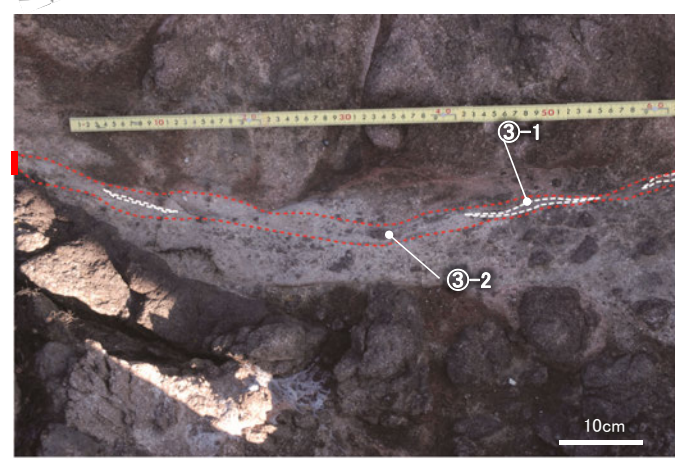
| 名称 | 一般走向・傾斜 (真北) | 破砕部 | | 調査位置図・露頭写真 |
|-----|-----------------|------|--------|--|
| | | 測定番号 | 幅※(cm) | |
| K-9 | N10° E/88° SE | a | 10~12 |  <p>調査位置図</p> |
| | | b | 2~4 | |
| | | c | 2~6 | |
| | | | |  <p>測定番号b地点 遠景</p> <p>測定番号b地点の破砕部の状況</p> |

代表写真箇所 ※: 地表面で測定した幅

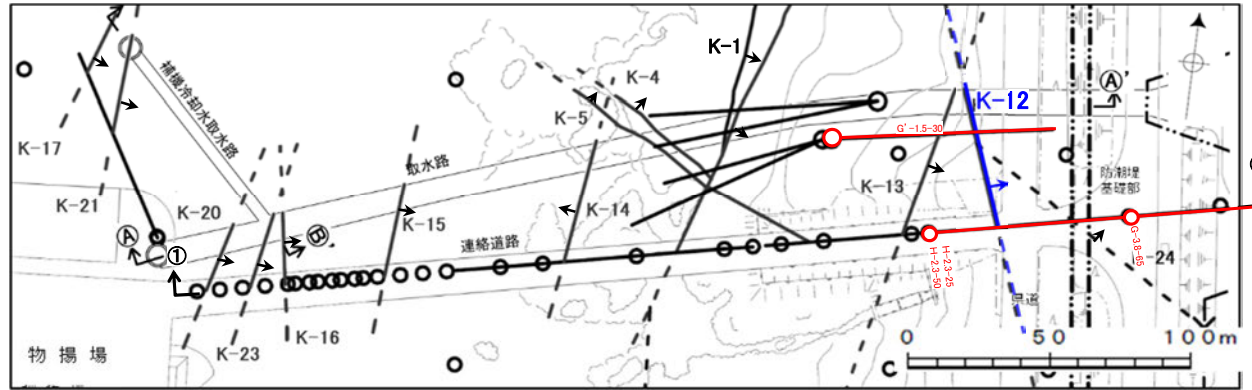
| 名称 | 一般走向・傾斜 (真北) | 破碎部 | | 調査位置図・露頭写真 |
|------|-----------------|------|--------|--|
| | | 測定番号 | 幅※(cm) | |
| K-10 | N16° W/62° NE | a | 4~10 |  <p>調査位置図</p> |
| | | b | 3~11 | |
| | | c | 7~9 | |
| | | | | |
| | | | |  <p>測定番号a地点 遠景</p> |
| | | | |  <p>測定番号a地点の破碎部の状況</p> |

代表写真箇所 ※: 地表面で測定した幅

K-11の性状一覧表 露頭観察(1/1)

| 名称 | 一般走向・傾斜 (真北) | 破碎部 | | 調査位置図・露頭写真 |
|------|-----------------|------|--------|--|
| | | 測定番号 | 幅※(cm) | |
| K-11 | N14° E/70° NW | a | 2~8 |  <p>調査位置図</p> |
| | | b | 3~10 | |
| | | c | 3~10 | |
| | | | | |
| | | | |  <p>測定番号a地点 遠景</p> |
| | | | |  <p>測定番号a地点の破砕部の状況</p> |

代表写真箇所 ※: 地表面で測定した幅

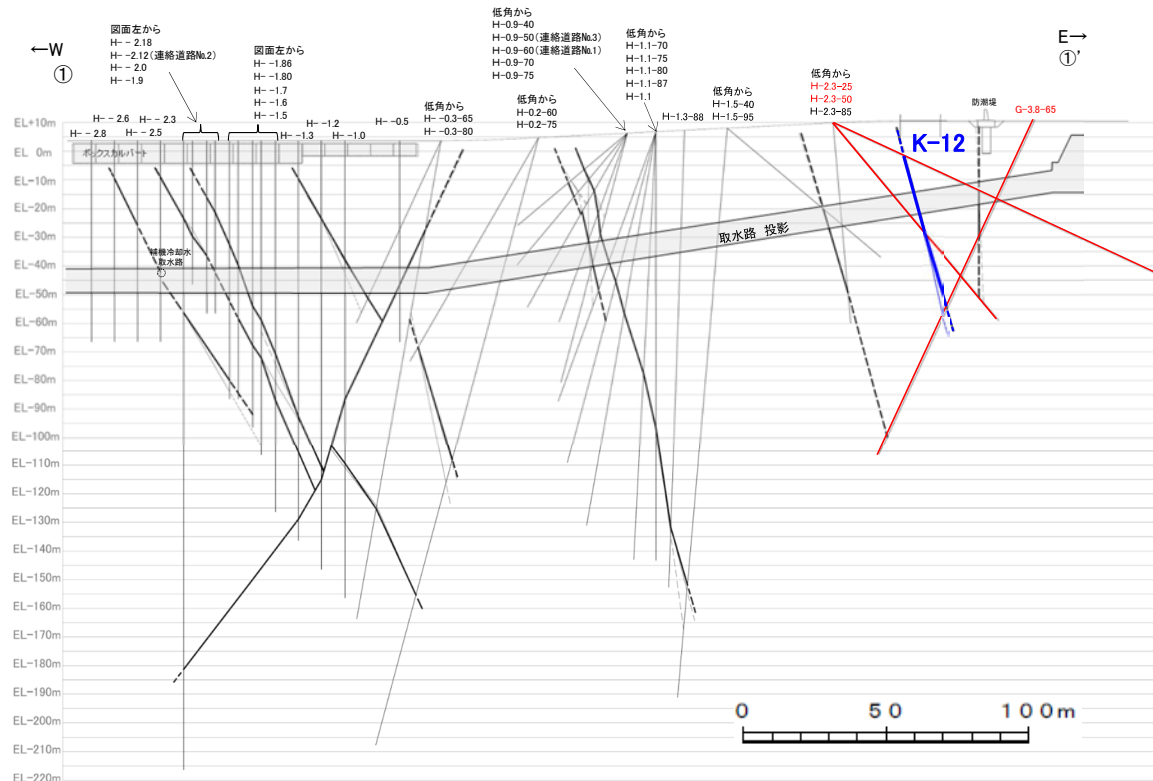


平面図

凡 例

- 鉛直ボーリング孔
- 斜めボーリング孔
- K-12確認ボーリング孔
- 基礎掘削面
- K-12(破線はさらに延長する可能性のある箇所)
- K-12以外の断層(破線はさらに延長する可能性のある箇所)
- 断層延長部の露岩域で断層が認められないことを確認したもの
- 断層端部を確認していないもの
- K+○ (海岸部 EL.0m)
(K-18, K-19, K-22, K-25, K-26については地表付近まで連続しないため記載していない)

矢印(①)の向きは断層の傾斜方向を示す



①-①' 断面図

凡 例

- K-12(主部を太線で表記)
(破線はさらに延長する可能性のある箇所)
- K-12以外の断層(主部を太線で表記)
(破線はさらに延長する可能性のある箇所)
- K-12確認ボーリング孔
- ※ 取水路の構造物を断面図に投影。

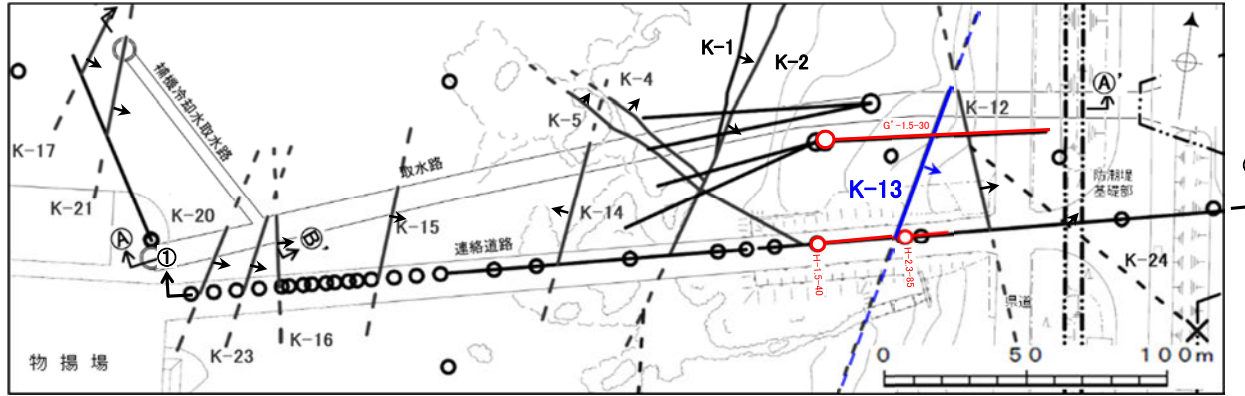
K-12の性状一覧表(1/2)

| 名称 | 孔名 | 深度(m) (標高(m)) | 走向・傾斜 (走向は真北) | 破碎部の幅 (cm) | コア写真 <div style="display: flex; justify-content: space-around; font-size: small;"> == 破碎部 ① 粘土状破碎部 ③-1 固結した粘土・砂状破碎部 </div> <div style="display: flex; justify-content: space-around; font-size: small;"> ②-1 砂状破碎部 ③-2 固結した角礫状破碎部 </div> |
|------|---------------------|---------------------|------------------|---------------|--|
| K-12 | H-2.3-25 (傾斜25°) | 27.15 (EL-1.58) | N 28° W/62° NE | 10 | |
| | | 27.49 (EL-1.73) | N 17° W/58° NE | 7 | |
| | H-2.3-50 (傾斜50°) | 49.99 (EL-28.40) | N 29° W/71° NE | 21 | |

K-12の性状一覧表(2/2)

| 名称 | 孔名 | 深度(m) (標高(m)) | 走向・傾斜 (走向は真北) | 破砕部の幅 (cm)* | コア写真 破砕部 ① 粘土状破砕部 ③-1 固結した粘土・砂状破砕部 ③-2 固結した角礫状破砕部 |
|------|----------------------|---------------------|------------------|----------------|---|
| K-12 | G-3.8-65 (傾斜65°) | 72.80 (EL-55.04) | N 13° W/79° NE | 12 | |
| | | 75.72 (EL-57.69) | N 9° W/86° NE | (3) | |
| | G'-1.5-30 (傾斜30°) | 65.67 (EL-28.19) | N 31° W/74° NE | 7 | |

*幅が3cm未満であるが、四捨五入により3cmとなるものは(3)と表記

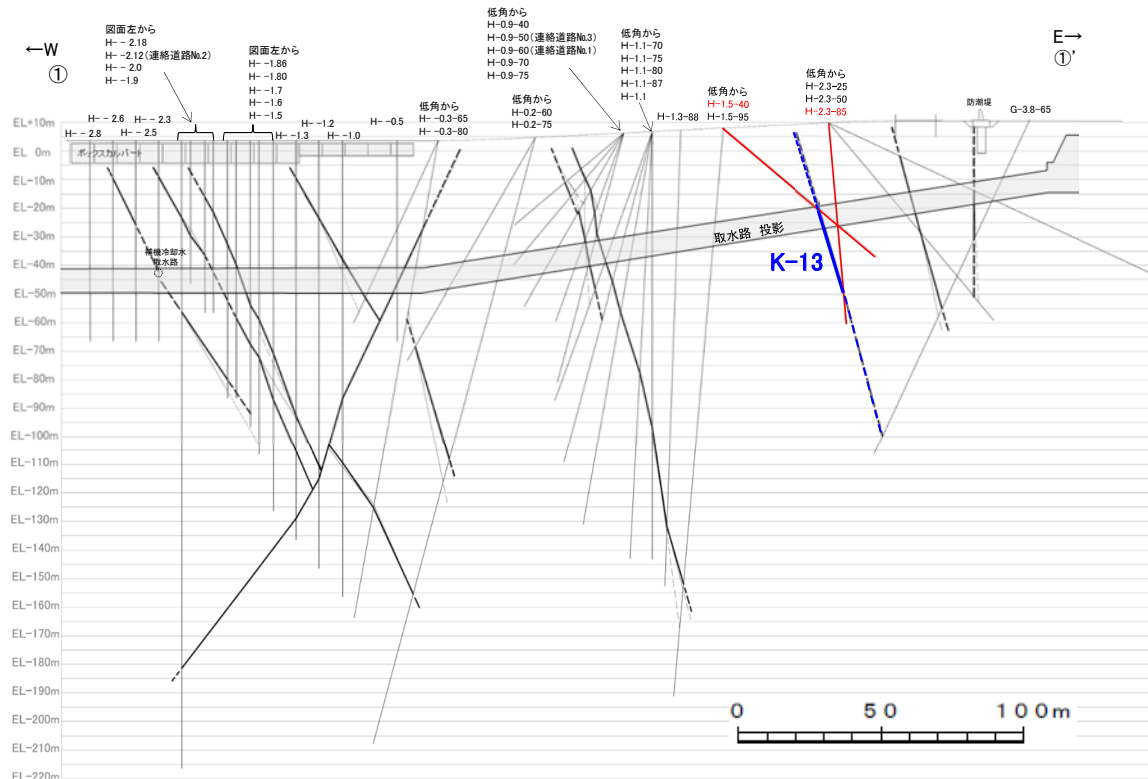


平面図

凡 例

- 鉛直ボーリング孔
- 斜めボーリング孔
- K-13確認ボーリング孔
- 基礎掘削面
- K-13(破線はさらに延長する可能性のある箇所)
- K-13以外の断層(破線はさらに延長する可能性のある箇所)
- 断層延長部の露岩域で断層が認められないことを確認したもの
- 断層端部を確認していないもの
- K+○ (海岸部 EL 0m)
(K-18, K-19, K-22, K-25, K-26については地表付近まで連続しないため記載していない)

矢印(▲)の向きは断層の傾斜方向を示す



①-①' 断面図

凡 例

- K-13(主部を太線で表記)
(破線はさらに延長する可能性のある箇所)
 - K-13以外の断層(主部を太線で表記)
(破線はさらに延長する可能性のある箇所)
 - K-13確認ボーリング孔
- ※ 取水路の構造物を断面図に投影。

K-13の性状一覧表(1/3)

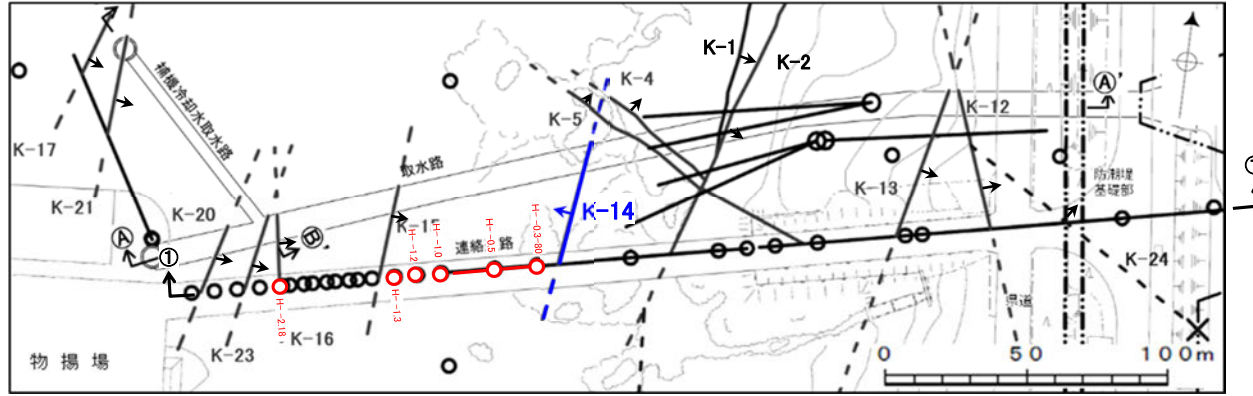
| 名称 | 孔名 | 深度(m) (標高(m)) | 走向・傾斜 (走向は真北) | 破碎部の幅 (cm) | コア写真 <div style="display: flex; align-items: center; gap: 10px;"> — 破碎部 </div> <div style="display: flex; flex-direction: column; gap: 5px; margin-left: 20px;"> ① 粘土状破碎部 ③-1 固結した粘土・砂状破碎部 ③-2 固結した角礫状破碎部 </div> |
|------|---------------------|---------------------|------------------|---------------|---|
| K-13 | H-1.5-40 (傾斜40°) | 43.18 (EL-19.73) | N 13° E/72° SE | 7 | <div style="display: flex; align-items: center;"> <div style="margin-right: 10px;">43.0 43.1 43.2 43.3 43.4 43.5 43.6 (m)</div> </div> |
| | | 43.81 (EL-20.13) | N 8° E/65° SE | 14 | <div style="display: flex; align-items: center;"> <div style="margin-right: 10px;">43.4 43.5 43.6 43.7 43.8 43.9 44.0 (m)</div> </div> |

K-13の性状一覧表(2/3)

| 名称 | 孔名 | 深度(m) (標高(m)) | 走向・傾斜 (走向は真北) | 破砕部の幅 (cm) | コア写真 ① 粘土状破砕部 ③-1 固結した粘土・砂状破砕部 ③-2 固結した角礫状破砕部 |
|------|---------------------|---------------------|------------------|---------------|--|
| K-13 | H-2.3-85 (傾斜85°) | 59.40 (EL-49.28) | N 16° E/81° SE | 27 | <p>58.0 58.1 58.2 58.3 58.4 58.5 58.6 (m)</p> <p>58.6 58.7 58.8 58.9 59.0 59.1 59.2 (m)</p> <p>59.2 59.3 59.4 59.5 59.6 59.7 59.8 (m)</p> <p>59.8 59.9 60.0 60.1 60.2 60.3 60.4 (m)</p> <p>掘進区切り</p> <p>本コアには一部、グラウト影響(白色～灰色)が認められる。</p> |

K-13の性状一覧表(3/3)

| 名称 | 孔名 | 深度(m) (標高(m)) | 走向・傾斜 (走向は真北) | 破碎部の幅 (cm) | コア写真 <div style="display: flex; align-items: center; gap: 10px;"> — 破碎部 ②-2 角礫状破碎部 ③-1 固結した粘土・砂状破碎部 </div> |
|------|----------------------|---------------------|------------------|---------------|--|
| K-13 | G'-1.5-30 (傾斜30°) | 47.80 (EL-19.25) | N 16° E/77° SE | 8 | <div style="display: flex; align-items: center;"> <div style="margin-right: 10px;">47.4 47.5 47.6 47.7 47.8 47.9 48.0 (m)</div> </div> |
| | | 48.07 (EL-19.39) | N 5° E/75° SE | 2 | <div style="display: flex; align-items: center;"> <div style="margin-right: 10px;">47.8 47.9 48.0 48.1 48.2 48.3 48.4 (m)</div> </div> |

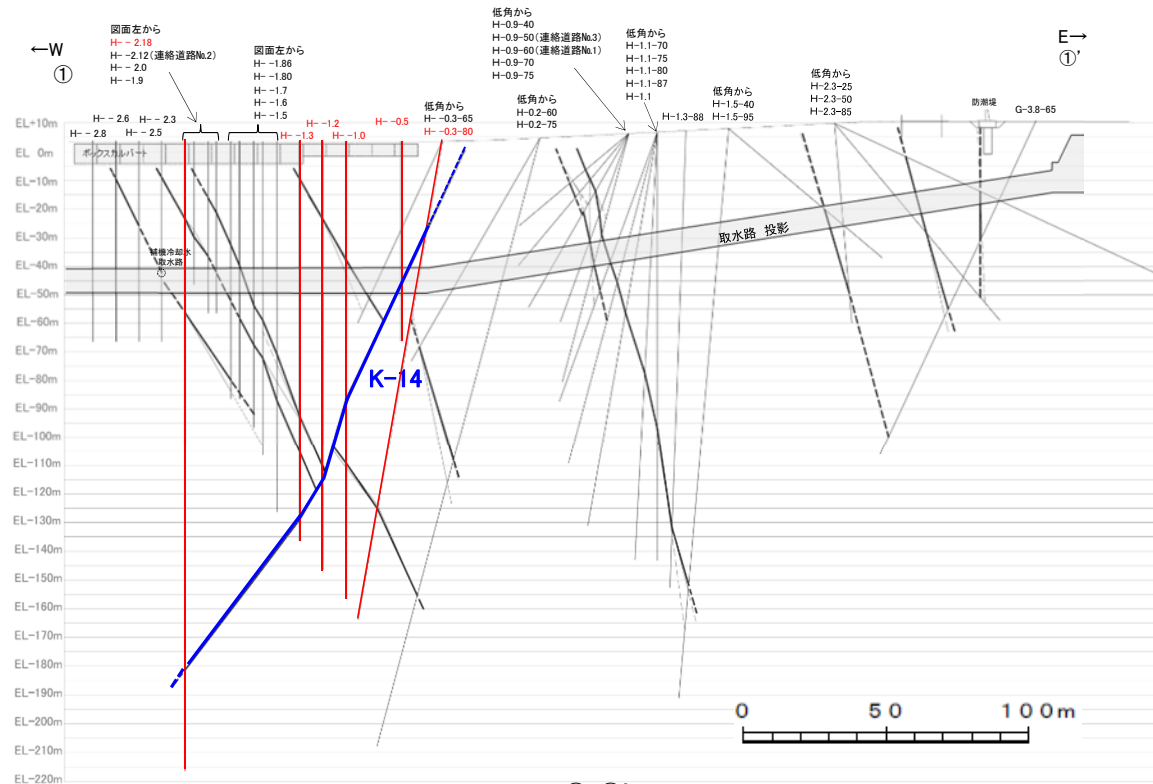


平面図

凡 例

- 鉛直ボーリング孔
- 斜めボーリング孔
- K-14確認ボーリング孔
- 基礎掘削面
- K-14(破線はさらに延長する可能性のある箇所)
- K-14以外の断層(破線はさらに延長する可能性のある箇所)
- 断層延長部の露岩域で断層が認められないことを確認したもの
- 断層端部を確認していないもの
- K+○ (海岸部 EL 0m)
(K-18, K-19, K-22, K-25, K-26については地表付近まで連続しないため記載していない)

矢印(▲)の向きは断層の傾斜方向を示す



①-①' 断面図




凡 例

- K-14(主部を太線で表記)
(破線はさらに延長する可能性のある箇所)
 - K-14以外の断層(主部を太線で表記)
(破線はさらに延長する可能性のある箇所)
 - K-14確認ボーリング孔
- ※ 取水路の構造物を断面図に投影。

K-14の性状一覧表(1/6)

| 名称 | 孔名 | 深度(m) (標高(m)) | 走向・傾斜 (走向は真北) | 破砕部の幅 (cm) | コア写真 破砕部 ①粘土状破砕部 ③-1 固結した粘土・砂状破砕部 ③-2 固結した角礫状破砕部 |
|------|----------|-----------------------|------------------|---------------|---|
| K-14 | H- -2.18 | 185.01 (EL-181.37) | N 17° E/68° NW | 20 | <p>184.4 184.5 184.6 184.7 184.8 184.9 185.0 (m)</p> <p>① ③-1</p> <p>185.0 185.1 185.2 185.3 185.4 185.5 185.6 (m)</p> <p>③-1 ③-2 ③-1 ③-2</p> |
| | H- -1.3 | 132.56 (EL-128.87) | N 24° E/58° NW | 24 | <p>132.2 132.3 132.4 132.5 132.6 132.7 132.8 (m)</p> <p>③-2 ③-1 ③-2</p> <p>132.8 132.9 133.0 133.1 133.2 133.3 133.4 (m)</p> <p>③-2</p> |

K-14の性状一覧表(2/6)

| 名称 | 孔名 | 深度(m) (標高(m)) | 走向・傾斜 (走向は真北) | 破砕部の幅 (cm) | コア写真 <div style="text-align: right;"> ■ 破砕部 ① 粘土状破砕部 ③-1 固結した粘土・砂状破砕部 ②-2 角礫状破砕部 ③-2 固結した角礫状破砕部 </div> |
|------|---------|-----------------------|------------------|---------------|--|
| K-14 | H- -1.2 | 118.76 (EL-115.12) | N 2° W/64° SW | 48 | <div style="display: flex; flex-direction: column; align-items: center;"> <div style="display: flex; justify-content: space-between; width: 100%; margin-bottom: 5px;"> 118.1118.2118.3118.4118.5118.6118.7 (m) </div>  <div style="display: flex; justify-content: space-between; width: 100%; margin-bottom: 5px;"> 118.7118.8118.9119.0119.1119.2119.3 (m) </div>  <div style="display: flex; justify-content: space-between; width: 100%; margin-bottom: 5px;"> 119.3119.4119.5119.6 (m) </div>  </div> |

K-14の性状一覧表(3/6)

| 名称 | 孔名 | 深度(m) (標高(m)) | 走向・傾斜 (走向は真北) | 破砕部の幅 (cm) | <div style="text-align: right;"> ▬ 破砕部 コア写真 ① 粘土状破砕部 ③-1 固結した粘土・砂状破砕部 ②-2 角礫状破砕部 ③-2 固結した角礫状破砕部 </div> |
|------|---------|---------------------|------------------|---------------|---|
| K-14 | H- -1.0 | 90.03 (EL-86.37) | N 20° E/75° NW | 28 | |

K-14の性状一覧表(4/6)

| 名称 | 孔名 | 深度(m) (標高(m)) | 走向・傾斜 (走向は真北) | 破碎部の幅 (cm) | コア写真 <div style="text-align: right;"> — 破碎部 ① 粘土状破碎部 ③-1 固結した粘土・砂状破碎部 ②-2 角礫状破碎部 ③-2 固結した角礫状破碎部 </div> |
|------|---------|---------------------|------------------|---------------|--|
| K-14 | H- -0.5 | 50.21 (EL-46.57) | N 10° W/70° SW | 31 | <p style="text-align: right;">本コアには一部、グラウト影響(白色～灰色)が認められる。</p> |

K-14の性状一覧表(5/6)

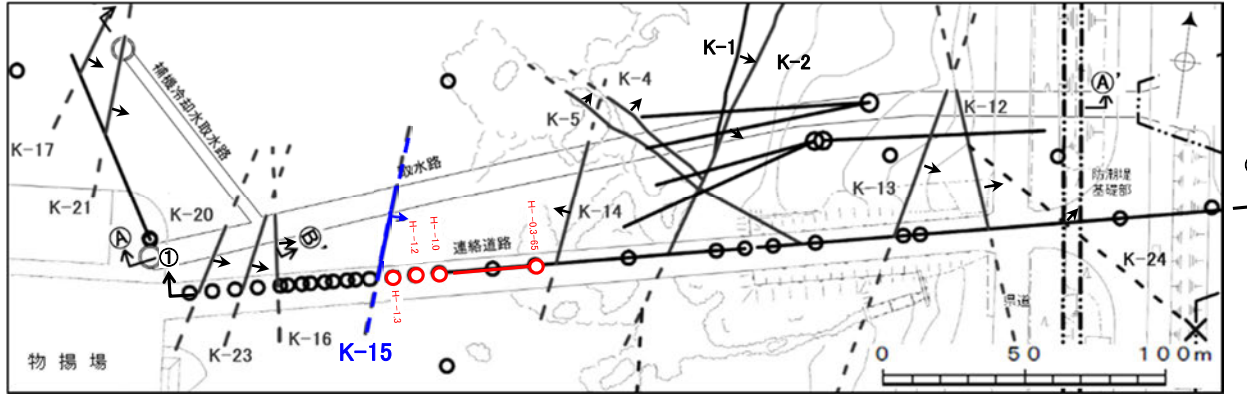
| 名称 | 孔名 | 深度(m) (標高(m)) | 走向・傾斜 (走向は真北) | 破砕部の幅 (cm) | <div style="text-align: right;"> — 破砕部 コア写真 ① 粘土状破砕部 ③-1 固結した粘土・砂状破砕部 ②-2 角礫状破砕部 ③-2 固結した角礫状破砕部 </div> |
|------|-----------------------|---------------------|------------------|---------------|---|
| K-14 | H- -0.3-80 (傾斜80°) | 31.57 (EL-27.40) | N 5° E/68° NW | 72 | <p>29.0 29.1 29.2 29.3 29.4 29.5 29.6 (m)</p> <p>29.6 29.7 29.8 29.9 30.0 30.1 30.2 (m)</p> <p>30.2 30.3 30.4 30.5 30.6 30.7 30.8 (m)</p> <p>30.8 30.9 31.0 31.1 31.2 31.3 31.4 (m)</p> <p>②-2 本コアには一部、グラウト影響(白色～灰色)が認められる。</p> |

K-14の性状一覧表(6/6)

| 名称 | 孔名 | 深度(m) (標高(m)) | 走向・傾斜 (走向は真北) | 破碎部の幅 (cm) | <div style="text-align: right;"> — 破碎部 コア写真 ① 粘土状破碎部 ③-1 固結した粘土・砂状破碎部 ②-2 角礫状破碎部 </div> |
|------|---------------------|---------------------|------------------|---------------|---|
| K-14 | H-0.3-80 (傾斜80°) | 31.57 (EL-27.40) | N 5° E/68° NW | 72 | <p style="text-align: center;">掘進区切り</p> <p style="text-align: center;">31.4 31.5 31.6 31.7 31.8 31.9 32.0 (m)</p> <p style="text-align: center;">32.0 32.1 32.2 32.3 32.4 32.5 32.6 (m)</p> <p style="text-align: center;">②-2 ① ③-1</p> |
| | | 32.28 (EL-28.10) | N 7° W/64° SW | 4 | <p style="text-align: center;">32.0 32.1 32.2 32.3 32.4 32.5 32.6 (m)</p> <p style="text-align: center;">32.0 32.1 32.2 32.3 32.4 32.5 32.6 (m)</p> <p style="text-align: center;">③-1</p> |

本コアには一部、グラウト影響(白色～灰色)が認められる。

本コアには一部、グラウト影響(白色～灰色)が認められる。

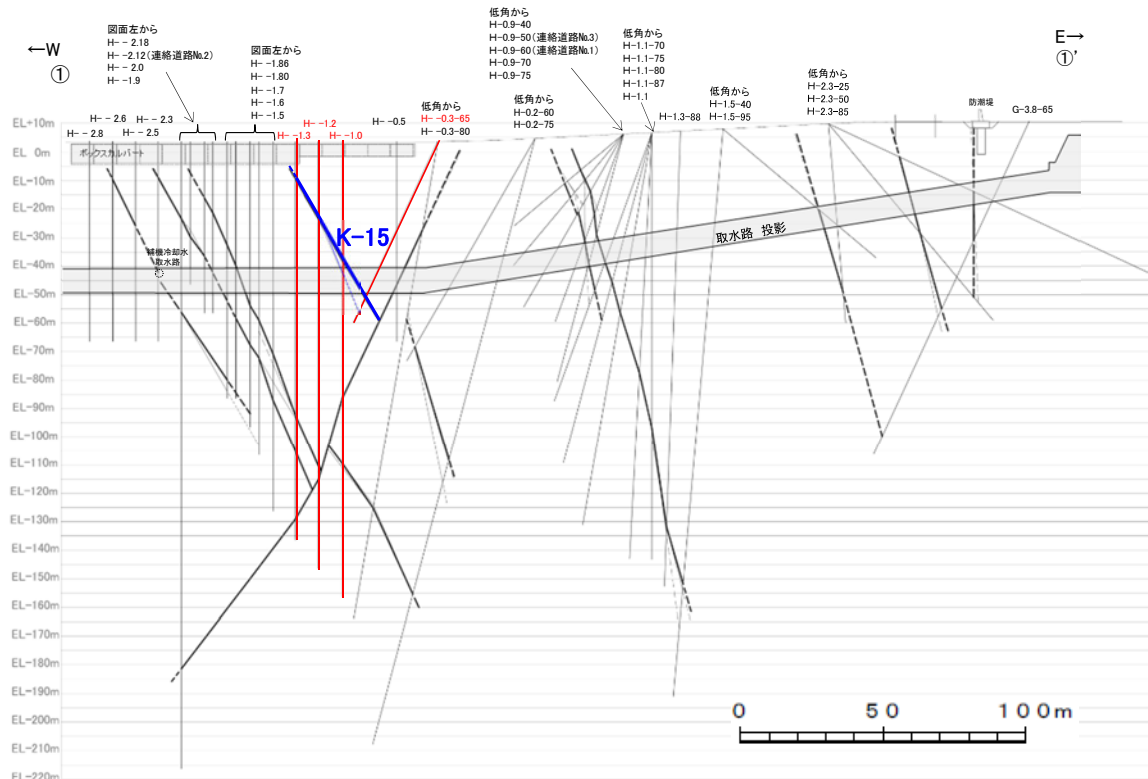


平面図

凡 例

- 鉛直ボーリング孔
- 斜めボーリング孔
- K-15確認ボーリング孔
- 基礎掘削面
- K-15(破線はさらに延長する可能性のある箇所)
- K-15以外の断層(破線はさらに延長する可能性のある箇所)
- 断層延長部の露岩域で断層が認められないことを確認したもの
- 断層端部を確認していないもの
- K+○ (海岸部 EL.0m)
(K-18, K-19, K-22, K-25, K-26については地表付近まで連続しないため記載していない)

矢印(▲)の向きは断層の傾斜方向を示す



①-①'断面図

凡 例

- K-15(主部を太線で表記)
(破線はさらに延長する可能性のある箇所)
 - K-15以外の断層(主部を太線で表記)
(破線はさらに延長する可能性のある箇所)
 - K-15確認ボーリング孔
- ※ 取水路の構造物を断面図に投影。

K-15の性状一覧表(1/2)

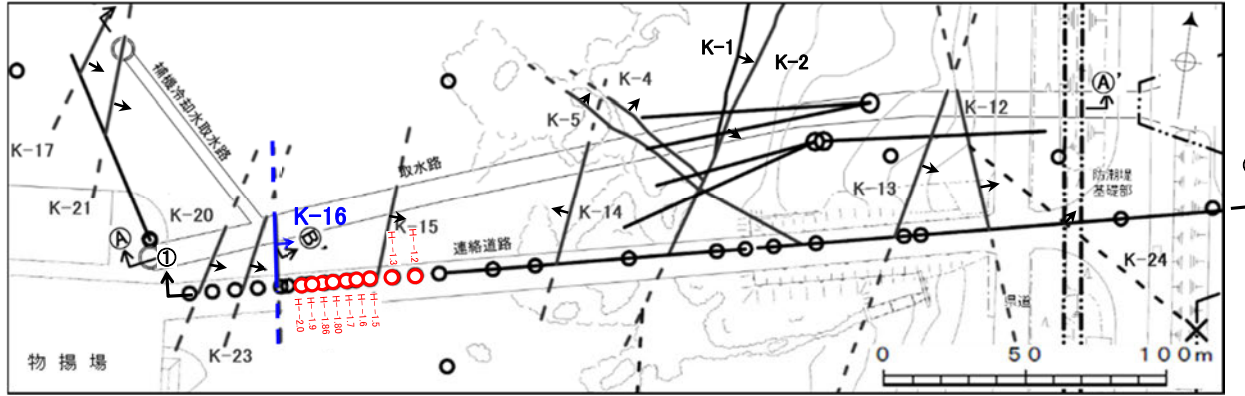
| 名称 | 孔名 | 深度(m) (標高(m)) | 走向・傾斜 (走向は真北) | 破砕部の幅 (cm)* | コア写真 破砕部 ① 粘土状破砕部 ③-1 固結した粘土・砂状破砕部 ③-2 固結した角礫状破砕部 |
|------|-------|---------------------|------------------|----------------|---|
| K-15 | H-1.3 | 13.13 (EL-9.44) | N S/70° E | (3) | |
| | | 13.48 (EL-9.79) | N 2° E/65° SE | 1 | |
| | H-1.2 | 27.05 (EL-23.41) | N 15° E/69° SE | 33 | |

*幅が3cm未満であるが、四捨五入により3cmとなるものは(3)と表記

K-15の性状一覧表(2/2)

| 名称 | 孔名 | 深度(m) (標高(m)) | 走向・傾斜 (走向は真北) | 破碎部の幅 (cm) | <div style="display: flex; align-items: center;"> <div style="width: 20px; height: 2px; background-color: red; margin-right: 5px;"></div> 破碎部 コア写真 ① 粘土状破碎部 ③-1 固結した粘土・砂状破碎部 ②-2 角礫状破碎部 ③-2 固結した角礫状破碎部 </div> |
|------|-----------------------|---------------------|------------------|---------------|---|
| K-15 | H- -1.0 | 41.51 (EL-37.85) | N 4° W/64° NE | 10 | <p>本コアには一部、グラウト影響(白色～灰色)が認められる。</p> |
| | | 42.25 (EL-38.59) | N 13° E/64° SE | 9 | <p>本コアには一部、グラウト影響(白色～灰色)が認められる。</p> |
| | | 46.36 (EL-42.70) | N 4° E/80° SE | 7 | <p>本コアには一部、グラウト影響(白色～灰色)が認められる。</p> |
| | H- -0.3-65 (傾斜65°) | 60.54 (EL-51.18) | N 8° W/60° NE | 11 | <p>本コアには一部、グラウト影響(白色～灰色)が認められる。</p> |

ボーリング調査 位置図(K-16)

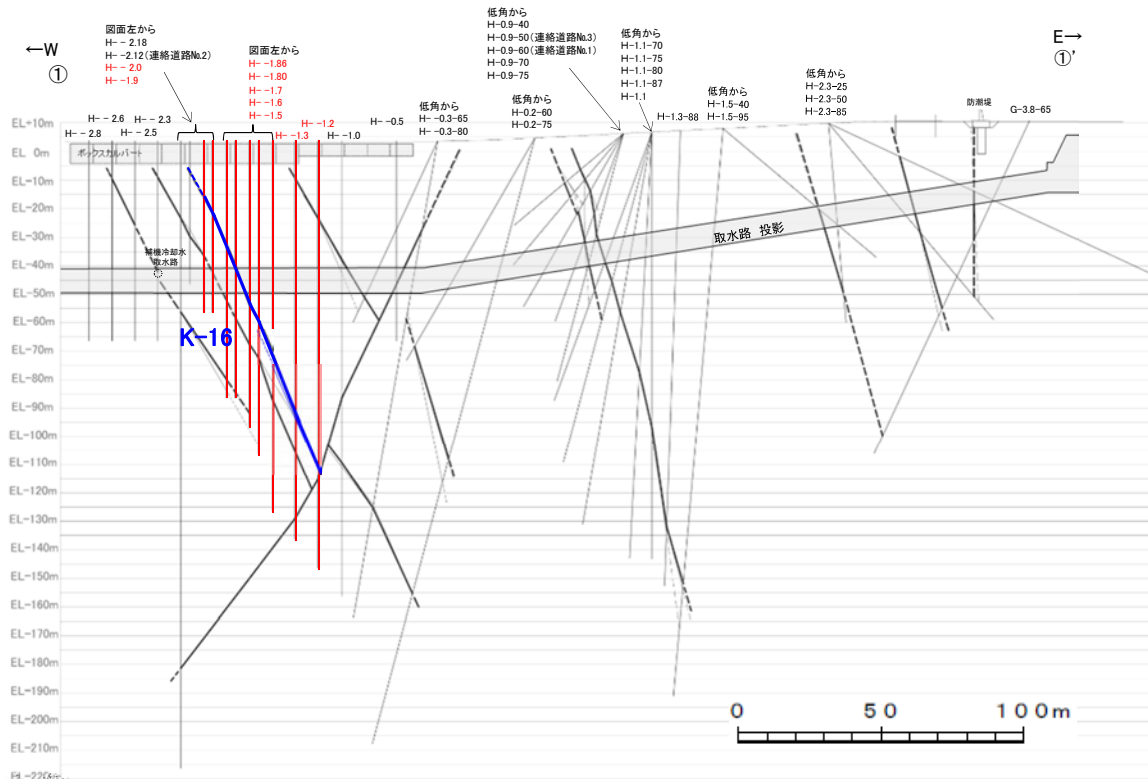


平面図

凡 例

- 鉛直ボーリング孔
- 斜めボーリング孔
- K-16確認ボーリング孔
- 基礎掘削面
- K-16(破線はさらに延長する可能性のある箇所)
- K-16以外の断層(破線はさらに延長する可能性のある箇所)
- 断層延長部の露岩域で断層が認められないことを確認したもの
- 断層端部を確認していないもの
- K+○ (海岸部 EL.0m)
(K-18, K-19, K-22, K-25, K-26については地表付近まで連続しないため記載していない)

矢印(➡)の向きは断層の傾斜方向を示す





①-①' 断面図

凡 例

- K-16(主部を太線で表記)
(破線はさらに延長する可能性のある箇所)
 - K-16以外の断層(主部を太線で表記)
(破線はさらに延長する可能性のある箇所)
 - K-16確認ボーリング孔
- ※ 取水路の構造物を断面図に投影。

K-16の性状一覧表(1/8)

| 名称 | 孔名 | 深度(m) (標高(m)) | 走向・傾斜 (走向は真北) | 破砕部の幅 (cm) | <div style="display: flex; justify-content: space-between; align-items: center;"> <div>コア写真</div> <div style="text-align: right;"> — 破砕部 ① 粘土状破砕部 ③-1 固結した粘土・砂状破砕部 ③-2 固結した角礫状破砕部 </div> </div> |
|------|---------|---------------------|------------------|---------------|--|
| K-16 | H- -2.0 | 19.73 (EL-16.09) | N 24° W/70° NE | 22 | <div style="display: flex; flex-direction: column; align-items: center;"> <div style="display: flex; justify-content: space-between; width: 100%; margin-bottom: 5px;"> 19.119.219.319.419.5 (m) </div>  <div style="margin-top: 10px;"> <div style="display: flex; justify-content: space-between; width: 100%; margin-bottom: 5px;"> 19.519.619.719.819.920.0 (m) </div>  </div> </div> |

K-16の性状一覧表(2/8)

| 名称 | 孔名 | 深度(m) (標高(m)) | 走向・傾斜 (走向は真北) | 破砕部の幅 (cm) | <div style="text-align: right;"> ▬ 破砕部 コア写真 ① 粘土状破砕部 ③-1 固結した粘土・砂状破砕部 ②-1 砂状破砕部 ③-2 固結した角礫状破砕部 </div> |
|------|---------|---------------------|------------------|---------------|--|
| K-16 | H- -1.9 | 25.04 (EL-21.40) | N 18° W/68° NE | 51 | |

K-16の性状一覧表(3/8)

| 名称 | 孔名 | 深度(m) (標高(m)) | 走向・傾斜 (走向は真北) | 破碎部の幅 (cm) | コア写真 ① 粘土状破碎部 ③-1 固結した粘土・砂状破碎部 ②-1 砂状破碎部 ③-2 固結した角礫状破碎部 ②-2 角礫状破碎部 〓 破碎部 |
|------|----------|---------------------|------------------|---------------|---|
| K-16 | H- -1.86 | 36.28 (EL-32.64) | N 22° W/63° NE | 15 | <p>35.8 35.9 36.0 36.1 36.2 (m)</p> <p>③-2</p> <p>36.2 36.3 36.4 36.5 36.6 36.7 (m)</p> <p>③-2 ③-1 ① ②-1 ③-1</p> <p>本コアには一部、グラウト影響(白色～灰色)が認められる。</p> |
| | H- -1.80 | 43.35 (EL-39.71) | N 19° W/74° NE | 21 | <p>43.0 43.1 43.2 43.3 43.4 43.5 43.6 (m)</p> <p>③-1 ②-2 ①</p> <p>43.6 43.7 43.8 43.9 44.0 (m)</p> <p>③-1 ③-2</p> <p>本コアには一部、グラウト影響(白色～灰色)が認められる。</p> |

K-16の性状一覧表(4/8)

| 名称 | 孔名 | 深度(m) (標高(m)) | 走向・傾斜 (走向は真北) | 破砕部の幅 (cm) | コア写真 破砕部 ① 粘土状破砕部 ③-1 固結した粘土・砂状破砕部 ③-2 固結した角礫状破砕部 |
|------|--------|---------------------|------------------|---------------|--|
| K-16 | H--1.7 | 57.55 (EL-53.91) | N 8° W/72° NE | 26 | <p>56.8 56.9 57.0 57.1 57.2 57.3 (m)</p> <p>③-2</p> <p>57.3 57.4 57.5 57.6 57.7 57.8 57.9 (m)</p> <p>③-1 ① ③-2</p> |
| | H--1.6 | 62.46 (EL-58.82) | N 21° W/63° NE | 22 | <p>62.2 62.3 62.4 62.5 62.6 62.7 (m)</p> <p>③-1 ① ③-1</p> <p>62.7 62.8 62.9 63.0 63.1 (m)</p> <p>③-1</p> |

K-16の性状一覧表(5/8)

| 名称 | 孔名 | 深度(m) (標高(m)) | 走向・傾斜 (走向は真北) | 破砕部の幅 (cm) | コア写真 <div style="display: flex; justify-content: space-between; align-items: center;"> <div style="text-align: right;"> <p>破砕部</p> <p>① 粘土状破砕部 ③-1 固結した粘土・砂状破砕部</p> <p>②-2 角礫状破砕部 ③-2 固結した角礫状破砕部</p> </div> </div> |
|------|-------|---------------------|------------------|---------------|---|
| K-16 | H-1.5 | 74.35 (EL-70.71) | N 25° W/64° NE | 16 | |
| | | 77.93 (EL-74.29) | N 7° E/63° SE | 21 | |
| | | 84.28 (EL-80.64) | N 9° E/56° SE | 9 | |

K-16の性状一覧表(6/8)

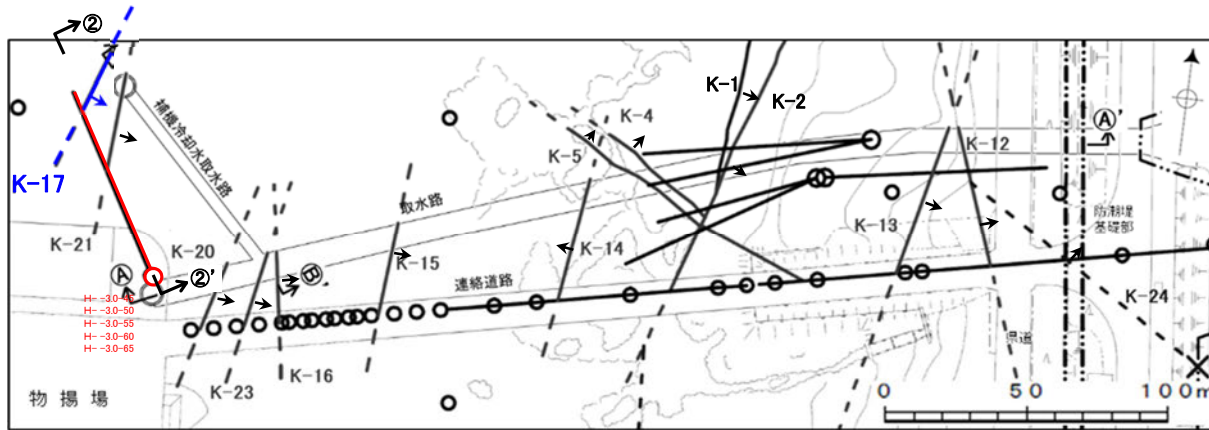
| 名称 | 孔名 | 深度(m) (標高(m)) | 走向・傾斜 (走向は真北) | 破砕部の幅 (cm) | <div style="display: flex; align-items: center;"> <div style="width: 15px; height: 10px; background-color: red; margin-right: 5px;"></div> 破砕部 </div> コア写真 ① 粘土状破砕部 ③-1 固結した粘土・砂状破砕部 ②-2 角礫状破砕部 ③-2 固結した角礫状破砕部 |
|------|-------|---------------------|------------------|---------------|--|
| K-16 | H-1.3 | 96.35 (EL-92.66) | N 7° W/74° NE | 14 | |
| | | 96.74 (EL-93.05) | N 1° W/72° NE | 3 | |
| | | 97.30 (EL-93.61) | N S/48° E | 13 | |

K-16の性状一覧表(7/8)

| 名称 | 孔名 | 深度(m) (標高(m)) | 走向・傾斜 (走向は真北) | 破砕部の幅 (cm) | コア写真 — 破砕部 ③-1 固結した粘土・砂状破砕部 |
|------|-------|---------------------|------------------|---------------|--|
| K-16 | H-1.3 | 97.44 (EL-93.75) | N 4° W/66° NE | 2 | |

K-16の性状一覧表(8/8)

| 名称 | 孔名 | 深度(m) (標高(m)) | 走向・傾斜 (走向は真北) | 破砕部の幅 (cm) | コア写真 <div style="display: flex; justify-content: space-between; align-items: center;"> <div style="text-align: center;"> <p>破砕部</p> <p>① 粘土状破砕部</p> <p>②-2 角礫状破砕部</p> </div> <div style="text-align: center;"> <p>③-1 固結した粘土・砂状破砕部</p> <p>③-2 固結した角礫状破砕部</p> </div> </div> |
|------|--------|-----------------------|------------------|---------------|---|
| K-16 | H--1.2 | 113.68 (EL-110.04) | N 9° W/64° NE | 3 | <div style="display: flex; align-items: center;"> <div style="margin-right: 10px;">113.4</div> <div style="margin-right: 10px;">113.5</div> <div style="margin-right: 10px;">113.6</div> <div style="margin-right: 10px;">113.7</div> <div style="margin-right: 10px;">113.8</div> <div style="margin-right: 10px;">113.9</div> <div>114.0 (m)</div> </div> |
| | | 114.05 (EL-110.41) | N 16° W/73° NE | 14 | <div style="display: flex; align-items: center;"> <div style="margin-right: 10px;">113.7</div> <div style="margin-right: 10px;">113.8</div> <div style="margin-right: 10px;">113.9</div> <div style="margin-right: 10px;">114.0</div> <div style="margin-right: 10px;">114.1</div> <div style="margin-right: 10px;">114.2</div> <div>114.3 (m)</div> </div> <div style="display: flex; align-items: center; margin-top: 10px;"> <div style="margin-right: 10px;">114.3</div> <div style="margin-right: 10px;">114.4</div> <div>114.5 (m)</div> </div> |
| | | 114.75 (EL-111.11) | N 7° E/78° SE | 4 | <div style="display: flex; align-items: center;"> <div style="margin-right: 10px;">114.5</div> <div style="margin-right: 10px;">114.6</div> <div style="margin-right: 10px;">114.7</div> <div style="margin-right: 10px;">114.8</div> <div style="margin-right: 10px;">114.9</div> <div style="margin-right: 10px;">115.0</div> <div>115.1 (m)</div> </div> |

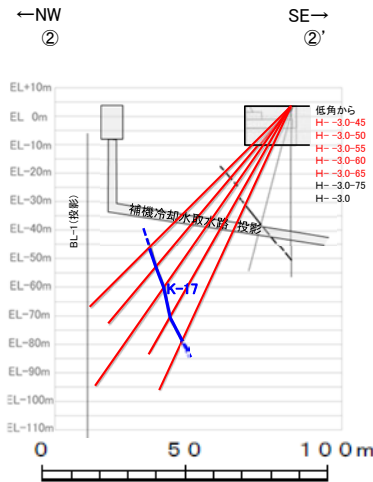


平面図

凡 例

- 鉛直ボーリング孔
- 斜めボーリング孔
- K-17確認ボーリング孔
- 基礎掘削面
- K-17(破線はさらに延長する可能性のある箇所)
- K-17以外の断層(破線はさらに延長する可能性のある箇所)
- 断層延長部の露岩域で断層が認められないことを確認したもの
- 断層端部を確認していないもの
- K+○ (海岸部 EL.0m)
(K-18, K-19, K-22, K-25, K-26については地表付近まで連続しないため記載していない)

矢印(▲)の向きは断層の傾斜方向を示す



②-②' 断面図

凡 例

- K-17(主部を太線で表記)
(破線はさらに延長する可能性のある箇所)
 - K-17以外の断層(主部を太線で表記)
(破線はさらに延長する可能性のある箇所)
 - K-17確認ボーリング孔
- ※ 補機冷却水取水路の構造物を断面図に投影。

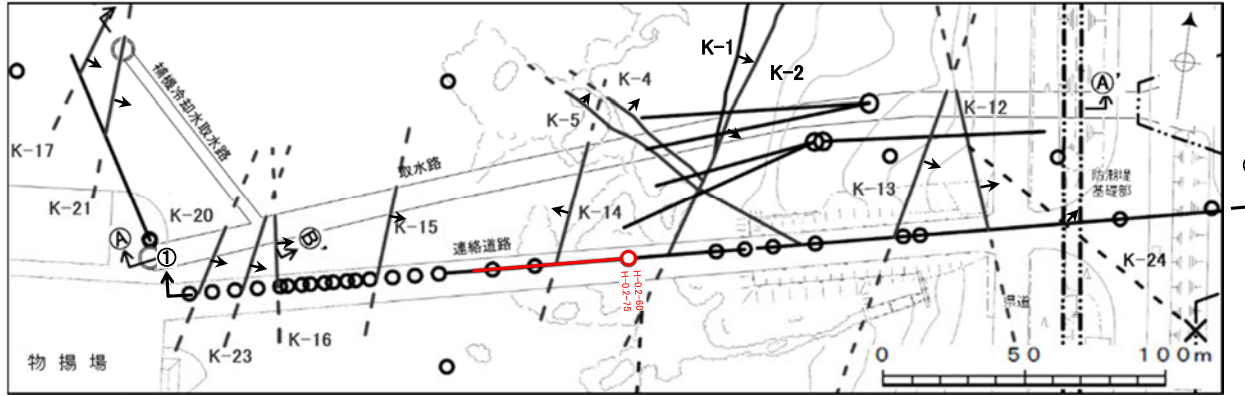
K-17の性状一覧表(1/2)

| 名称 | 孔名 | 深度(m) (標高(m)) | 走向・傾斜 (走向は真北) | 破砕部の幅 (cm) | コア写真 <div style="display: flex; justify-content: space-around; font-size: small;"> 破砕部 ① 粘土状破砕部 ③-1 固結した粘土・砂状破砕部 </div> <div style="display: flex; justify-content: space-around; font-size: small;"> ②-1 砂状破砕部 ③-2 固結した角礫状破砕部 </div> |
|------|---------------------|---------------------|------------------|---------------|---|
| K-17 | H-3.0-45 (傾斜45°) | 70.46 (EL-46.18) | N 8° E/86° SE | 13 | <div style="display: flex; align-items: center;"> <div style="margin-right: 10px;">70.1 70.2 70.3 70.4 70.5 70.6 70.7 (m)</div> </div> |
| | H-3.0-50 (傾斜50°) | 74.00 (EL-53.05) | N 5° E/70° SE | 8 | <div style="display: flex; align-items: center;"> <div style="margin-right: 10px;">73.6 73.7 73.8 73.9 74.0 74.1 74.2 (m)</div> <div style="margin-right: 10px;">掘進区切り</div> </div> |
| | | 74.26 (EL-53.25) | N30° E/82° SE | 10 | <div style="display: flex; align-items: center;"> <div style="margin-right: 10px;">74.0 74.1 74.2 74.3 74.4 74.5 74.6 (m)</div> </div> |
| | H-3.0-55 (傾斜55°) | 78.23 (EL-60.44) | N 25° E/85° SE | 14 | <div style="display: flex; align-items: center;"> <div style="margin-right: 10px;">78.0 78.1 78.2 78.3 78.4 78.5 78.6 (m)</div> </div> |

K-17の性状一覧表(2/2)

| 名称 | 孔名 | 深度(m) (標高(m)) | 走向・傾斜 (走向は真北) | 破砕部の幅 (cm)※ | コア写真 ① 粘土状破砕部 ③-1 固結した粘土・砂状破砕部 ②-1 砂状破砕部 ③-2 固結した角礫状破砕部 ②-2 角礫状破砕部 破砕部 |
|------|-----------------------|---------------------|------------------|----------------|--|
| K-17 | H- -3.0-60 (傾斜60°) | 86.07 (EL-70.90) | N 21° E/81° SE | 4 | |
| | H- -3.0-65 (傾斜65°) | 91.04 (EL-78.87) | N 2° E/77° SE | 17 | |
| | | 91.53 (EL-79.31) | N33° E/67° SE | (3) | |

※幅が3cm未満であるが、四捨五入により3cmとなるものは(3)と表記

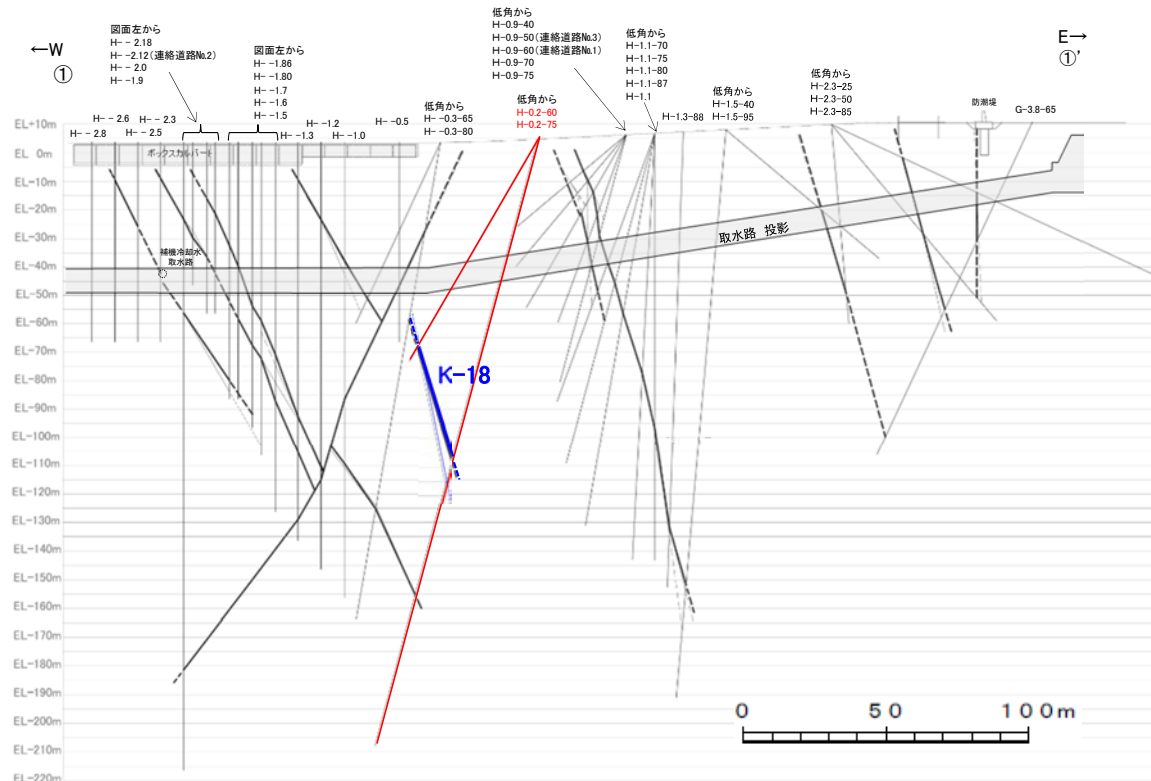


平面図

凡 例

- 鉛直ボーリング孔
- 斜めボーリング孔
- K-18確認ボーリング孔
- 基礎掘削面
- 断層(破線はさらに延長する可能性のある箇所)
- 断層延長部の露岩域で断層が認められないことを確認したもの
- 断層端部を確認していないもの
- K-○ (海岸部 EL 0m)
(K-18, K-19, K-22, K-25, K-26については地表付近まで連続しないため記載していない)

矢印(▲)の向きは断層の傾斜方向を示す



①-①' 断面図

凡 例

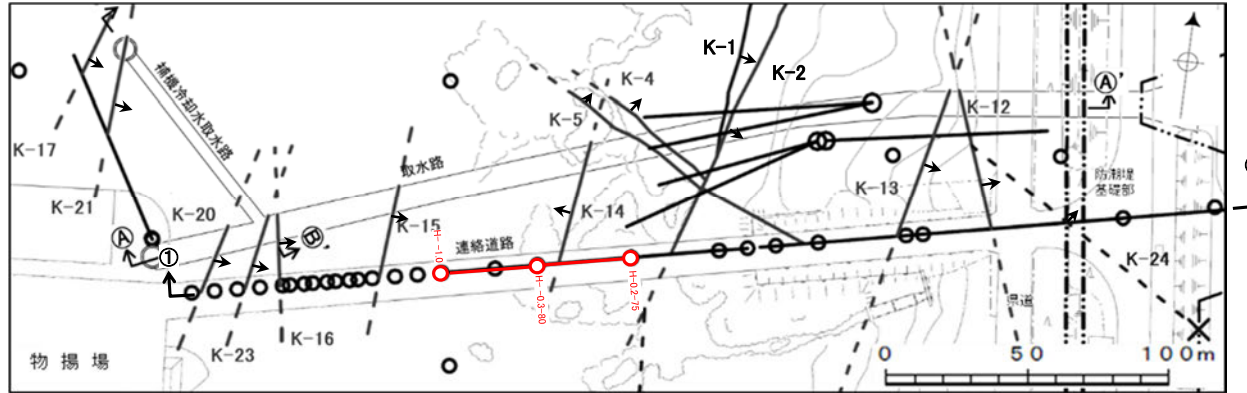
- K-18(主部を太線で表記)
(破線はさらに延長する可能性のある箇所)
 - K-18以外の断層(主部を太線で表記)
(破線はさらに延長する可能性のある箇所)
 - K-18確認ボーリング孔
- ※ 取水路の構造物を断面図に投影。

K-18の性状一覧表(1/2)

| 名称 | 孔名 | 深度(m) (標高(m)) | 走向・傾斜 (走向は真北) | 破砕部の幅 (cm) | コア写真 <div style="display: flex; justify-content: space-around; font-size: small;"> 破砕部 ① 粘土状破砕部 ③-1 固結した粘土・砂状破砕部 ③-2 固結した角礫状破砕部 </div> |
|------|---------------------|-----------------------|------------------|---------------|---|
| K-18 | H-0.2-60 (傾斜60°) | 84.35 (EL-68.32) | N 26° E/80° SE | 55 | <div style="display: flex; align-items: center;"> <div style="margin-right: 10px;">83.4</div> <div style="margin-right: 10px;">83.5</div> <div style="margin-right: 10px;">83.6</div> <div style="margin-right: 10px;">83.7</div> <div style="margin-right: 10px;">83.8</div> <div style="margin-right: 10px;">83.9</div> <div style="margin-right: 10px;">84.0 (m)</div> </div> <div style="display: flex; align-items: center;"> <div style="margin-right: 10px;">84.0</div> <div style="margin-right: 10px;">84.1</div> <div style="margin-right: 10px;">84.2</div> <div style="margin-right: 10px;">84.3</div> <div style="margin-right: 10px;">84.4</div> <div style="margin-right: 10px;">84.5</div> <div style="margin-right: 10px;">84.6 (m)</div> </div> |
| | H-0.2-75 (傾斜75°) | 116.75 (EL-108.04) | N 2° E/81° SE | 47 | <div style="display: flex; align-items: center;"> <div style="margin-right: 10px;">116.0</div> <div style="margin-right: 10px;">116.1</div> <div style="margin-right: 10px;">116.2</div> <div style="margin-right: 10px;">116.3</div> <div style="margin-right: 10px;">116.4</div> <div style="margin-right: 10px;">116.5</div> <div style="margin-right: 10px;">116.6 (m)</div> </div> <div style="display: flex; align-items: center;"> <div style="margin-right: 10px;">116.6</div> <div style="margin-right: 10px;">116.7</div> <div style="margin-right: 10px;">116.8</div> <div style="margin-right: 10px;">116.9</div> <div style="margin-right: 10px;">117.0</div> <div style="margin-right: 10px;">117.1</div> <div style="margin-right: 10px;">117.2 (m)</div> </div> |

K-18の性状一覧表(2/2)

| 名称 | 孔名 | 深度(m) (標高(m)) | 走向・傾斜 (走向は真北) | 破砕部の幅 (cm) | コア写真 <div style="display: flex; align-items: center; gap: 10px;"> 破砕部 ③-1 固結した粘土・砂状破砕部 ③-2 固結した角礫状破砕部 </div> |
|------|---------------------|-----------------------|------------------|---------------|---|
| K-18 | H-0.2-75 (傾斜75°) | 117.50 (EL-108.77) | N 1° W/82° NE | 12 | <div style="display: flex; align-items: center;"> <div style="margin-right: 10px;">117.0 117.1 117.2 117.3 117.4 117.5 117.6 (m)</div> </div> <div style="display: flex; align-items: center; margin-top: 10px;"> <div style="margin-right: 10px;">117.6 117.7 117.8 117.9 118.0 (m)</div> </div> |
| | | 125.24 (EL-116.24) | N7° E/69° SE | 2 | <div style="display: flex; align-items: center;"> <div style="margin-right: 10px;">125.0 125.1 125.2 125.3 125.4 125.5 125.6 (m)</div> </div> <div style="display: flex; align-items: center; margin-top: 10px;"> <div style="margin-right: 10px;">125.0 125.1 125.2 125.3 125.4 125.5 125.6 (m)</div> </div> |

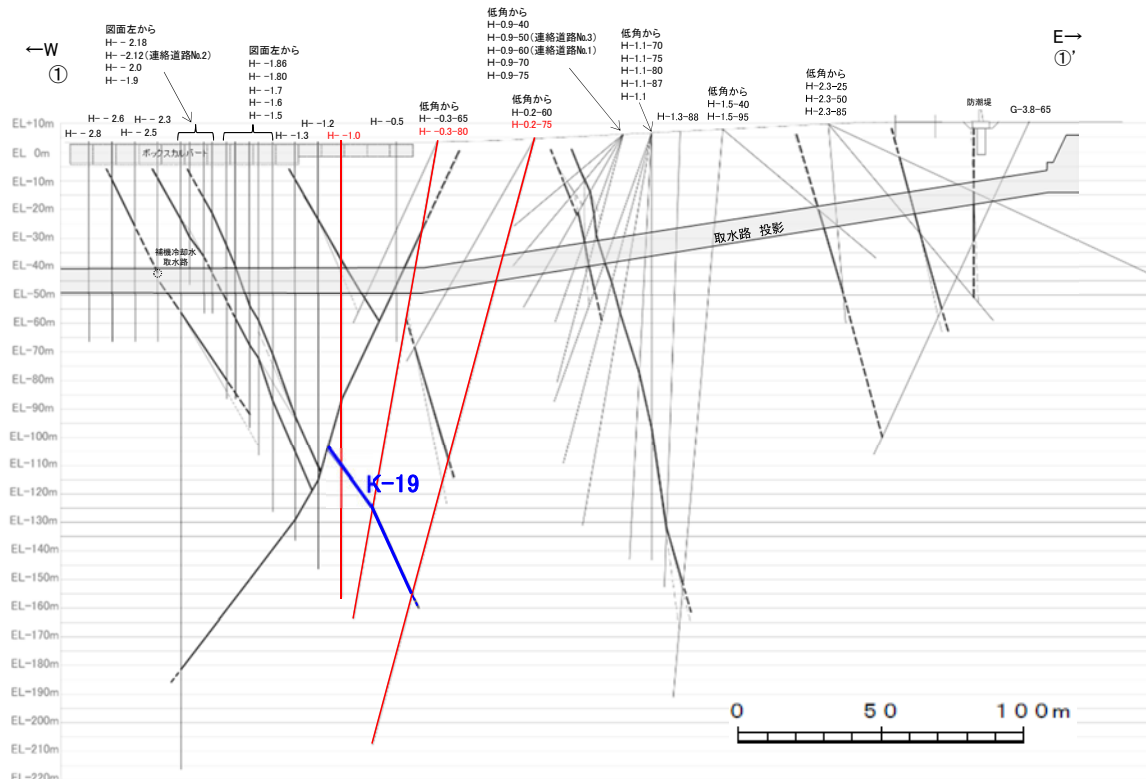


平面図

凡 例

- 鉛直ボーリング孔
- 斜めボーリング孔
- K-19確認ボーリング孔
- 基礎掘削面
- 断層(破線はさらに延長する可能性のある箇所)
- 断層延長部の露岩域で断層が認められないことを確認したもの
- 断層端部を確認していないもの
- K-O (海岸部 EL 0m)
(K-18, K-19, K-22, K-25, K-26については地表付近まで連続しないため記載していない)

矢印(▲)の向きは断層の傾斜方向を示す



①-①' 断面図


凡 例

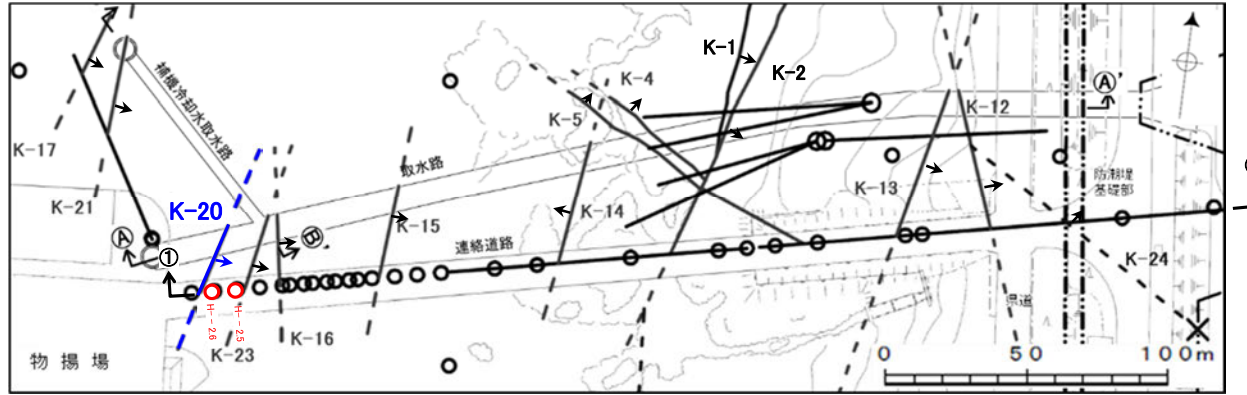
- K-19(主部を太線で表記)
(破線はさらに延長する可能性のある箇所)
 - K-19以外の断層(主部を太線で表記)
(破線はさらに延長する可能性のある箇所)
 - K-19確認ボーリング孔
- ※ 取水路の構造物を断面図に投影。

K-19の性状一覧表(1/2)

| 名称 | 孔名 | 深度(m) (標高(m)) | 走向・傾斜 (走向は真北) | 破砕部の幅 (cm) | コア写真 <div style="display: flex; justify-content: space-between; align-items: center;"> <div style="text-align: right;">破砕部</div> <div style="text-align: left;"> <p>① 粘土状破砕部 ③-1 固結した粘土・砂状破砕部</p> <p>②-2 角礫状破砕部 ③-2 固結した角礫状破砕部</p> </div> </div> |
|------|-----------------------|-----------------------|------------------|---------------|---|
| K-19 | H- -1.0 | 113.16 (EL-109.50) | N S/57° E | 5 | |
| | | 114.61 (EL-110.95) | N35° W/66° NE | 1 | |
| | H- -0.3-80 (傾斜80°) | 129.91 (EL-124.25) | N5° E/65° SE | 2 | |
| | | 130.88 (EL-125.20) | N 19° W/64° NE | 11 | |

K-19の性状一覧表(2/2)

| 名称 | 孔名 | 深度(m) (標高(m)) | 走向・傾斜 (走向は真北) | 破砕部の幅 (cm) | コア写真 <div style="float: right; text-align: right;"> ▬ 破砕部 ① 粘土状破砕部 ③-1 固結した粘土・砂状破砕部 </div> |
|------|---------------------|-----------------------|------------------|---------------|--|
| K-19 | H-0.2-75 (傾斜75°) | 165.87 (EL-155.49) | N 13° W/78° NE | 9 | <div style="display: flex; align-items: center;"> <div style="margin-right: 10px;"> 165.4 165.5 165.6 165.7 165.8 165.9 166.0 (m) </div>  </div> <div style="margin-top: 10px; text-align: right;"> ▬ 破砕部 ① 粘土状破砕部 ③-1 固結した粘土・砂状破砕部 </div> |

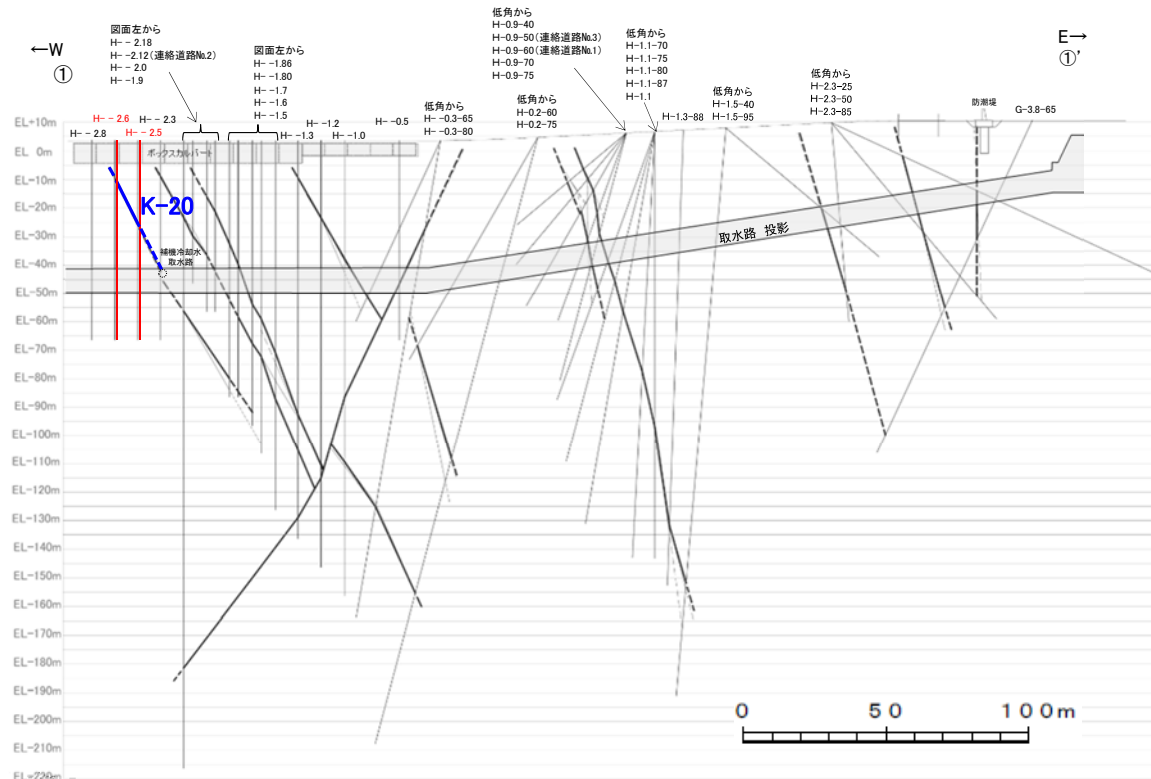


平面図

凡 例

- 鉛直ボーリング孔
- 斜めボーリング孔
- K-20確認ボーリング孔
- 基礎掘削面
- K-20(破線はさらに延長する可能性のある箇所)
- K-20以外の断層(破線はさらに延長する可能性のある箇所)
- 断層延長部の露岩域で断層が認められないことを確認したもの
- 断層端部を確認していないもの
- K+○ (海岸部 EL 0m)
(K-18, K-19, K-22, K-25, K-26については地表付近まで連続しないため記載していない)

矢印(▲)の向きは断層の傾斜方向を示す



①-①' 断面図

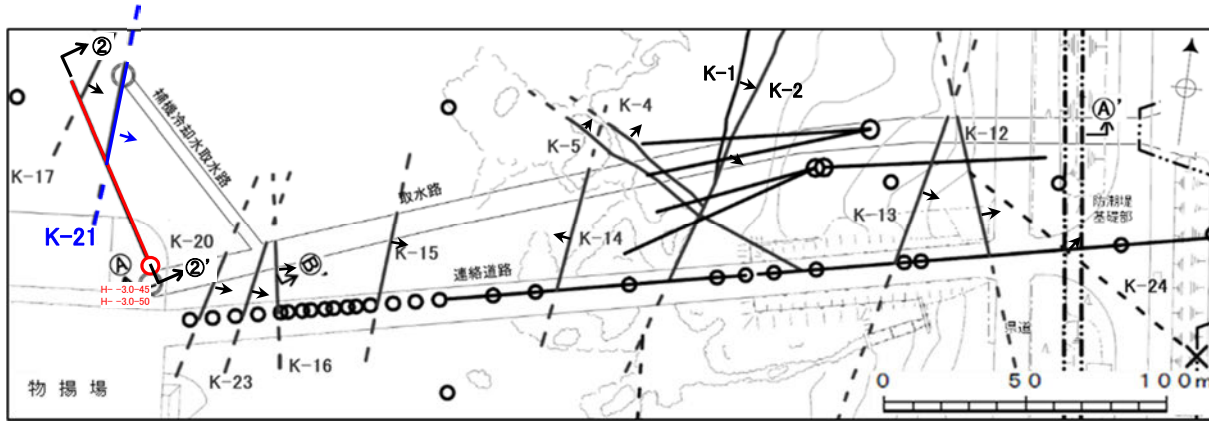
凡 例

- K-20(主部を太線で表記)
(破線はさらに延長する可能性のある箇所)
- K-20以外の断層(主部を太線で表記)
(破線はさらに延長する可能性のある箇所)
- K-20確認ボーリング孔
- ※ 取水路の構造物を断面図に投影。

K-20の性状一覧表(1/1)

| 名称 | 孔名 | 深度(m) (標高(m)) | 走向・傾斜 (走向は真北) | 破砕部の幅 (cm) | コア写真 |
|------|---------|---------------------|------------------|---------------|--|
| K-20 | H- -2.6 | 13.09 (EL-9.43) | N 3° E/65° SE | 6 | <div style="text-align: right;"> — 破砕部 ① 粘土状破砕部 ③-1 固結した粘土・砂状破砕部 ②-2 角礫状破砕部 ③-2 固結した角礫状破砕部 </div> |
| | H- -2.5 | 29.44 (EL-25.77) | N 28° E/62° SE | 5 | |

※: 第849回審査会合以降に、12.8~13.0m区間のコアを回転し、破砕部を加筆。

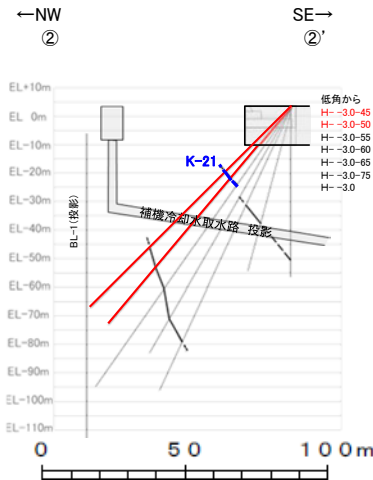


平面図

凡 例

- 鉛直ボーリング孔
- 斜めボーリング孔
- K-21確認ボーリング孔
- 基礎掘削面
- K-21(破線はさらに延長する可能性のある箇所)
- K-21以外の断層(破線はさらに延長する可能性のある箇所)
- 断層延長部の露岩域で断層が認められないことを確認したもの
- 断層端部を確認していないもの
- K-O (海岸部 EL.0m)
(K-18, K-19, K-22, K-25, K-26については地表付近まで連続しないため記載していない)

矢印(▲)の向きは断層の傾斜方向を示す



②-②' 断面図

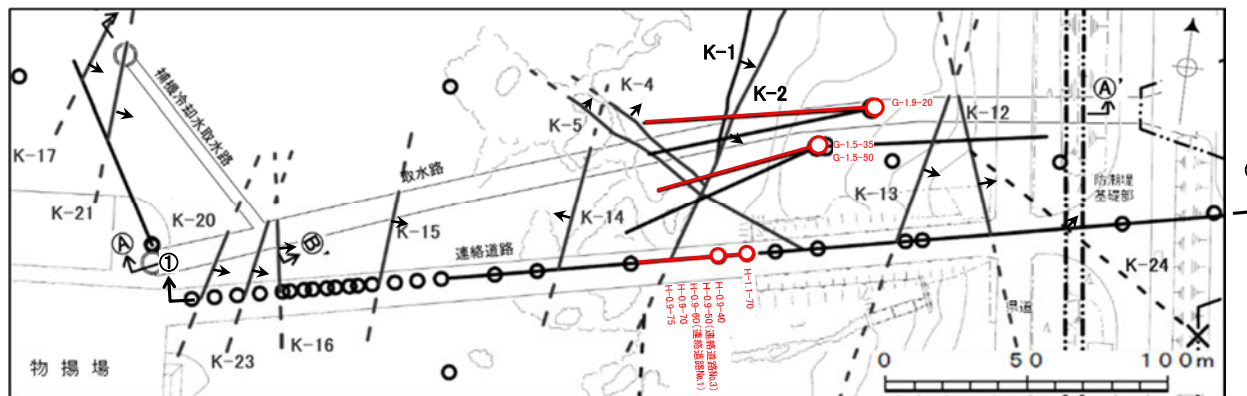
凡 例

- K-21(主部を太線で表記)
(破線はさらに延長する可能性のある箇所)
 - K-21以外の断層(主部を太線で表記)
(破線はさらに延長する可能性のある箇所)
 - K-21確認ボーリング孔
- ※ 補機冷却水取水路の構造物を断面図に投影。

K-21の性状一覧表(1/1)

| 名称 | 孔名 | 深度(m) (標高(m)) | 走向・傾斜 (走向は真北) | 破砕部の幅 (cm) | コア写真 <div style="display: flex; justify-content: space-between; align-items: center;"> <div style="text-align: center;"> <p>== 破砕部</p> <p>① 粘土状破砕部 ③-1 固結した粘土・砂状破砕部</p> <p>②-2 角礫状破砕部 ③-2 固結した角礫状破砕部</p> </div> </div> |
|------|---------------------|---------------------|------------------|---------------|---|
| K-21 | H-3.0-45 (傾斜45°) | 32.84 (EL-19.58) | N 9° E/62° SE | 3 | <div style="display: flex; justify-content: space-between; align-items: center;"> <div style="text-align: center;"> <p>32.6 32.7 32.8 32.9 33.0 33.1 33.2 (m)</p> </div> </div> |
| | H-3.0-50 (傾斜50°) | 33.37 (EL-21.92) | N S/70° E | 19 | <div style="display: flex; justify-content: space-between; align-items: center;"> <div style="text-align: center;"> <p>32.9 33.0 33.1 33.2 33.3 33.4 33.5 (m)</p> </div> </div> |

ボーリング調査 位置図(K-22)



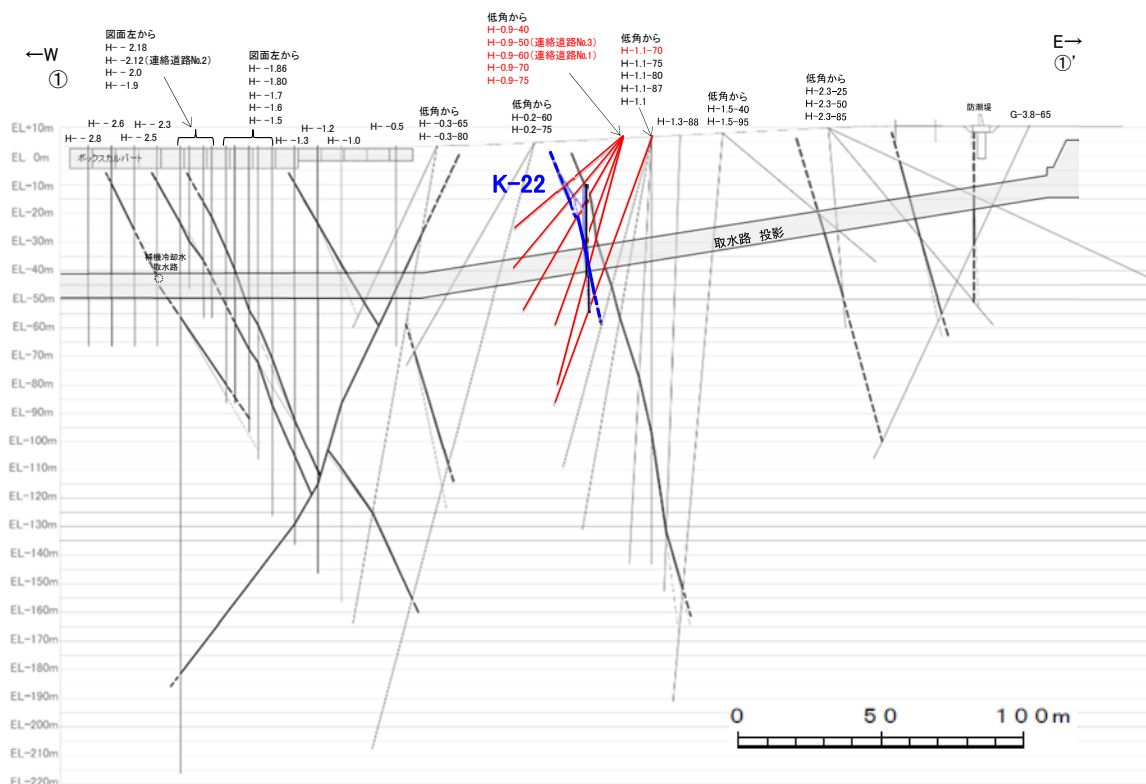
矢印(▲)の向きは断層の傾斜方向を示す

平面図

凡 例

- 鉛直ボーリング孔
- 斜めボーリング孔
- K-22確認ボーリング孔
- 基礎掘削面
- 断層(破線はさらに延長する可能性のある箇所)
- 断層延長部の露岩域で断層が認められないことを確認したもの
- 断層端部を確認していないもの
- K+○ (海岸部 EL 0m)
(K-18, K-19, K-22, K-25, K-26については地表付近まで連続しないため記載していない)

矢印(▲)の向きは断層の傾斜方向を示す



①-①' 断面図

凡 例

- K-22(主部を太線で表記)
(破線はさらに延長する可能性のある箇所)
- K-22以外の断層(主部を太線で表記)
(破線はさらに延長する可能性のある箇所)
- K-22確認ボーリング孔
- ※ 取水路の構造物を断面図に投影。

K-22の性状一覧表(1/7)

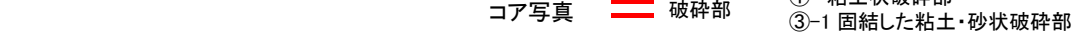
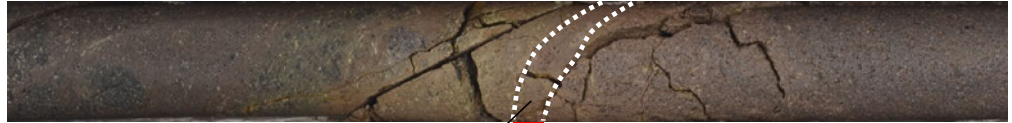


| 名称 | 孔名 | 深度(m) (標高(m)) | 走向・傾斜 (走向は真北) | 破碎部の幅 (cm) | コア写真 <div style="display: flex; justify-content: space-between; align-items: center;"> ① 粘土状破碎部 ③-1 固結した粘土・砂状破碎部 </div> |
|------|---------------------|---------------------|------------------|---------------|--|
| K-22 | H-0.9-40 (傾斜40°) | 25.68 (EL-10.24) | N2° W/57° NE | 2 | |
| | | 26.90 (EL-11.02) | N21° W/70° NE | 9 | |

K-22の性状一覧表(2/7)

| 名称 | 孔名 | 深度(m) (標高(m)) | 走向・傾斜 (走向は真北) | 破碎部の幅 (cm)※ | コア写真 | |
|------|---------------------|---------------------|------------------|----------------|----------|------------------------------------|
| | | | | | ① 粘土状破碎部 | ③-1 固結した粘土・砂状破碎部 ③-2 固結した角礫状破碎部 |
| K-22 | H-0.9-50 (傾斜50°) | 26.52 (EL-14.05) | N 13° E/69° SE | 1 | | |
| | | 26.75 (EL-14.22) | N 1° E/56° SE | (3) | | |
| | | 29.00 (EL-15.95) | N 19° W/68° NE | 11 | | |


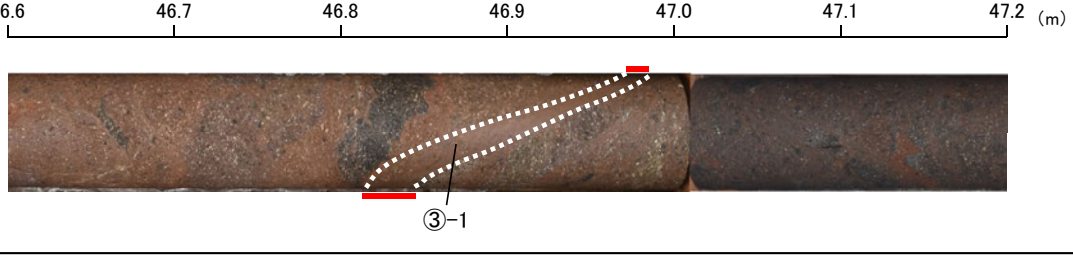
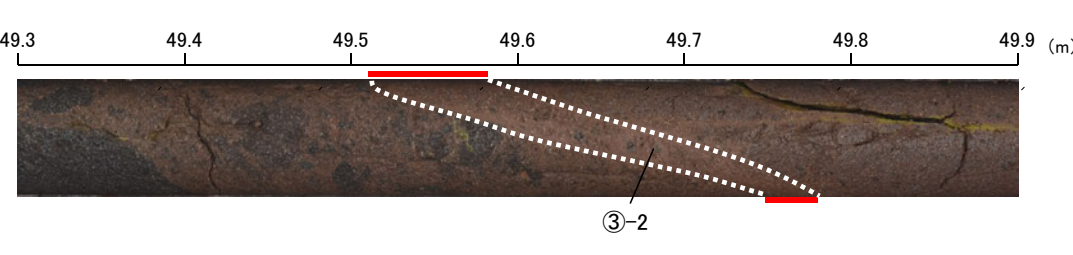
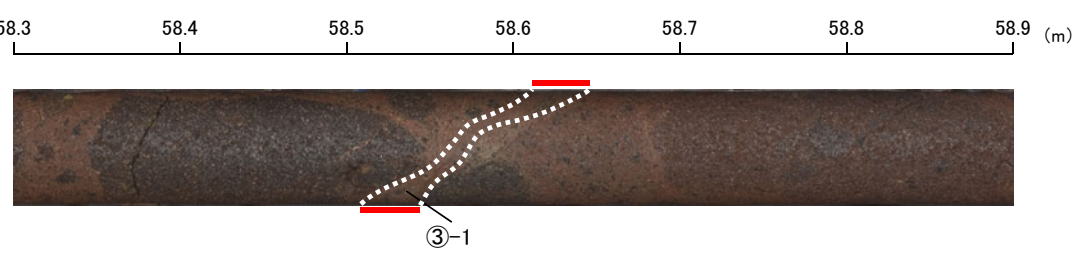
※幅が3cm未満であるが、四捨五入により3cmとなるものは(3)と表記

K-22の性状一覧表(3/7)

| 名称 | 孔名 | 深度(m) (標高(m)) | 走向・傾斜 (走向は真北) | 破碎部の幅 (cm)※ | コア写真  ① 粘土状破碎部 ③-1 固結した粘土・砂状破碎部 |
|------|---------------------|---------------------|------------------|----------------|--|
| K-22 | H-0.9-60 (傾斜60°) | 27.44 (EL-17.49) | N4° W/85° NE | 2 | 27.1 27.2 27.3 27.4 27.5 27.6 27.7 (m)  ③-1 |
| | | 31.58 (EL-21.08) | N16° E/74° SE | (3) | 31.3 31.4 31.5 31.6 31.7 31.8 31.9 (m)  ③-1 ① ③-1 |
| | H-0.9-70 (傾斜70°) | 39.68 (EL-31.02) | N12° W/87° NE | 2 | 39.4 39.5 39.6 39.7 39.8 39.9 40.0 (m)  ③-1 |

※幅が3cm未満であるが、四捨五入により3cmとなるものは(3)と表記

K-22の性状一覧表(4/7)

| 名称 | 孔名 | 深度(m) (標高(m)) | 走向・傾斜 (走向は真北) | 破砕部の幅 (cm)※ | コア写真  破砕部 ③-1 固結した粘土・砂状破砕部 ③-2 固結した角礫状破砕部 |
|------|---------------------|---------------------|------------------|----------------|---|
| K-22 | H-0.9-75 (傾斜75°) | 46.91 (EL-39.04) | N12° E/79° SE | 2 |  |
| | | 49.65 (EL-41.69) | N 10° E/89° SE | 2 |  |
| | H-1.1-70 (傾斜70°) | 58.59 (EL-48.28) | N 7° E/77° SE | (3) |  |

※幅が3cm未満であるが、四捨五入により3cmとなるものは(3)と表記

K-22の性状一覧表(5/7)

| 名称 | 孔名 | 確認深度(m) (標高(m)) | 走向・傾斜 (走向は真北) | 破碎部の幅 (cm) | コア写真 <div style="display: flex; align-items: center; justify-content: center;"> — 破碎部 <div style="margin-left: 20px;"> ③-1 固結した粘土・砂状破碎部 ③-2 固結した角礫状破碎部 </div> </div> |
|------|---------------------|---------------------|------------------|---------------|---|
| K-22 | G-1.5-35 (傾斜35°) | 64.79 (EL-32.67) | N S/67° E | 1 | |
| | | 65.18 (EL-32.90) | N21° W/79° NE | 9 | |
| | G-1.5-50 (傾斜50°) | 71.27 (EL-50.11) | N 21° W/76° NE | 11 | |

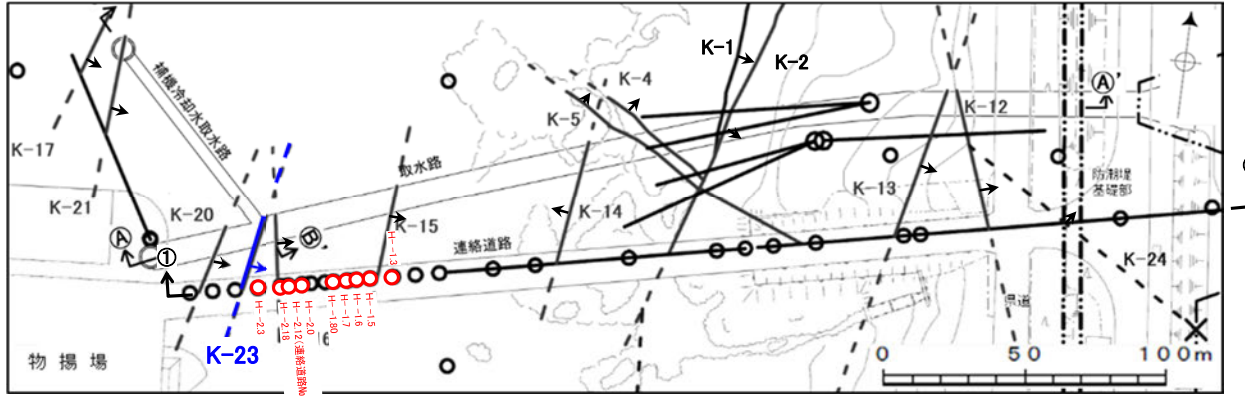
K-22の性状一覧表(6/7)

| 名称 | 孔名 | 深度(m) (標高(m)) | 走向・傾斜 (走向は真北) | 破碎部の幅 (cm) | コア写真 — 破碎部 ③-1 固結した粘土・砂状破碎部 |
|------|---------------------|---------------------|------------------|---------------|--|
| K-22 | G-1.9-20 (傾斜20°) | 81.50 (EL-23.98) | N 25° W/85° NE | 4 | <p>本コアには一部、グラウト影響(白色～灰色)が認められる。</p> |
| | | 82.30 (EL-24.26) | N 12° W/81° NE | 10 | <p>本コアには一部、グラウト影響(白色～灰色)が認められる。</p> |
| | | 82.55 (EL-24.34) | N 12° W/73° NE | 5 | |

K-22の性状一覧表(7/7)

| 名称 | 孔名 | 深度(m) (標高(m)) | 走向・傾斜 (走向は真北) | 破碎部の幅 (cm) | コア写真 <div style="display: flex; justify-content: space-around; align-items: center;"> — 破碎部</div> <div style="display: flex; justify-content: space-around; align-items: center; font-size: small;"> ②-2 角礫状破碎部 ③-1 固結した粘土・砂状破碎部 </div> |
|------|---------------------|---------------------|------------------|---------------|--|
| K-22 | G-1.9-20 (傾斜20°) | 82.76 (EL-24.42) | N 21° W/54° NE | 4 | <div style="display: flex; align-items: center;"> <div style="margin-right: 10px;">82.4 82.5 82.6 82.7 82.8 82.9 83.0 (m)</div> </div> <p style="text-align: center;">③-1</p> <p style="text-align: center;">本コアには一部、グラウト影響(白色～灰色)が認められる。</p> |
| | | 83.07 (EL-24.52) | N 28° W/51° NE | 3 | <div style="display: flex; align-items: center;"> <div style="margin-right: 10px;">82.8 82.9 83.0 83.1 83.2 83.3 83.4 (m)</div> </div> <p style="text-align: center;">③-1</p> <p style="text-align: center;">本コアには一部、グラウト影響(白色～灰色)が認められる。</p> |
| | | 83.23 (EL-24.58) | N 34° W/88° SW | 5 | <div style="display: flex; align-items: center;"> <div style="margin-right: 10px;">83.0 83.1 83.2 83.3 83.4 83.5 83.6 (m)</div> </div> <p style="text-align: center;">③-1 ②-2 ③-1</p> <p style="text-align: center;">本コアには一部、グラウト影響(白色～灰色)が認められる。</p> |

ボーリング調査 位置図(K-23)

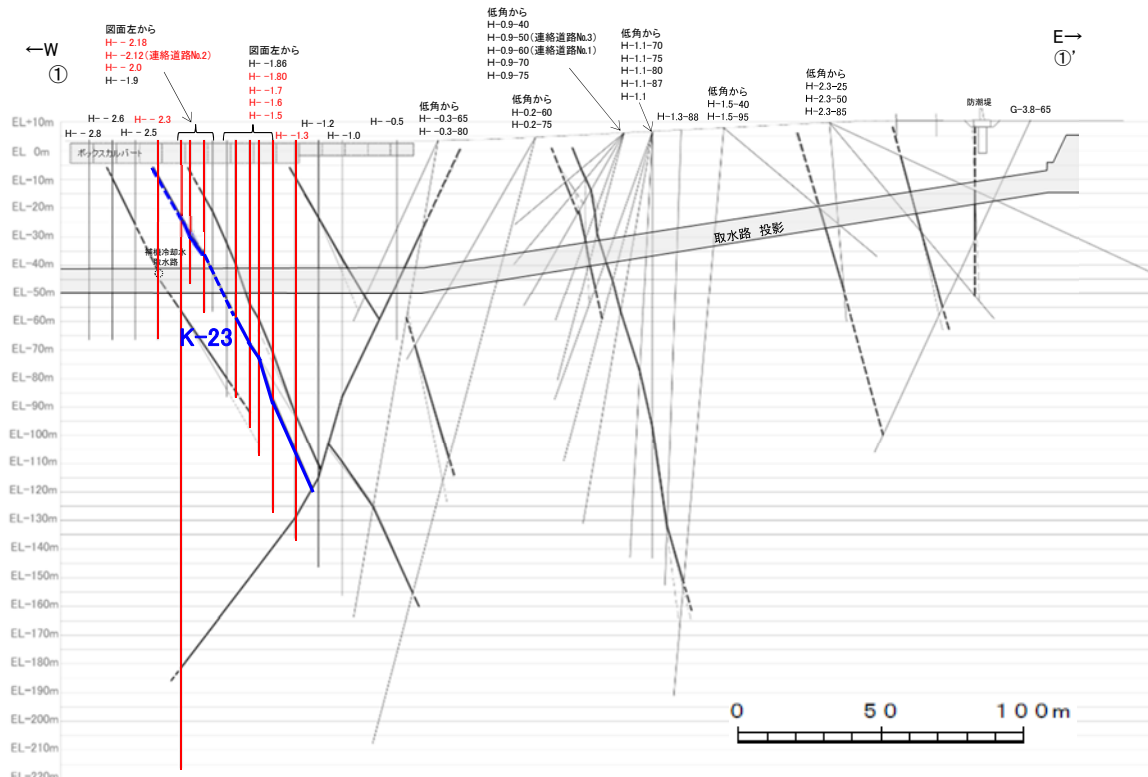


平面図

凡 例

- 鉛直ボーリング孔
- 斜めボーリング孔
- K-23確認ボーリング孔
- 基礎掘削面
- K-23(破線はさらに延長する可能性のある箇所)
- K-23以外の断層(破線はさらに延長する可能性のある箇所)
- 断層延長部の露岩域で断層が認められないことを確認したもの
- 断層端部を確認していないもの
- K+○ (海岸部 EL 0m)
(K-18, K-19, K-22, K-25, K-26については地表付近まで連続しないため記載していない)

矢印(▲)の向きは断層の傾斜方向を示す



①-①' 断面図

凡 例

- K-23(主部を太線で表記)
(破線はさらに延長する可能性のある箇所)
- K-23以外の断層(主部を太線で表記)
(破線はさらに延長する可能性のある箇所)
- K-23確認ボーリング孔
- ※ 取水路の構造物を断面図に投影。

K-23の性状一覧表(1/4)

| 名称 | 孔名 | 深度(m) (標高(m)) | 走向・傾斜 (走向は真北) | 破砕部の幅 (cm) | コア写真 <div style="display: flex; justify-content: flex-end; align-items: center; gap: 10px;"> == 破砕部 ① 粘土状破砕部 ③-1 固結した粘土・砂状破砕部 ②-2 角礫状破砕部 ③-2 固結した角礫状破砕部 </div> |
|------|----------|---------------------|------------------|---------------|--|
| K-23 | H- -2.3 | 12.21 (EL-8.54) | N 21° W/63° NE | 4 | <p style="text-align: right;">11.9 12.0 12.1 12.2 12.3 12.4 12.5 (m)</p> |
| | | 12.80 (EL-9.13) | N 15° E/55° SE | 5 | <p style="text-align: right;">12.5 12.6 12.7 12.8 12.9 13.0 13.1 (m)</p> |
| | H- -2.18 | 26.91 (EL-23.27) | N 3° W/63° NE | 6 | <p style="text-align: right;">26.6 26.7 26.8 26.9 27.0 27.1 27.2 (m)</p> <p style="text-align: right;">本コアには一部、グラウト影響(白色～灰色)が認められる。</p> |

K-23の性状一覧表(2/4)

| 名称 | 孔名 | 深度(m) (標高(m)) | 走向・傾斜 (走向は真北) | 破碎部の幅 (cm)※ | コア写真 <div style="display: flex; align-items: center;"> ■ 破碎部 ②-2 角礫状破碎部 ③-1 固結した粘土・砂状破碎部 </div> |
|------|----------|---------------------|------------------|----------------|---|
| K-23 | H- -2.12 | 30.88 (EL-27.24) | N 6° W/63° NE | 2 | <div style="display: flex; align-items: center;"> <div style="margin-right: 10px;">30.6 30.7 30.8 30.9 31.0 31.1 31.2 (m)</div> </div> <p style="text-align: right;">本コアには一部、グラウト影響(白色～灰色)が認められる。</p> |
| | | 33.27 (EL-29.63) | N 23° E/69° SE | (3) | <div style="display: flex; align-items: center;"> <div style="margin-right: 10px;">32.9 33.0 33.1 33.2 33.3 33.4 33.5 (m)</div> </div> |
| | H- -2.0 | 40.01 (EL-36.37) | N 4° E/69° SE | 5 | <div style="display: flex; align-items: center;"> <div style="margin-right: 10px;">39.4 39.5 39.6 39.7 39.8 39.9 (m)</div> </div> <div style="display: flex; align-items: center; margin-top: 10px;"> <div style="margin-right: 10px;">39.9 40.0 40.1 40.2 40.3 40.4 (m)</div> </div> |

※幅が3cm未満であるが、四捨五入により3cmとなるものは(3)と表記

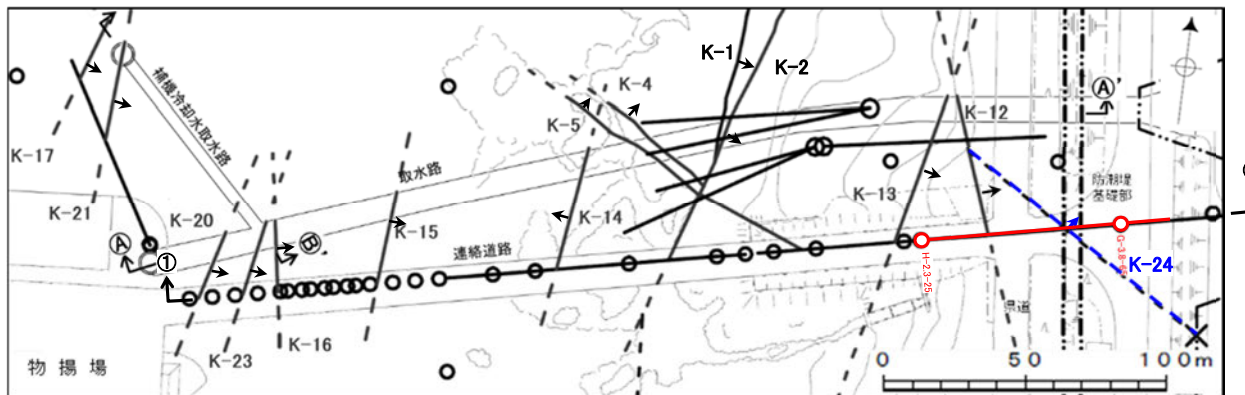
K-23の性状一覧表(3/4)

| 名称 | 孔名 | 深度(m) (標高(m)) | 走向・傾斜 (走向は真北) | 破砕部の幅 (cm) | コア写真 <div style="display: flex; justify-content: space-between; align-items: center;"> — 破砕部</div> <div style="display: flex; justify-content: space-between; align-items: center;"> ① 粘土状破砕部 ③-1 固結した粘土・砂状破砕部 </div> <div style="display: flex; justify-content: space-between; align-items: center;"> ②-2 角礫状破砕部 ③-2 固結した角礫状破砕部 </div> |
|------|----------|---------------------|------------------|---------------|--|
| K-23 | H- -1.80 | 61.95 (EL-58.31) | N 15° E/73° SE | 9 | <div style="display: flex; align-items: center;"> <div style="margin-right: 10px;">61.6</div> <div style="margin-right: 10px;">61.7</div> <div style="margin-right: 10px;">61.8</div> <div style="margin-right: 10px;">61.9</div> <div style="margin-right: 10px;">62.0</div> <div style="margin-right: 10px;">62.1</div> <div style="margin-right: 10px;">62.2 (m)</div> </div> |
| | H- -1.7 | 71.32 (EL-67.68) | N 13° E/72° SE | 2 | <div style="display: flex; align-items: center;"> <div style="margin-right: 10px;">71.1</div> <div style="margin-right: 10px;">71.2</div> <div style="margin-right: 10px;">71.3</div> <div style="margin-right: 10px;">71.4</div> <div style="margin-right: 10px;">71.5</div> <div style="margin-right: 10px;">71.6</div> <div style="margin-right: 10px;">71.7 (m)</div> </div> |
| | H- -1.6 | 75.67 (EL-72.03) | N 4° E/65° SE | 17 | <div style="display: flex; align-items: center;"> <div style="margin-right: 10px;">75.6</div> <div style="margin-right: 10px;">75.7</div> <div style="margin-right: 10px;">75.8</div> <div style="margin-right: 10px;">75.9</div> <div style="margin-right: 10px;">76.0</div> <div style="margin-right: 10px;">76.1 (m)</div> </div> |

K-23の性状一覧表(4/4)

| 名称 | 孔名 | 深度(m) (標高(m)) | 走向・傾斜 (走向は真北) | 破砕部の幅 (cm) | コア写真 <div style="display: flex; justify-content: space-around; align-items: center;"> <div style="text-align: center;">  破砕部 </div> <div style="text-align: center;">  ① 粘土状破砕部 </div> <div style="text-align: center;">  ③-1 固結した粘土・砂状破砕部 </div> <div style="text-align: center;">  ③-2 固結した角礫状破砕部 </div> </div> |
|------|-------|-----------------------|------------------|---------------|--|
| K-23 | H-1.5 | 90.60 (EL-86.96) | N 30° E/74° SE | 9 | <div style="display: flex; align-items: center;"> <div style="margin-right: 10px;">90.2</div> <div style="margin-right: 10px;">90.3</div> <div style="margin-right: 10px;">90.4</div> <div style="margin-right: 10px;">90.5</div> <div style="margin-right: 10px;">90.6</div> <div style="margin-right: 10px;">90.7</div> <div style="margin-right: 10px;">90.8 (m)</div> </div>  <div style="display: flex; justify-content: flex-end; margin-top: 5px;"> <div style="margin-right: 20px;">①</div> <div>③-1</div> </div> |
| | H-1.3 | 108.99 (EL-105.30) | N 29° E/60° SE | 14 | <div style="display: flex; align-items: center;"> <div style="margin-right: 10px;">90.8</div> <div style="margin-right: 10px;">90.9</div> <div style="margin-right: 10px;">91.0</div> <div style="margin-right: 10px;">91.1</div> <div style="margin-right: 10px;">91.2</div> <div style="margin-right: 10px;">91.3 (m)</div> </div>  <div style="display: flex; justify-content: flex-end; margin-top: 5px;"> <div>③-1</div> </div> |
| | | | | | <div style="display: flex; align-items: center;"> <div style="margin-right: 10px;">108.6</div> <div style="margin-right: 10px;">108.7</div> <div style="margin-right: 10px;">108.8</div> <div style="margin-right: 10px;">108.9</div> <div style="margin-right: 10px;">109.0</div> <div style="margin-right: 10px;">109.1</div> <div style="margin-right: 10px;">109.2 (m)</div> </div>  <div style="display: flex; justify-content: flex-end; margin-top: 5px;"> <div style="margin-right: 20px;">③-2</div> <div style="margin-right: 20px;">③-1</div> <div>③-2</div> </div> |

ボーリング調査 位置図(K-24)

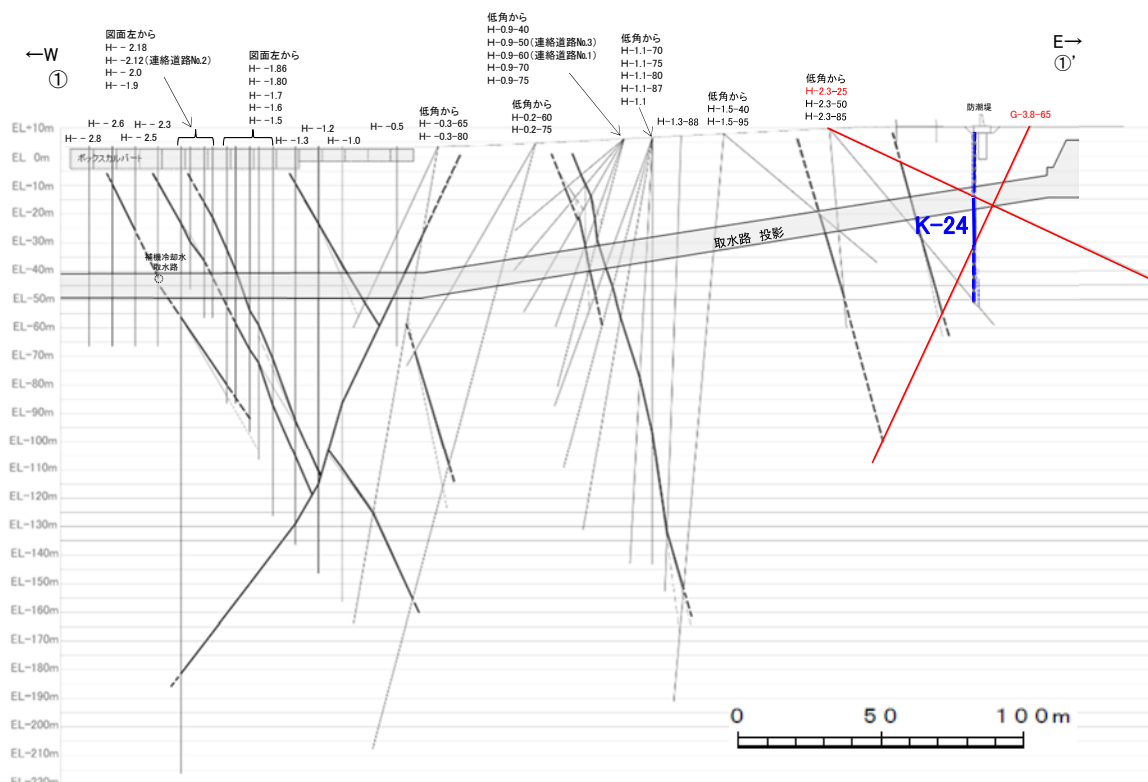


平面図

凡 例

- 鉛直ボーリング孔
- 斜めボーリング孔
- K-24確認ボーリング孔
- 基礎掘削面
- K-24(破線はさらに延長する可能性のある箇所)
- K-24以外の断層(破線はさらに延長する可能性のある箇所)
- 断層延長部の露岩域で断層が認められないことを確認したもの
- 断層端部を確認していないもの
- K+○ (海岸部 EL 0m)
(K-18, K-19, K-22, K-25, K-26については地表付近まで連続しないため記載していない)

矢印(▲)の向きは断層の傾斜方向を示す



①-①' 断面図

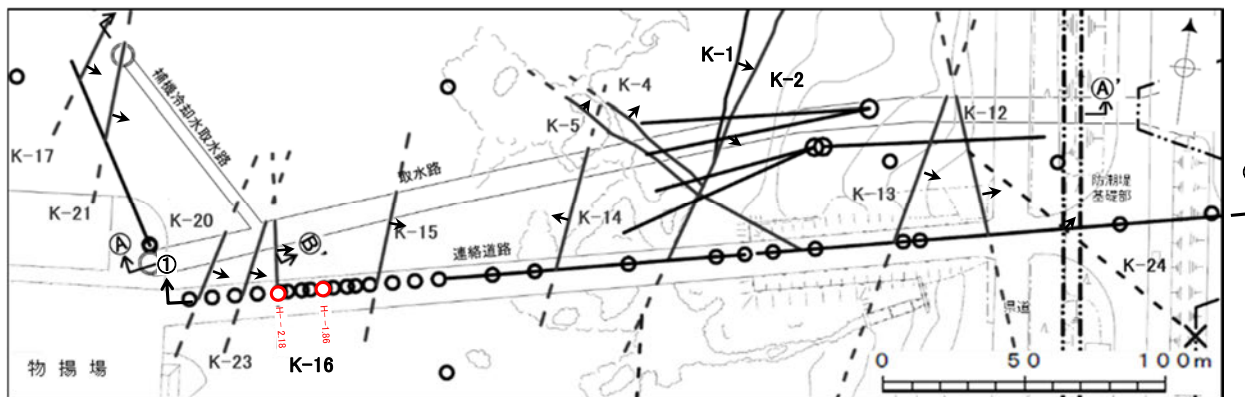
凡 例

- K-24(主部を太線で表記)
(破線はさらに延長する可能性のある箇所)
 - K-24以外の断層(主部を太線で表記)
(破線はさらに延長する可能性のある箇所)
 - K-24確認ボーリング孔
- ※ 取水路の構造物を断面図に投影。

K-24の性状一覧表(1/1)

| 名称 | 孔名 | 深度(m) (標高(m)) | 走向・傾斜 (走向は真北) | 破砕部の幅 (cm) | コア写真 <div style="display: flex; align-items: center; gap: 10px;"> — 破砕部 ②-1 砂状破砕部 ③-1 固結した粘土・砂状破砕部 </div> |
|------|---------------------|---------------------|------------------|---------------|---|
| K-24 | H-2.3-25 (傾斜25°) | 56.18 (EL-13.85) | N 61° W/86° SW | 11 | <div style="display: flex; align-items: center;"> <div style="margin-right: 10px;">55.8 55.9 56.0 56.1 56.2 56.3 56.4 (m)</div> </div> |
| | G-3.8-65 (傾斜65°) | 44.78 (EL-29.64) | N 62° W/86° NE | 4 | <div style="display: flex; align-items: center;"> <div style="margin-right: 10px;">44.4 44.5 44.6 44.7 44.8 44.9 45.0 (m)</div> </div> |
| | | 46.31 (EL-31.03) | N 52° W/87° NE | 9 | <div style="display: flex; align-items: center;"> <div style="margin-right: 10px;">46.0 46.1 46.2 46.3 46.4 46.5 46.6 (m)</div> </div> |

ボーリング調査 位置図(K-25)

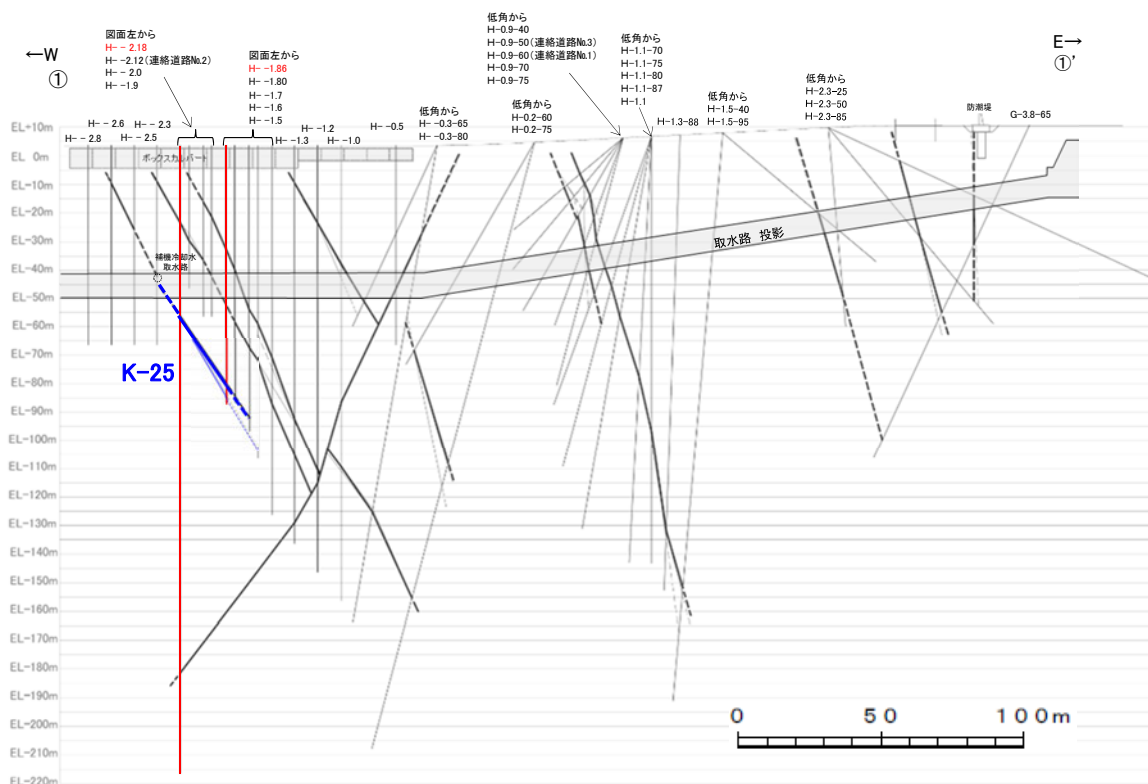


平面図

凡 例

- 鉛直ボーリング孔
- 斜めボーリング孔
- K-25確認ボーリング孔
- 基礎掘削面
- の断層(破線はさらに延長する可能性のある箇所)
- 断層延長部の露岩域で断層が認められないことを確認したもの
- 断層端部を確認していないもの
- K+○ (海岸部 EL.0m)
(K-18, K-19, K-22, K-25, K-26については地表付近まで連続しないため記載していない)

矢印(▲)の向きは断層の傾斜方向を示す



①-①' 断面図

凡 例

- K-25(主部を太線で表記)
(破線はさらに延長する可能性のある箇所)
- K-25以外の断層(主部を太線で表記)
(破線はさらに延長する可能性のある箇所)
- K-25確認ボーリング孔
- ※ 取水路の構造物を断面図に投影。

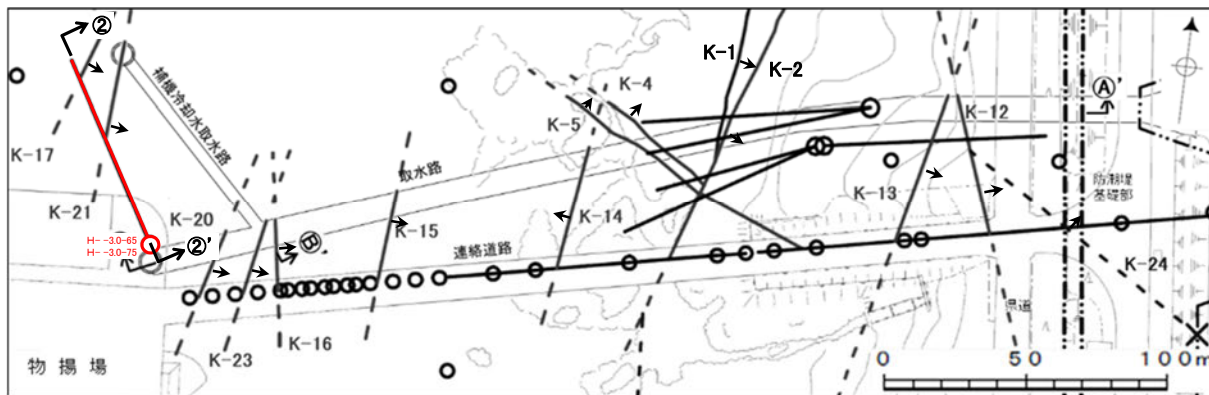
K-25の性状一覧表(1/1)

| 名称 | 孔名 | 深度(m) (標高(m)) | 走向・傾斜 (走向は真北) | 破碎部の幅 (cm)* | コア写真 <div style="display: flex; justify-content: space-around; font-size: small;"> — 破碎部 ① 粘土状破碎部 ③-1 固結した粘土・砂状破碎部 </div> <div style="display: flex; justify-content: space-around; font-size: small;"> ②-1 砂状破碎部 ③-2 固結した角礫状破碎部 </div> |
|------|----------|---|------------------|----------------|---|
| K-25 | H- -2.18 | 59.88 (EL-56.24) | N 12° W/67° NE | 20 | <div style="display: flex; justify-content: space-between; font-size: x-small;"> 59.059.159.259.359.459.559.6 (m) </div> |
| | | <div style="display: flex; justify-content: space-between; font-size: x-small;"> 59.659.759.859.960.060.160.2 (m) </div> <p style="font-size: x-small;">本コアには一部、グラウト影響(白色～灰色)が認められる。</p> | | | |
| | H- -1.86 | 83.56 (EL-79.92) | N 12° E/65° SE | (3) | <div style="display: flex; justify-content: space-between; font-size: x-small;"> 83.283.383.483.583.683.783.8 (m) </div> |
| | H- -1.86 | 87.63 (EL-83.99) | N 2° W/63° NE | 2 | <div style="display: flex; justify-content: space-between; font-size: x-small;"> 87.387.487.587.687.787.887.9 (m) </div> |

紫字:第849回審査会合以降に変更した箇所
(H- -2.18孔 破碎部区分 ③-1を③-2に修正 誤記修正)

*:幅が3cm未満であるが、四捨五入により3cmとなるものは(3)と表記

ボーリング調査 位置図(K-26)

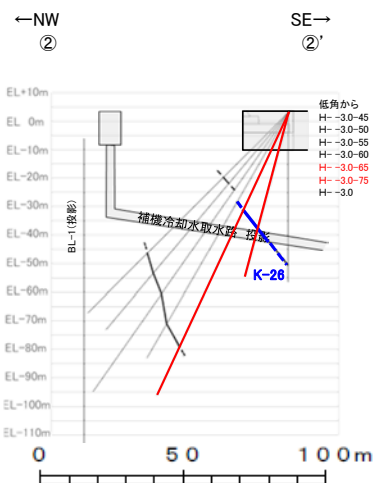


平面図

凡 例

- 鉛直ボーリング孔
- 斜めボーリング孔
- K-26確認ボーリング孔
- 基礎掘削面
- 断層(破線はさらに延長する可能性のある箇所)
- 断層延長部の露岩域で断層が認められないことを確認したもの
- 断層端部を確認していないもの
- K+○ (海岸部 EL.0m)
(K-18, K-19, K-22, K-25, K-26については地表付近まで連続しないため記載していない)

矢印(▲)の向きは断層の傾斜方向を示す



②-②' 断面図

凡 例

- K-26(主部を太線で表記)
(破線はさらに延長する可能性のある箇所)
 - K-26以外の断層(主部を太線で表記)
(破線はさらに延長する可能性のある箇所)
 - K-26確認ボーリング孔
- ※ 補機冷却水取水路の構造物を断面図に投影。

K-26の性状一覧表(1/1)

| 名称 | 孔名 | 深度(m) (標高(m)) | 走向・傾斜 (走向は真北) | 破砕部の幅 (cm) | コア写真 <div style="display: flex; justify-content: space-between; align-items: center;"> <div style="text-align: center;"> <p>破砕部</p> <p>① 粘土状破砕部</p> <p>②-2 角礫状破砕部</p> </div> <div style="text-align: center;"> <p>③-1 固結した粘土・砂状破砕部</p> <p>③-2 固結した角礫状破砕部</p> </div> </div> |
|------|---------------------|---------------------|------------------|---------------|---|
| K-26 | H-3.0-65 (傾斜65°) | 38.34 (EL-31.11) | N 25° E/71° SE | 8 | <div style="display: flex; align-items: center;"> <div style="margin-right: 10px;">38.0</div> <div style="margin-right: 10px;">38.1</div> <div style="margin-right: 10px;">38.2</div> <div style="margin-right: 10px;">38.3</div> <div style="margin-right: 10px;">38.4</div> <div style="margin-right: 10px;">38.5</div> <div style="margin-right: 10px;">38.6 (m)</div> </div> |
| | H-3.0-75 (傾斜75°) | 42.59 (EL-37.50) | N 2° E/66° SE | 10 | <div style="display: flex; align-items: center;"> <div style="margin-right: 10px;">42.2</div> <div style="margin-right: 10px;">42.3</div> <div style="margin-right: 10px;">42.4</div> <div style="margin-right: 10px;">42.5</div> <div style="margin-right: 10px;">③-1</div> <div style="margin-right: 10px;">42.6</div> <div style="margin-right: 10px;">42.7</div> <div style="margin-right: 10px;">42.8 (m)</div> </div> |

(3)取水路沿いの追加調査で確認された幅3cm以上の
破砕部(K-1～K-26以外)性状一覧表

破碎部性状一覧表(取水路 K-1～K-26以外)

■破碎部の性状の一覧表を以下に示す。

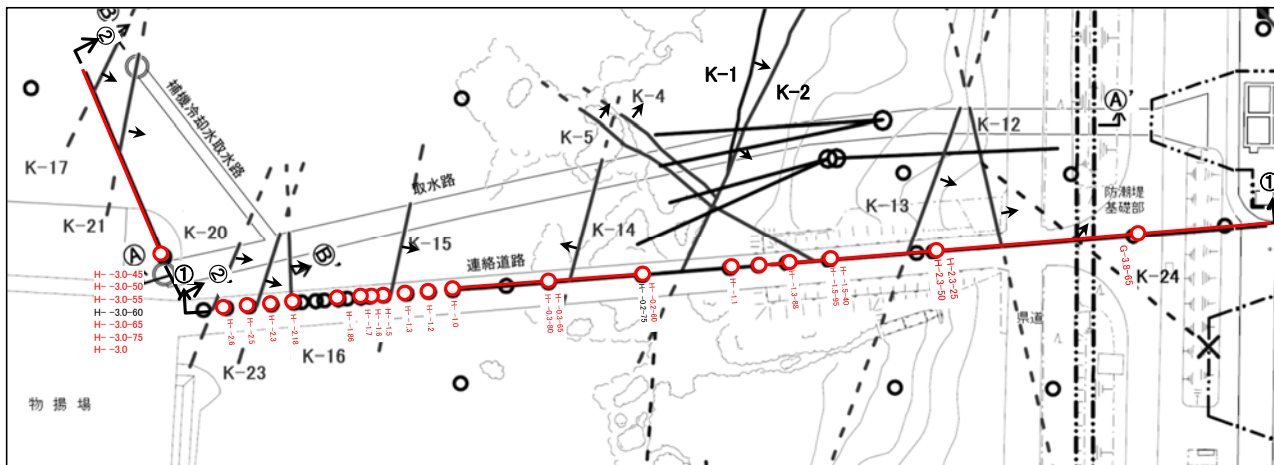
破碎部性状一覧表
(1/2)

| 孔名 | 確認深度 (m) | 標高 (m) | 走向・傾斜 (走向は真北) | 破碎部の幅 (cm) |
|------------|-------------|-----------|------------------|---------------|
| H- -3.0-45 | 83.49 | EL-55.40 | N1° W/67° NE | 5 |
| H- -3.0-50 | 24.56 | EL-15.17 | N63° W/31° NE | 22 |
| | 27.13 | EL-17.14 | N12° W/48° NE | 8 |
| H- -3.0-55 | 49.84 | EL-37.19 | N37° E/71° SE | 15 |
| H- -3.0-65 | 18.03 | EL-12.70 | N72° E/23° NW | 7 |
| | 22.01 | EL-16.31 | N1° E/68° SE | 4 |
| | 27.78 | EL-21.54 | N14° E/62° SE | 16 |
| | 88.85 | EL-76.89 | NS/60° E | 24 |
| | 89.76 | EL-77.71 | N2° W/64° NE | 4 |
| | 102.18 | EL-88.97 | N83° W/16° SW | 4 |
| H- -3.0-75 | 28.57 | EL-23.96 | N13° W/76° NE | 19 |
| | 49.98 | EL-44.64 | N30° E/54° SE | 4 |
| H- -3.0 | 34.73 | EL-31.10 | N18° E/69° SE | 4 |
| H- -2.6 | 16.38 | EL-12.72 | N38° E/41° NW | 3 |
| H- -2.5 | 18.10 | EL-14.43 | N21° E/52° SE | 10 |
| H- -2.3 | 53.63 | EL-49.96 | N28° E/71° NW | 5 |
| | 96.42 | EL-92.78 | N7° W/54° NE | 14 |
| | 96.86 | EL-93.22 | N16° W/58° NE | 11 |
| H- -2.18 | 116.51 | EL-112.87 | N20° W/59° NE | 5 |
| | 55.70 | EL-52.06 | N51° E/70° SE | 3 |
| | 59.24 | EL-55.60 | N6° E/77° NW | 4 |
| H- -1.7 | 59.24 | EL-55.60 | N6° E/77° NW | 4 |
| H- -1.6 | 102.83 | EL-99.19 | N3° W/62° NE | 4 |
| | 53.30 | EL-49.66 | N39° W/80° NE | 4 |
| H- -1.5 | 116.83 | EL-113.19 | N81° E/58° NW | 7 |
| | 121.79 | EL-118.10 | N5° E/52° SE | 6 |
| H- -1.3 | 93.90 | EL-90.26 | N16° E/77° NW | 9 |
| | 122.07 | EL-118.43 | N18° E/53° SE | 6 |

破碎部性状一覧表
(2/2)

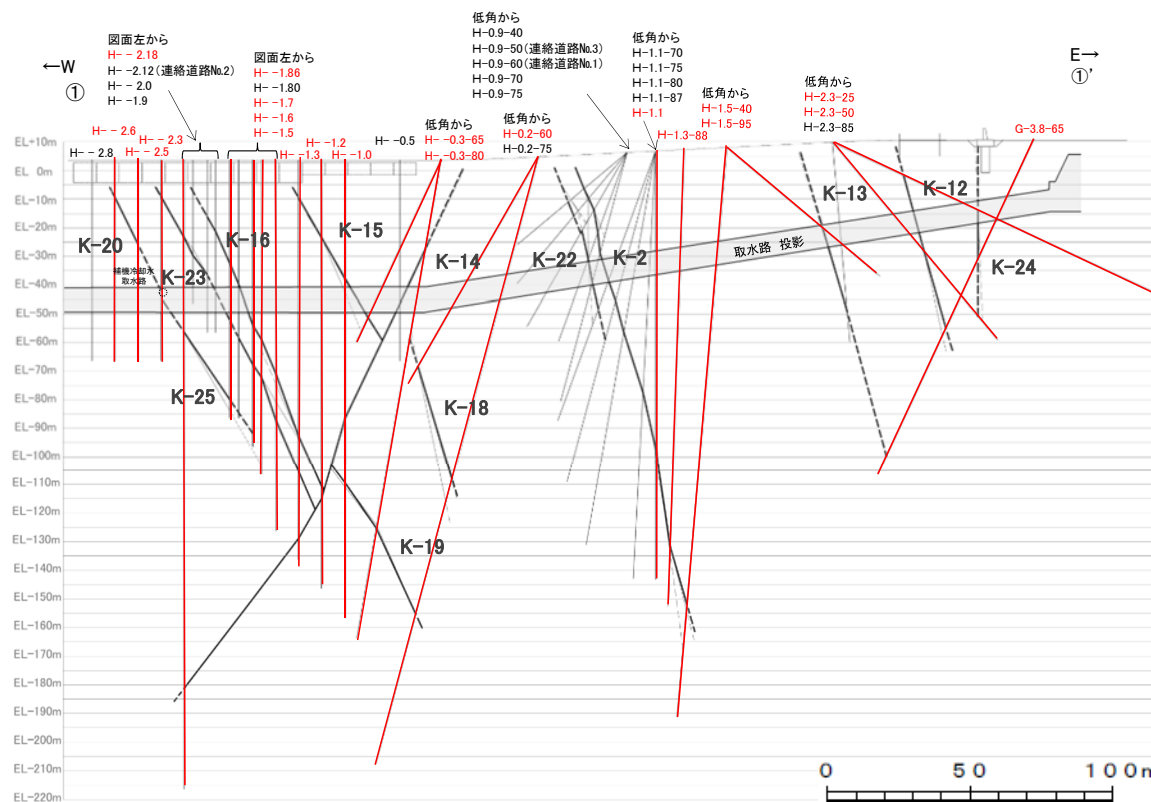
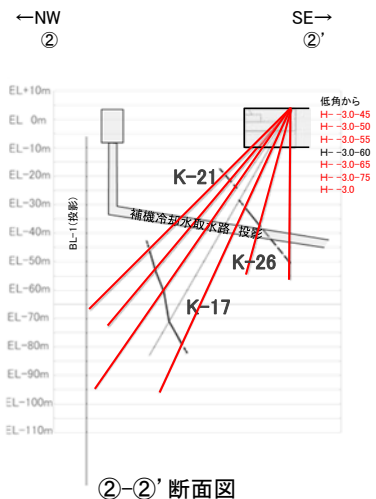
| 孔名 | 確認深度 (m) | 標高 (m) | 走向・傾斜 (走向は真北) | 破碎部の幅 (cm) |
|------------|-------------|-----------|------------------|---------------|
| H- -1.0 | 116.26 | EL-112.60 | N13° W/74° SW | 3 |
| | 116.71 | EL-113.05 | N5° E/74° NW | 4 |
| | 127.33 | EL-123.67 | N5° E/56° SE | 11 |
| H- -0.3-65 | 26.99 | EL-20.77 | N20° W/80° SW | 4 |
| H- -0.3-80 | 61.10 | EL-56.48 | N16° E/64° SE | 15 |
| | 64.42 | EL-59.75 | N11° W/82° NE | 3 |
| | 146.36 | EL-140.45 | N12° E/76° SE | 6 |
| H-0.2-60 | 22.77 | EL-14.99 | N26° W/62° NE | 10 |
| H-1.1 | 29.63 | EL-22.85 | N48° E/56° NW | 7 |
| | 27.67 | EL-20.38 | N2° E/76° SE | 10 |
| H-1.3-88 | 47.96 | EL-40.66 | N64° E/69° NW | 3 |
| | 156.84 | EL-149.47 | N49° E/57° NW | 4 |
| | 33.59 | EL-25.43 | N65° E/42° NW | 4 |
| H-1.5-95 | 105.26 | EL-96.83 | N35° W/79° NE | 5 |
| | 36.76 | EL-15.60 | N65° W/26° NE | 4 |
| H-1.5-40 | 46.48 | EL-21.85 | N30° E/63° NW | 8 |
| | 74.75 | EL-47.37 | N7° E/71° SE | 10 |
| H-2.3-50 | 36.22 | EL-5.42 | N15° W/71° NE | 6 |
| | 36.77 | EL-5.65 | N12° E/57° SE | 13 |
| | 44.19 | EL-8.79 | N34° W/89° NE | 4 |
| | 44.46 | EL-8.90 | N44° W/76° NE | 4 |
| | 105.83 | EL-34.84 | N1° E/88° NW | 5 |
| H-2.3-25 | 63.28 | EL-46.41 | N11° E/73° SE | 4 |
| | 122.66 | EL-100.23 | N20° E/57° SE | 16 |

位置図(K-1~K-26以外の破砕部)



- 凡 例
- 鉛直ボーリング孔
 - 斜めボーリング孔
 - 破砕部(K-1~K-26以外)確認ボーリング孔
 - 基礎掘削面
 - 断層(EL0m)
(破線はさらに延長する可能性のある箇所)
(K-18, K-19, K-22, K-25, K-26については地表付近まで連続しないため記載していない)

矢印(▲)の向きは断層の傾斜方向を示す



- 凡 例
- 断層(K-1~K-26)(主線を太線で表記)
(破線はさらに延長する可能性のある箇所)
 - 破砕部(K-1~K-26以外)確認ボーリング孔
- ※ 取水路の構造物を断面図に投影。

K-1～K-26以外の破砕部の性状一覧表(1/17)

| 孔名 | 深度(m) (標高(m)) | 走向・傾斜 (走向は真北) | 破砕部の幅 (cm) | コア写真 <div style="display: flex; align-items: center; gap: 10px;"> 破砕部 ③-1 固結した粘土・砂状破砕部 ③-2 固結した角礫状破砕部 </div> |
|---------------------|---------------------|------------------|---------------|--|
| H-3.0-45 (傾斜45°) | 83.49 (EL-55.40) | N 1° W/67° NE | 5 | <div style="display: flex; align-items: center; margin-bottom: 5px;"> 83.3 83.4 83.5 83.6 83.7 83.8 83.9 (m) </div> |
| H-3.0-50 (傾斜50°) | 24.56 (EL-15.17) | N 63° W/31° NE | 22 | <div style="display: flex; align-items: center; margin-bottom: 5px;"> 24.4 24.5 24.6 24.7 24.8 24.9 25.0 (m) </div> |
| | 27.13 (EL-17.14) | N 12° W/48° NE | 8 | <div style="display: flex; align-items: center; margin-bottom: 5px;"> 26.8 26.9 27.0 27.1 27.2 27.3 27.4 (m) </div> |
| H-3.0-55 (傾斜55°) | 49.84 (EL-37.19) | N 37° E/71° SE | 15 | <div style="display: flex; align-items: center; margin-bottom: 5px;"> 49.4 49.5 49.6 49.7 49.8 49.9 50.0 (m) </div> |

K-1～K-26以外の破砕部の性状一覧表(2/17)

| 孔名 | 深度(m) (標高(m)) | 走向・傾斜 (走向は真北) | 破砕部の幅 (cm) | コア写真 <div style="display: flex; justify-content: flex-end; align-items: center; margin-bottom: 5px;"> ■ 破砕部 ②-1 砂状破砕部 ③-1 固結した粘土・砂状破砕部 </div> <div style="display: flex; justify-content: flex-end; align-items: center;"> ②-2 角礫状破砕部 ③-2 固結した角礫状破砕部 </div> |
|---------------------|---------------------|------------------|---------------|--|
| H-3.0-65 (傾斜65°) | 18.03 (EL-12.70) | N 72° E/23° NW | 7 | <div style="display: flex; justify-content: space-between; margin-bottom: 5px;"> 17.717.817.918.018.118.218.3 (m) </div> |
| | 22.01 (EL-16.31) | N 1° E/68° SE | 4 | <div style="display: flex; justify-content: space-between; margin-bottom: 5px;"> 21.721.821.922.022.122.222.3 (m) </div> |
| | 27.78 (EL-21.54) | N 14° E/62° SE | 16 | <div style="display: flex; justify-content: space-between; margin-bottom: 5px;"> 27.427.527.627.727.827.928.0 (m) </div> |

K-1～K-26以外の破砕部の性状一覧表(3/17)

| 孔名 | 深度(m) (標高(m)) | 走向・傾斜 (走向は真北) | 破砕部の幅 (cm) | コア写真 <div style="display: flex; align-items: center; gap: 10px;"> — 破砕部 ②-1 砂状破砕部 ③-1 固結した粘土・砂状破砕部 </div> |
|---------------------|----------------------|------------------|---------------|---|
| H-3.0-65 (傾斜65°) | 88.85 (EL-76.89) | NS/60° E | 24 | |
| | 89.76 (EL-77.71) | N 2° W/64° NE | 4 | |
| | 102.18 (EL-88.97) | N 83° W/16° SW | 4 | |

K-1～K-26以外の破砕部の性状一覧表(4/17)

| 孔名 | 深度(m) (標高(m)) | 走向・傾斜 (走向は真北) | 破砕部の幅 (cm) | コア写真 ▬ 破砕部 ③-1 固結した粘土・砂状破砕部 |
|---------------------|---------------------|------------------|---------------|---|
| H-3.0-75 (傾斜75°) | 28.57 (EL-23.96) | N 13° W/76° NE | 19 | <p style="text-align: center;">③-1</p> |
| | 49.98 (EL-44.64) | N 30° E/54° SE | 4 | <p style="text-align: center;">③-1 本コアには一部、グラウト影響(白色～灰色)が認められる。</p> |

K-1～K-26以外の破砕部の性状一覧表(5/17)

| 孔名 | 深度(m) (標高(m)) | 走向・傾斜 (走向は真北) | 破砕部の幅 (cm) | コア写真 <div style="display: flex; align-items: center; justify-content: center;"> <div style="border-bottom: 2px solid red; width: 20px; height: 10px; margin-right: 5px;"></div> 破砕部 </div> <div style="margin-left: 20px;"> ②-1 砂状破砕部 ③-1 固結した粘土・砂状破砕部 ③-2 固結した角礫状破砕部 </div> |
|---------|---------------------|------------------|---------------|---|
| H- -3.0 | 34.73 (EL-31.10) | N 18° E/69° SE | 4 | <div style="display: flex; align-items: center; justify-content: center;"> <div style="margin-right: 10px;">34.4</div> <div style="margin-right: 10px;">34.5</div> <div style="margin-right: 10px;">34.6</div> <div style="margin-right: 10px;">34.7</div> <div style="margin-right: 10px;">34.8</div> <div style="margin-right: 10px;">34.9</div> <div style="margin-right: 10px;">35.0 (m)</div> </div> <div style="text-align: right; margin-top: 10px;"> ③-1 ②-1 ③-1 </div> |
| H- -2.6 | 16.38 (EL-12.72) | N 38° E/41° NW | 3 | <div style="display: flex; align-items: center; justify-content: center;"> <div style="margin-right: 10px;">16.0</div> <div style="margin-right: 10px;">16.1</div> <div style="margin-right: 10px;">16.2</div> <div style="margin-right: 10px;">16.3</div> <div style="margin-right: 10px;">16.4</div> <div style="margin-right: 10px;">16.5</div> <div style="margin-right: 10px;">16.6 (m)</div> </div> <div style="text-align: right; margin-top: 10px;"> ③-1 </div> <p style="text-align: right; margin-top: 10px;">本コアには一部、グラウト影響(白色～灰色)が認められる。</p> |
| H- -2.5 | 18.10 (EL-14.43) | N21° E/52° SE | 10 | <div style="display: flex; align-items: center; justify-content: center;"> <div style="margin-right: 10px;">17.7</div> <div style="margin-right: 10px;">17.8</div> <div style="margin-right: 10px;">17.9</div> <div style="margin-right: 10px;">18.0</div> <div style="margin-right: 10px;">18.1</div> <div style="margin-right: 10px;">18.2</div> <div style="margin-right: 10px;">18.3 (m)</div> </div> <div style="text-align: center; margin-bottom: 5px;">掘進区切り</div> <div style="text-align: right; margin-top: 10px;"> ③-2 ②-1 ③-1 </div> |
| H- -2.3 | 53.63 (EL-49.96) | N 28° E/71° NW | 5 | <div style="display: flex; align-items: center; justify-content: center;"> <div style="margin-right: 10px;">53.2</div> <div style="margin-right: 10px;">53.3</div> <div style="margin-right: 10px;">53.4</div> <div style="margin-right: 10px;">53.5</div> <div style="margin-right: 10px;">53.6</div> <div style="margin-right: 10px;">53.7</div> <div style="margin-right: 10px;">53.8 (m)</div> </div> <div style="text-align: right; margin-top: 10px;"> ③-1 </div> |

K-1～K-26以外の破砕部の性状一覧表(6/17)

| 孔名 | 深度(m) (標高(m)) | 走向・傾斜 (走向は真北) | 破砕部の幅 (cm) | コア写真 <div style="text-align: right;"> — 破砕部 ②-2 角礫状破砕部 ③-1 固結した粘土・砂状破砕部 ③-2 固結した角礫状破砕部 </div> |
|----------|---------------------|------------------|---------------|--|
| H- -2.18 | 96.42 (EL-92.78) | N 7° W/54° NE | 14 | <div style="text-align: right;">96.0 96.1 96.2 96.3 96.4 96.5 96.6 (m)</div> <div style="text-align: center;"> ③-2 ③-1 </div> |
| | 96.86 (EL-93.22) | N 16° W/58° NE | 11 | <div style="text-align: right;">96.5 96.6 96.7 96.8 96.9 97.0 97.1 (m)</div> <div style="text-align: center;"> ②-2 ③-1 </div> |

K-1～K-26以外の破砕部の性状一覧表(7/17)

| 孔名 | 深度(m) (標高(m)) | 走向・傾斜 (走向は真北) | 破砕部の幅 (cm) | 破砕部 コア写真 |
|----------|-----------------------|------------------|---------------|-------------|
| H- -2.18 | 116.51 (EL-112.87) | N 20° W/59° NE | 5 | |
| H- -1.86 | 55.70 (EL-52.06) | N 51° E/70° SE | 3 | |
| H- -1.7 | 59.24 (EL-55.60) | N 6° E/77° NW | 4 | |
| H- -1.6 | 102.83 (EL-99.19) | N 3° W/62° NE | 4 | |

K-1～K-26以外の破砕部の性状一覧表(8/17)

| 孔名 | 深度(m) (標高(m)) | 走向・傾斜 (走向は真北) | 破砕部の幅 (cm) | コア写真 <div style="display: flex; align-items: center; gap: 10px;"> 破砕部 ③-1 固結した粘土・砂状破砕部 ③-2 固結した角礫状破砕部 </div> |
|---------|-----------------------|------------------|---------------|---|
| H- -1.5 | 53.30 (EL-49.66) | N 39° W/80° NE | 4 | <p>52.8 52.9 53.0 53.1 53.2 53.3 (m)</p> <p>③-2 ③-1</p> |
| | 53.3 (EL-49.66) | N 39° W/80° NE | 4 | <p>53.3 53.4 53.5 53.6 53.7 53.8 53.9 (m)</p> <p>③-1</p> |
| | 116.83 (EL-113.19) | N 81° E/58° NW | 7 | <p>116.6 116.7 116.8 116.9 117.0 117.1 117.2 (m)</p> <p>③-1 ③-2</p> |
| H- -1.3 | 121.79 (EL-118.10) | N 5° E/52° SE | 6 | <p>121.4 121.5 121.6 121.7 121.8 121.9 122.0 (m)</p> <p>③-2</p> |

K-1～K-26以外の破砕部の性状一覧表(9/17)

| 孔名 | 深度(m) (標高(m)) | 走向・傾斜 (走向は真北) | 破砕部の幅 (cm) | 破砕部 コア写真 | ① 粘土状破砕部 ②-2 角礫状破砕部 ③-1 固結した粘土・砂状破砕部 ③-2 固結した角礫状破砕部 |
|---------|-----------------------|------------------|---------------|-------------|--|
| H- -1.2 | 93.90 (EL-90.26) | N 16° E/77° NW | 9 | | |
| | 122.07 (EL-118.43) | N 18° E/53° SE | 6 | | |

K-1～K-26以外の破砕部の性状一覧表(10/17)

| 孔名 | 深度(m) (標高(m)) | 走向・傾斜 (走向は真北) | 破砕部の幅 (cm) | 破砕部 コア写真 |
|--------|-----------------------|------------------|---------------|--|
| H--1.0 | 116.26 (EL-112.60) | N 13° W/74° SW | 3 | <p>115.7 115.8 115.9 116.0 116.1 116.2 116.3 (m)</p> <p>① 粘土状破砕部 ③-1 固結した粘土・砂状破砕部 ②-1 砂状破砕部 ③-2 固結した角礫状破砕部</p> |
| | 116.71 (EL-113.05) | N 5° E/74° NW | 4 | <p>116.3 116.4 116.5 116.6 116.7 116.8 116.9 (m)</p> <p>③-1 ①</p> |
| | 127.33 (EL-123.67) | N 5° E/56° SE | 11 | <p>126.9 127.0 127.1 127.2 127.3 127.4 127.5 (m)</p> <p>③-2 ③-1 ②-1 ③-1</p> |

K-1～K-26以外の破砕部の性状一覧表(11/17)

| 孔名 | 深度(m) (標高(m)) | 走向・傾斜 (走向は真北) | 破砕部の幅 (cm) | コア写真 <div style="display: flex; align-items: center; gap: 10px;"> — 破砕部 <ul style="list-style-type: none"> ②-1 砂状破砕部 ③-1 固結した粘土・砂状破砕部 ③-2 固結した角礫状破砕部 </div> |
|-----------------------|---------------------|------------------|---------------|--|
| H- -0.3-65 (傾斜65°) | 26.99 (EL-20.77) | N 20° W/80° SW | 4 | |
| H- -0.3-80 (傾斜80°) | 61.10 (EL-56.48) | N 16° E/64° SE | 15 | |
| | 64.42 (EL-59.75) | N 11° W/82° NE | 3 | |

K-1～K-26以外の破砕部の性状一覧表(12/17)

| 孔名 | 深度(m) (標高(m)) | 走向・傾斜 (走向は真北) | 破砕部の幅 (cm) | コア写真 <div style="display: flex; align-items: center; justify-content: center; gap: 10px;"> ▬ 破砕部 ③-1 固結した粘土・砂状破砕部 ③-2 固結した角礫状破砕部 </div> |
|---------------------|-----------------------|------------------|---------------|--|
| H-0.3-80 (傾斜80°) | 146.36 (EL-140.45) | N 12° E/76° SE | 6 | <div style="display: flex; align-items: center; justify-content: center;"> <div style="margin-right: 10px;">146.0 146.1 146.2 146.3 146.4 146.5 146.6 (m)</div> </div> |
| H-0.2-60 (傾斜60°) | 22.77 (EL-14.99) | N 26° W/62° NE | 10 | <div style="display: flex; align-items: center; justify-content: center;"> <div style="margin-right: 10px;">22.4 22.5 22.6 22.7 22.8 22.9 23.0 (m)</div> </div> |
| H-1.1 | 29.63 (EL-22.85) | N 48° E/56° NW | 7 | <div style="display: flex; align-items: center; justify-content: center;"> <div style="margin-right: 10px;">29.5 29.6 29.7 29.8 29.9 30.0 (m)</div> </div> |

K-1～K-26以外の破砕部の性状一覧表(13/17)

| 孔名 | 深度(m) (標高(m)) | 走向・傾斜 (走向は真北) | 破砕部の幅 (cm) | コア写真 <div style="display: flex; align-items: center; justify-content: flex-end;"> ▬ 破砕部 <ul style="list-style-type: none"> ②-1 砂状破砕部 ③-1 固結した粘土・砂状破砕部 ③-2 固結した角礫状破砕部 </div> |
|---------------------|-----------------------|------------------|---------------|---|
| H-1.3-88 (傾斜88°) | 27.67 (EL-20.38) | N 2° E/76° SE | 10 | |
| | 47.96 (EL-40.66) | N 64° E/69° NW | 3 | |
| | 156.84 (EL-149.47) | N 49° E/57° NW | 4 | |

K-1～K-26以外の破砕部の性状一覧表(14/17)

| 孔名 | 深度(m) (標高(m)) | 走向・傾斜 (走向は真北) | 破砕部の幅 (cm) | コア写真 <div style="display: flex; align-items: center; justify-content: center;"> — 破砕部 <div style="margin-left: 20px;"> ① 粘土状破砕部 ③-1 固結した粘土・砂状破砕部 </div> </div> |
|---------------------|----------------------|------------------|---------------|---|
| H-1.5-95 (傾斜85°) | 33.59 (EL-25.43) | N 65° E/42° NW | 4 | |
| | 105.26 (EL-96.83) | N 35° W/79° NE | 5 | |

K-1～K-26以外の破砕部の性状一覧表(15/17)

| 孔名 | 深度(m) (標高(m)) | 走向・傾斜 (走向は真北) | 破砕部の幅 (cm) | コア写真 — 破砕部 ③-1 固結した粘土・砂状破砕部 |
|---------------------|---------------------|------------------|---------------|--|
| H-1.5-40 (傾斜40°) | 36.76 (EL-15.60) | N 65° W/26° NE | 4 | |
| | 46.48 (EL-21.85) | N 30° E/63° NW | 8 | |
| H-2.3-50 (傾斜50°) | 74.75 (EL-47.37) | N 7° E/71° SE | 10 | |
| | | | | |

K-1～K-26以外の破砕部の性状一覧表(16/17)

| 孔名 | 深度(m) (標高(m)) | 走向・傾斜 (走向は真北) | 破砕部の幅 (cm) | コア写真 <div style="display: flex; align-items: center; justify-content: center;"> <div style="width: 20px; height: 2px; background-color: red; margin-right: 5px;"></div> 破砕部 </div> <div style="display: flex; flex-direction: column; align-items: center; margin-left: 10px;"> <div style="font-size: 0.8em;">②-2 角礫状破砕部</div> <div style="font-size: 0.8em;">③-1 固結した粘土・砂状破砕部</div> <div style="font-size: 0.8em;">③-2 固結した角礫状破砕部</div> </div> |
|---------------------|--------------------|------------------|---------------|---|
| H-2.3-25 (傾斜25°) | 36.22 (EL-5.42) | N 15° W/71° NE | 6 | <div style="display: flex; align-items: center; margin-bottom: 5px;"> 36.0 36.1 36.2 36.3 36.4 36.5 36.6 (m) </div> |
| | 36.77 (EL-5.65) | N 12° E/57° SE | 13 | <div style="display: flex; align-items: center; margin-bottom: 5px;"> 36.4 36.5 36.6 36.7 36.8 36.9 37.0 (m) </div> |
| | 44.19 (EL-8.79) | N 34° W/89° NE | 4 | <div style="display: flex; align-items: center; margin-bottom: 5px;"> 44.0 44.1 44.2 44.3 44.4 44.5 44.6 (m) </div> |
| | 44.46 (EL-8.90) | N 44° W/76° NE | 4 | <div style="display: flex; align-items: center; margin-bottom: 5px;"> 44.0 44.1 44.2 44.3 44.4 44.5 44.6 (m) </div> |

K-1～K-26以外の破砕部の性状一覧表(17/17)

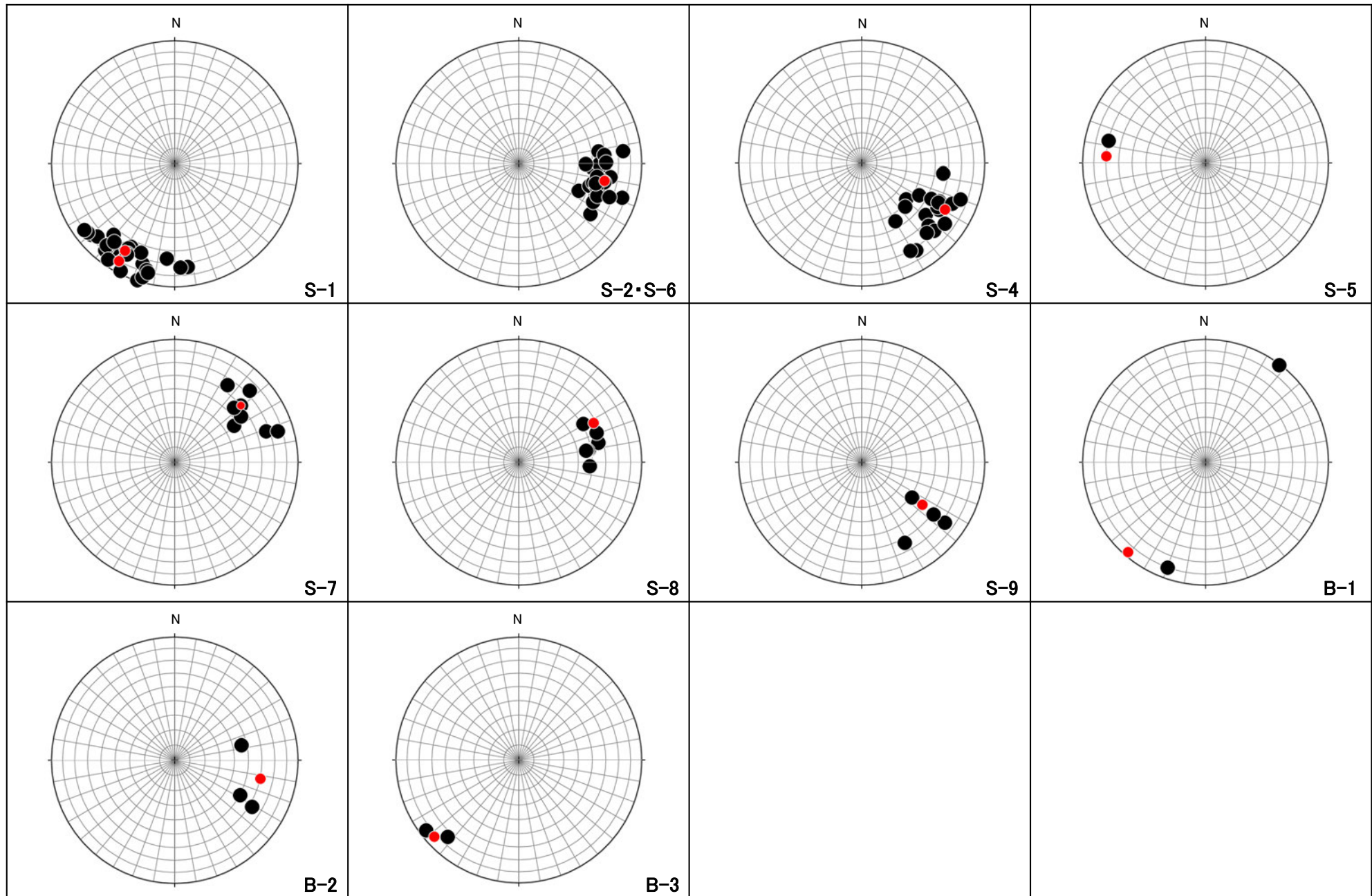
| 孔名 | 深度(m) (標高(m)) | 走向・傾斜 (走向は真北) | 破砕部の幅 (cm) | コア写真 — 破砕部 ③-1 固結した粘土・砂状破砕部 |
|---------------------|-----------------------|------------------|---------------|--|
| H-2.3-25 (傾斜25°) | 105.83 (EL-34.84) | N 1° E/88° NW | 5 | <p>105.4 105.5 105.6 105.7 105.8 105.9 106.0 (m)</p> |
| G-3.8-65 (傾斜65°) | 63.28 (EL-46.41) | N 11° E/73° SE | 4 | <p>63.1 63.2 63.3 63.4 63.5 63.6 63.7 (m)</p> |
| | 122.66 (EL-100.23) | N 20° E/57° SE | 16 | <p>122.4 122.5 122.6 122.7 122.8 122.9 123.0 (m)</p> |

余白

(4)各断層の走向・傾斜データのシュミットネットへの投影

各断層の走向・傾斜データのシュミットネットへの投影①(S-1~B-3)

■S-1~B-3の走向・傾斜の調査データ(補足資料2.4-1(1))をシュミットネット上に投影した結果を以下に示す。

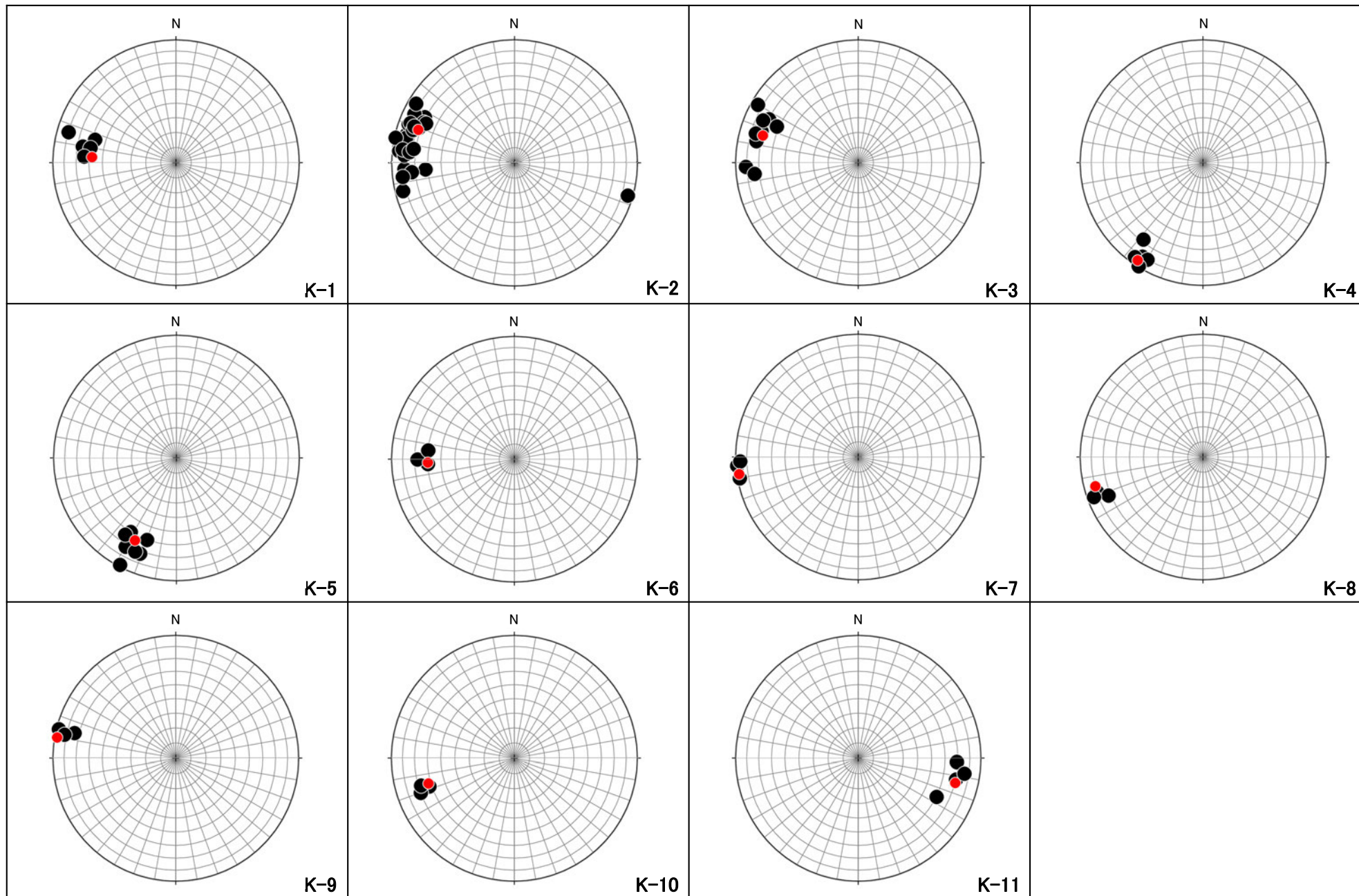


走向・傾斜データ
(シュミットネット 下半球等積投影図)

● : 走向・傾斜(各断層の調査データ)
● : 走向・傾斜(断層一覧表に示した一般走向・傾斜)

各断層の走向・傾斜データのシュミットネットへの投影②(K-1~K-11)

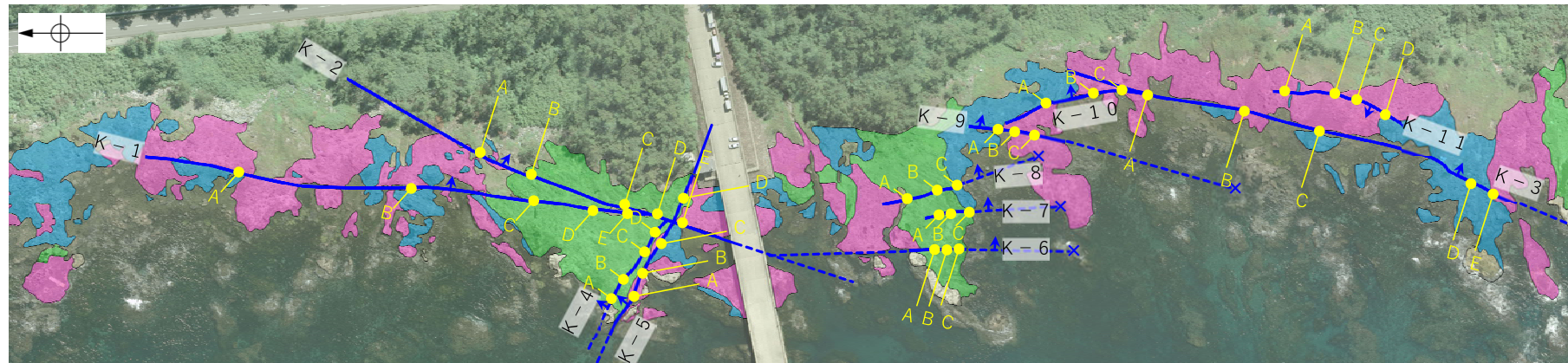
■K-1~K-11の走向・傾斜の調査データ(補足資料2.4-1(2), 次頁)をシュミットネット上に投影した結果を以下に示す。



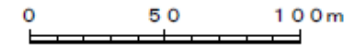
走向・傾斜データ
(シュミットネット 下半球等積投影図)

● : 走向・傾斜(各断層の調査データ)
● : 走向・傾斜(断層一覧表に示した一般走向・傾斜)

【K-1～K-11の走向・傾斜の調査データ】



調査位置図



凡例

- 穴水累層 安山岩(均質)
- 穴水累層 安山岩(角礫質)
- 穴水累層 凝灰角礫岩
- 断層(地表面)
(破線はさらに延長する可能性のある箇所)
- 断層延長部の露岩域で断層が認められないことを確認したもの
- 断層端部を確認していないもの
- 走向・傾斜確認位置
- 矢印(▲)の向きは断層の傾斜方向を示す

K-1～K-11の走向・傾斜の調査データ一覧表

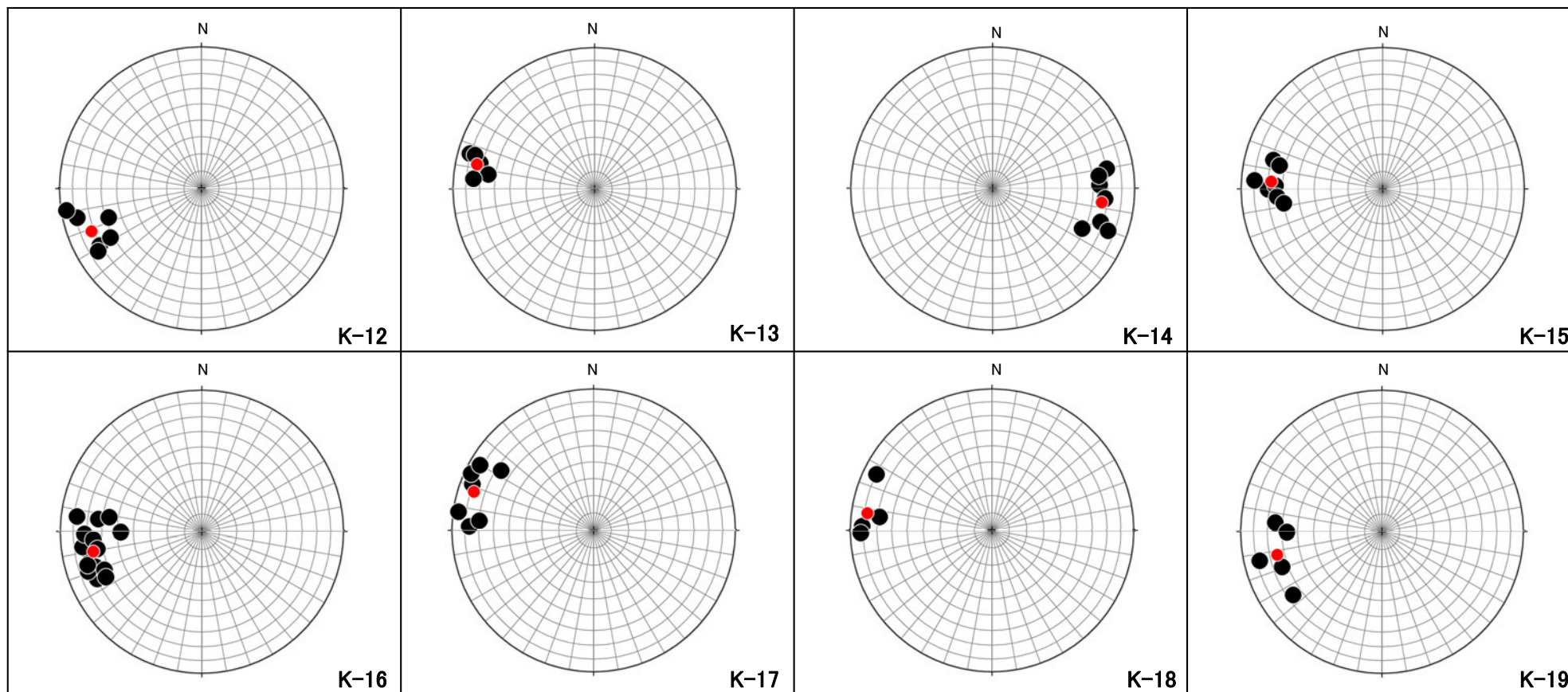
| 名称 | 調査位置 | 走向・傾斜 (走向は真北) |
|-----|------|------------------|
| K-1 | A | N16° E/80° SE |
| | B | N10° E/66° SE |
| | C | N10° E/60° SE |
| | D | N16° E/58° SE |
| | E | N4° E/64° SE |
| K-2 | A | N24° E/70° SE |
| | B | N18° E/76° SE |
| | C | N24° E/68° SE |
| | D | N20° E/76° SE |
| | E | N20° E/72° SE |
| K-3 | A | N12° E/74° SE |
| | B | N24° E/74° SE |
| | C | N16° E/76° SE |
| | D | N26° E/70° SE |
| | E | N24° E/62° SE |
| K-4 | A | N54° W/84° NE |
| | B | N60° W/80° NE |
| | C | N58° W/89° NE |
| | D | N56° W/85° NE |
| K-5 | A | N58° W/60° NE |
| | B | N56° W/64° NE |
| | C | N60° W/64° NE |
| | D | N66° W/72° NE |

| 名称 | 調査位置 | 走向・傾斜 (走向は真北) |
|------|------|------------------|
| K-6 | A | NS/68° E |
| | B | N3° W/60° NE |
| | C | N6° E/60° SE |
| K-7 | A | N10° W/88° NE |
| | B | N4° W/89° NE |
| K-8 | A | N18° W/80° NE |
| | B | N22° W/72° NE |
| | C | N20° W/84° NE |
| K-9 | A | N14° E/74° SE |
| | B | N14° E/88° SE |
| | C | N12° E/82° SE |
| K-10 | A | N18° W/62° NE |
| | B | N20° W/70° NE |
| | C | N16° W/68° NE |
| K-11 | A | N2° E/69° NW |
| | B | N8° E/76° NW |
| | C | N12° E/70° NW |
| | D | N26° E/60° NW |

各断層の走向・傾斜データのシュミットネットへの投影③(K-12~K-26)

■K-12~K-26の走向・傾斜の調査データ(補足資料2.4-1(2))をシュミットネット上に投影した結果を以下に示す。

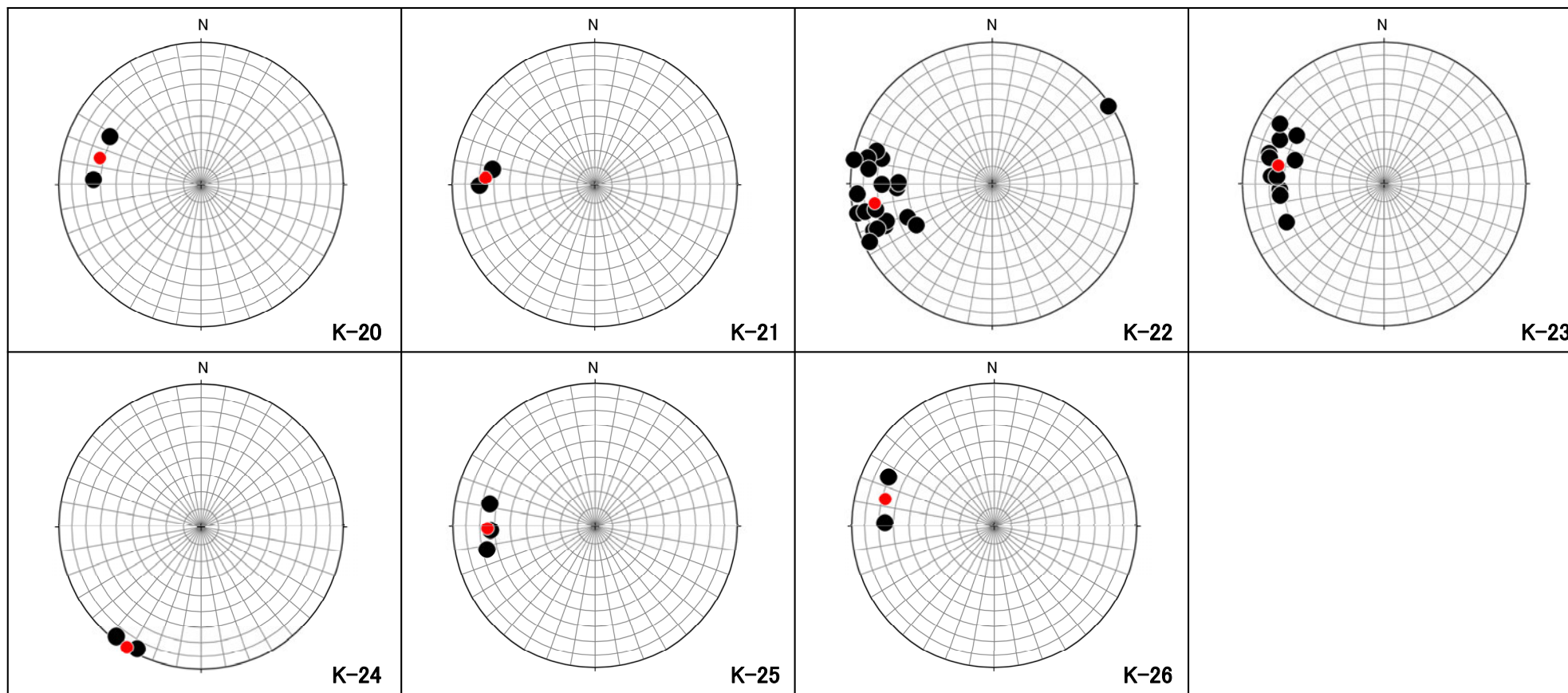
【K-12~K-19の走向・傾斜の調査データ】



走向・傾斜データ
(シュミットネット 下半球等積投影図)

● : 走向・傾斜(各断層の調査データ)
● : 走向・傾斜(断層一覧表に示した走向・傾斜)

【K-20～K-26の走向・傾斜の調査データ】



走向・傾斜データ
(シュミットネット 下半球等積投影図)

● : 走向・傾斜(各断層の調査データ)
● : 走向・傾斜(断層一覧表に示した走向・傾斜)

補足資料2. 4－2

X線回折分析結果

余白

(4) 第849回審査会合以降の調査

【分析結果一覧】

| 試料採取箇所 | | | | | | 検出鉱物 | | | | | | | | | | | |
|--------|--|------------|------------------|----------------|------------------|---------|-------------|---------|-----|-----|---------|------|----|--------|--------|-----|------|
| | | | | | | 石英 | クリストバライト | トリディマイト | 斜長石 | 輝石類 | フィロフサイト | 雲母鉱物 | 轟石 | スメクタイト | セピオライト | 赤鉄鉱 | 磁赤鉄鉱 |
| 敷地内断層 | | 粘土状 破砕部 | 海岸部 | 試料採取位置 (次頁) | 深度 | 標高 | | | | | | | | | | | |
| | | | | K-18 | H-0.2-60孔(図中v) | 84.36m | EL -68.33m | + | △ | | | | | ± | | | |
| | | | | K-19 | H-0.2-75孔(図中w) | 165.85m | EL -155.47m | + | △ | ± | | ± | | | | | |
| | | | | K-20 | H- -2.6孔(図中x) | 13.08m | EL -9.42m | ○ | | △ | | | | ± | | | |
| | | | | K-21 | H- -3.0-45孔(図中y) | 32.84m | EL -19.58m | | | △ | | | | ± | | ± | |
| | | | | K-22 | H'-0.9-50孔(図中z) | 32.94m | EL -18.96m | | | △ | | | | ± | | ± | |
| | | | | K-23 | H- -1.80孔(図中α) | 61.84m | EL -58.20m | | ± | △ | ± | | | ± | | + | |
| | | | | K-25 | H- -2.18孔(図中β) | 59.82m | EL -56.18m | | ± | △ | | | | + | | ± | |
| | | K-26 | H- -3.0-75孔(図中γ) | 42.57m | EL -37.48m | | | △ | | | | ± | | ± | | | |

| 試料採取箇所 | | | | | | 検出鉱物 | | | | | | |
|--------|--|-------------|------------------|----------------|------------------|----------|-------------|-----|-----|--------|-----|---|
| | | | | | | クリストバライト | トリディマイト | 斜長石 | 輝石類 | スメクタイト | 赤鉄鉱 | |
| 敷地内断層 | | 固結した 破砕部 | 海岸部 | 試料採取位置 (次頁) | 深度 | 標高 | | | | | | |
| | | | | K-18 | H-0.2-75孔(図中W) | 116.78m | EL -108.07m | + | △ | | + | ± |
| | | | | K-19 | H- -0.3-80孔(図中X) | 130.80m | EL -125.12m | ± | ○ | + | ± | ± |
| | | | | K-20 | H- -2.6孔(図中Y) | 13.08m | EL -9.42m | | | ○ | | + |
| | | | | K-21 | H- -3.0-50孔(図中Z) | 33.17m | EL -21.77m | ± | | ○ | | ± |
| | | | | K-22 | G-1.5-35孔(図中ア) | 65.19m | EL -32.90m | | | △ | + | ± |
| | | | | K-23 | H- -1.3孔(図中イ) | 108.89m | EL -105.20m | | | △ | ± | ± |
| | | | | K-25 | H- -2.18孔(図中ウ) | 59.82m | EL -56.18m | ± | | △ | | + |
| | | K-26 | H- -3.0-65孔(図中エ) | 38.34m | EL -31.11m | | | ○ | | + | | |

凡例・諸元

X線回折分析に表れたピークの相対的強さ

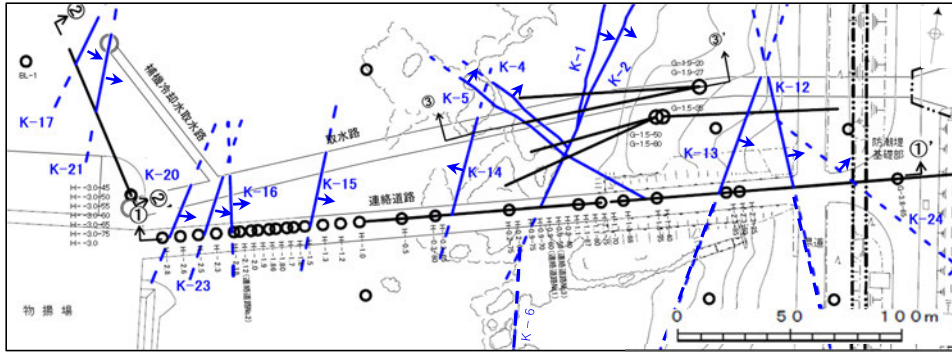
- ◎: 多量 (>5,000cps) ○: 中量 (2,500~5,000cps)
- △: 少量 (500~2,500cps) +: 微量 (250~500cps)
- ±: きわめて微量 (<250cps)

標準石英最強回折線強度 (3回繰り返し測定, 平均53,376cps)

X線回折分析 測定諸元

装置: 理学電気製 MultiFlex Divergency Slit: 1°
 Target: Cu(Kα) Scattering Slit: 1°
 Monochromator: Graphite 湾曲 Receiving Slit: 0.3mm
 Voltage: 40KV Scanning Speed: 2° /min
 Current: 40mA Scanning Mode: 連続法
 Detector: SC Scanning Range: 0.02°
 Calculation Mode: cps Scanning Range: 2~61°

【試料採取位置】



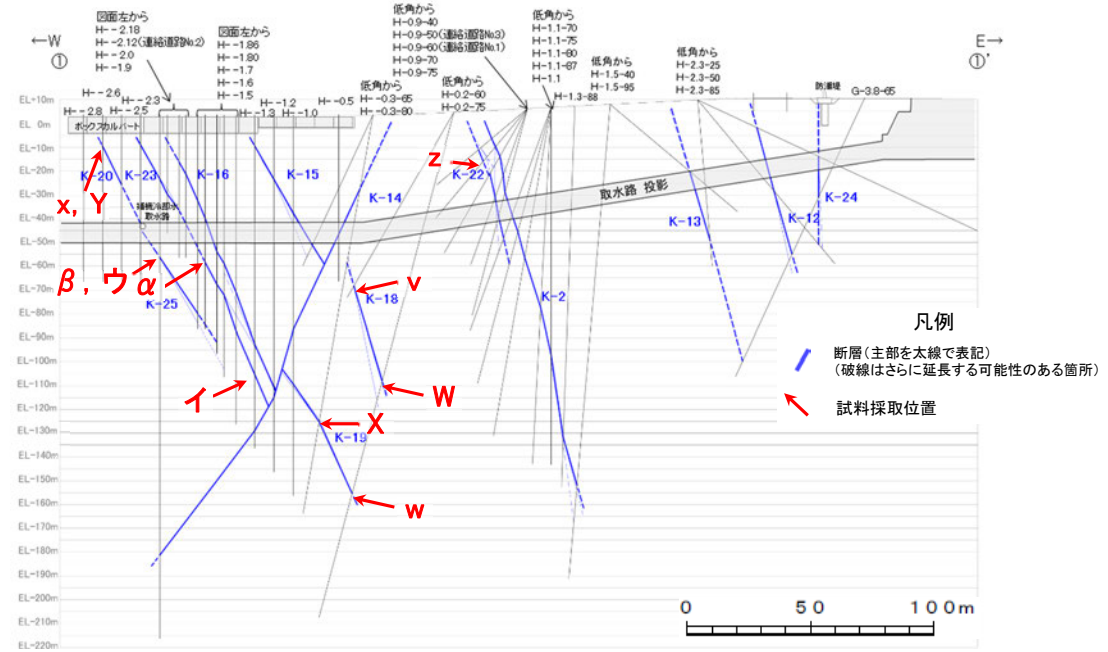
- 凡例
- 断層(破線はさらに延長する可能性のある箇所)
 - 断層延長部の露岩域で断層が認められないことを確認したもの
 - 断層端部を確認していないもの
 - K-O (海岸部 EL.0m) (K-18, K-19, K-22, K-25, K-26については地表付近まで連続しないため記載していない)
 - 鉛直ボーリング孔
 - 斜めボーリング孔
 - 基礎掘削面

矢印(→)の向きは断層の傾斜方向を示す

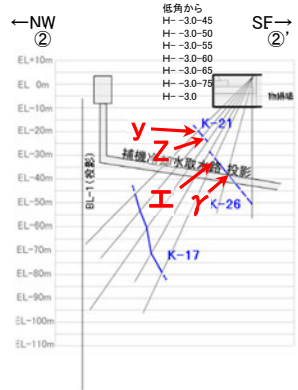
凡例

→ 試料採取位置 (断層トレース位置に深度補正)

平面図

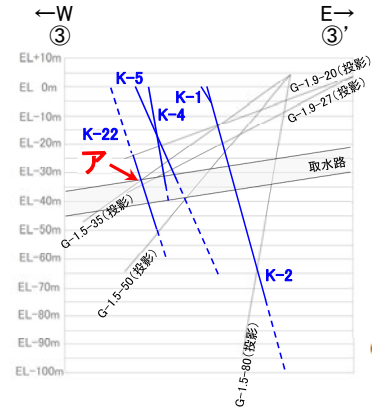


①-①' 断面図



- 凡例
- 断層(主部を太線で表記) (破線はさらに延長する可能性のある箇所)
 - 試料採取位置

②-②' 断面図



- 凡例
- 断層 (破線はさらに延長する可能性のある箇所)
 - 試料採取位置

③-③' 断面図

試料採取位置(粘土状破碎部(海岸部)①)

○ 試料採取位置

v. H-0.2-60孔 深度84.36m付近

(深度) 84.0 84.2 84.4 84.6 84.8 85.0 (m)



w. H-0.2-75孔 深度165.85m付近

(深度) 165.0 165.2 165.4 165.6 165.8 166.0 (m)



x. H- -2.6孔 深度13.08m付近

(深度) 13.0 13.2 13.4 13.6 13.8 14.0 (m)



y. H- -3.0-45孔 深度32.84m付近

(深度) 32.0 32.2 32.4 32.6 32.8 33.0 (m)



試料採取位置(粘土状破碎部(海岸部)②)

○ 試料採取位置

z. H' -0.9-50孔 深度32.94m付近

(深度) 32.0 32.2 32.4 32.6 32.8 33.0 (m)



α. H- -1.80孔 深度61.84m付近

(深度) 61.0 61.2 61.4 61.6 61.8 62.0 (m)



β. H- -2.18孔 深度59.82m付近

(深度) 59.0 59.2 59.4 59.6 59.8 60.0 (m)



γ. H- -3.0-75孔 深度42.57m付近

(深度) 42.0 42.2 42.4 42.6 42.8 43.0 (m)



試料採取位置(固結した破碎部(海岸部)①)

○ 試料採取位置

W. H-0.2-75孔 深度116.78m付近

(深度) 116.0 116.2 116.4 116.6 116.8 117.0 (m)



X. H- -0.3-80孔 深度130.80m付近

(深度) 130.0 130.2 130.4 130.6 130.8 131.0 (m)



Y. H- -2.6孔 深度13.08m付近

(深度) 13.0 13.2 13.4 13.6 13.8 14.0 (m)



Z. H- -3.0-50孔 深度33.17m付近

(深度) 33.0 33.2 33.4 33.6 33.8 34.0 (m)



試料採取位置(固結した破砕部(海岸部)②)

○ 試料採取位置

ア. G-1.5-35孔 深度65.19m付近

(深度) 65.0 65.2 65.4 65.6 65.8 66.0 (m)



イ. H- -1.3孔 深度108.89m付近

(深度) 108.0 108.2 108.4 108.6 108.8 109.0 (m)



ウ. H- -2.18孔 深度59.82m付近

(深度) 59.0 59.2 59.4 59.6 59.8 60.0 (m)

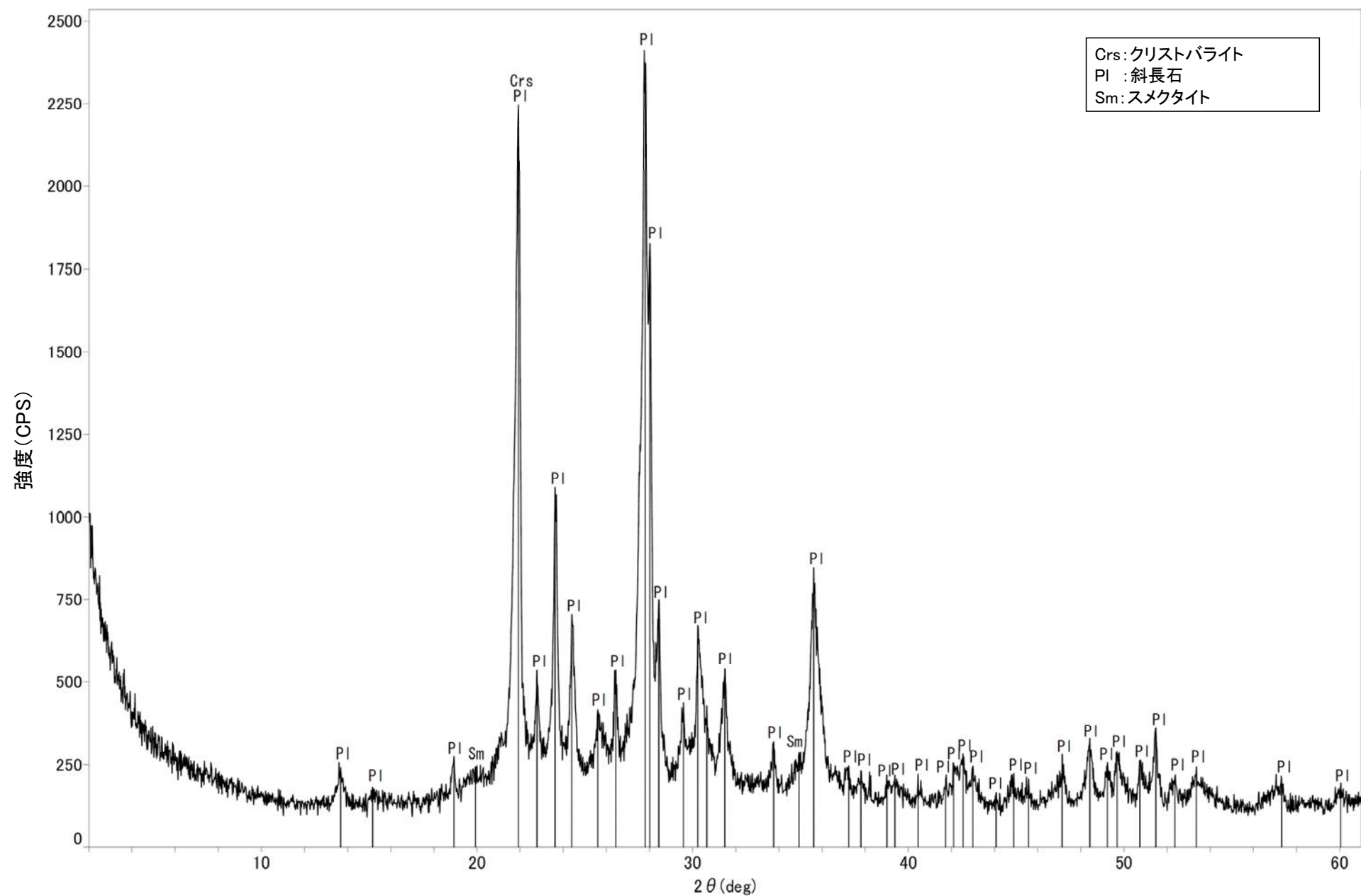


エ. H- -3.0-65孔 深度38.34m付近

(深度) 38.0 38.2 38.4 38.6 38.8 39.0 (m)

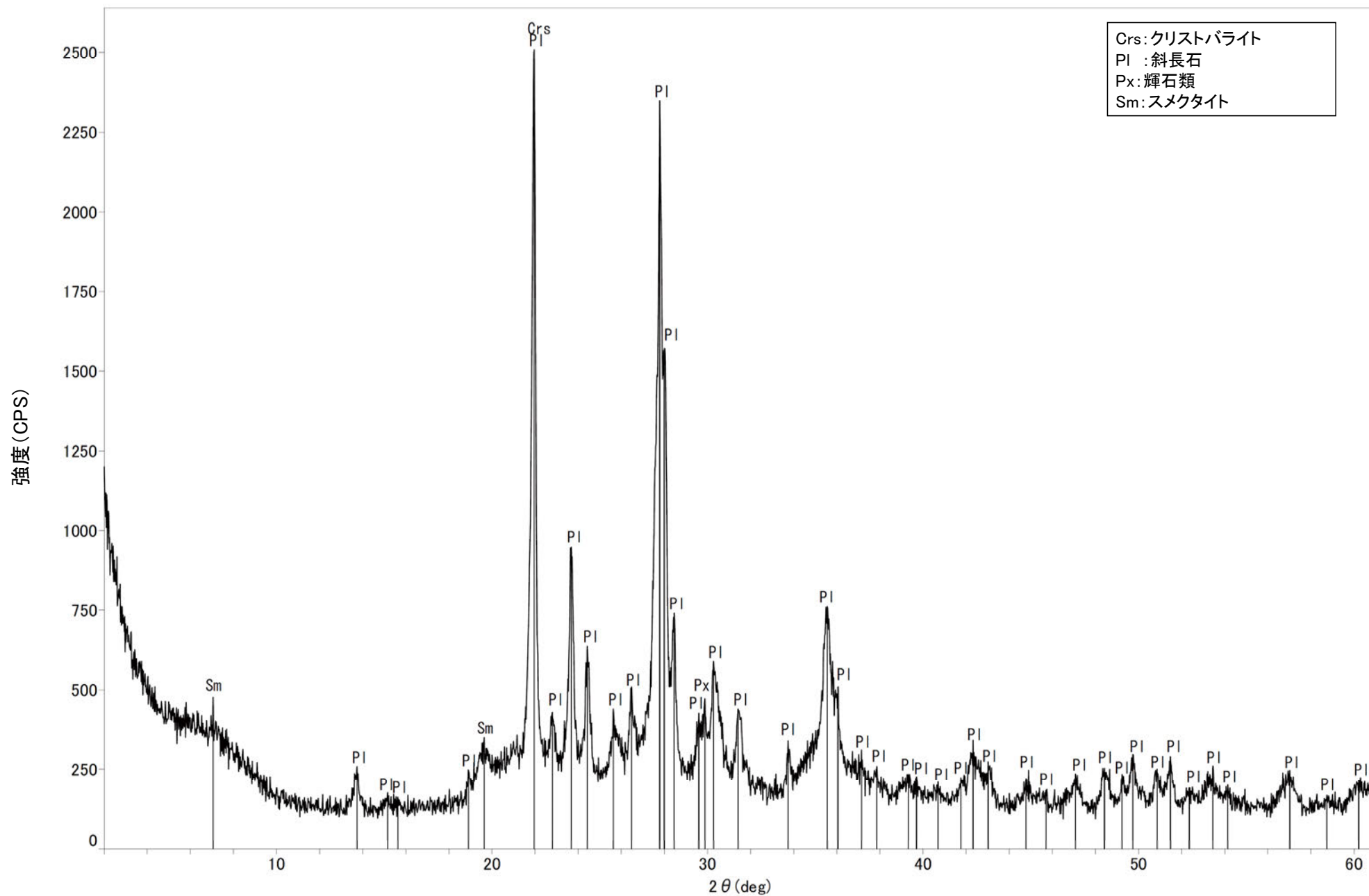


粘土状破碎部 K-18 H-0.2-60孔 -X線回折チャート 不定方位-

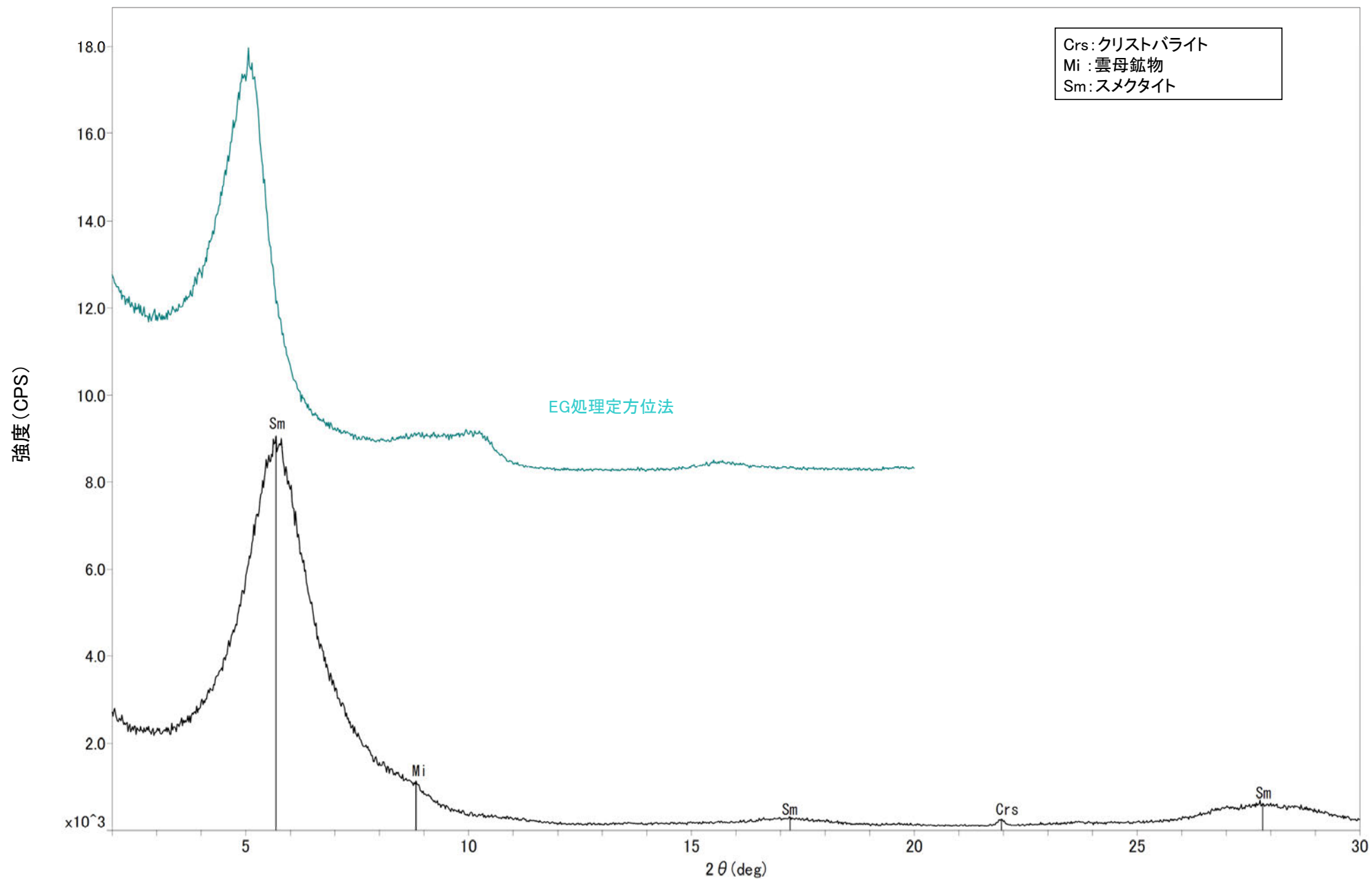


回折チャート

粘土状破碎部 K-19 H-0.2-75孔 -X線回折チャート 不定方位-

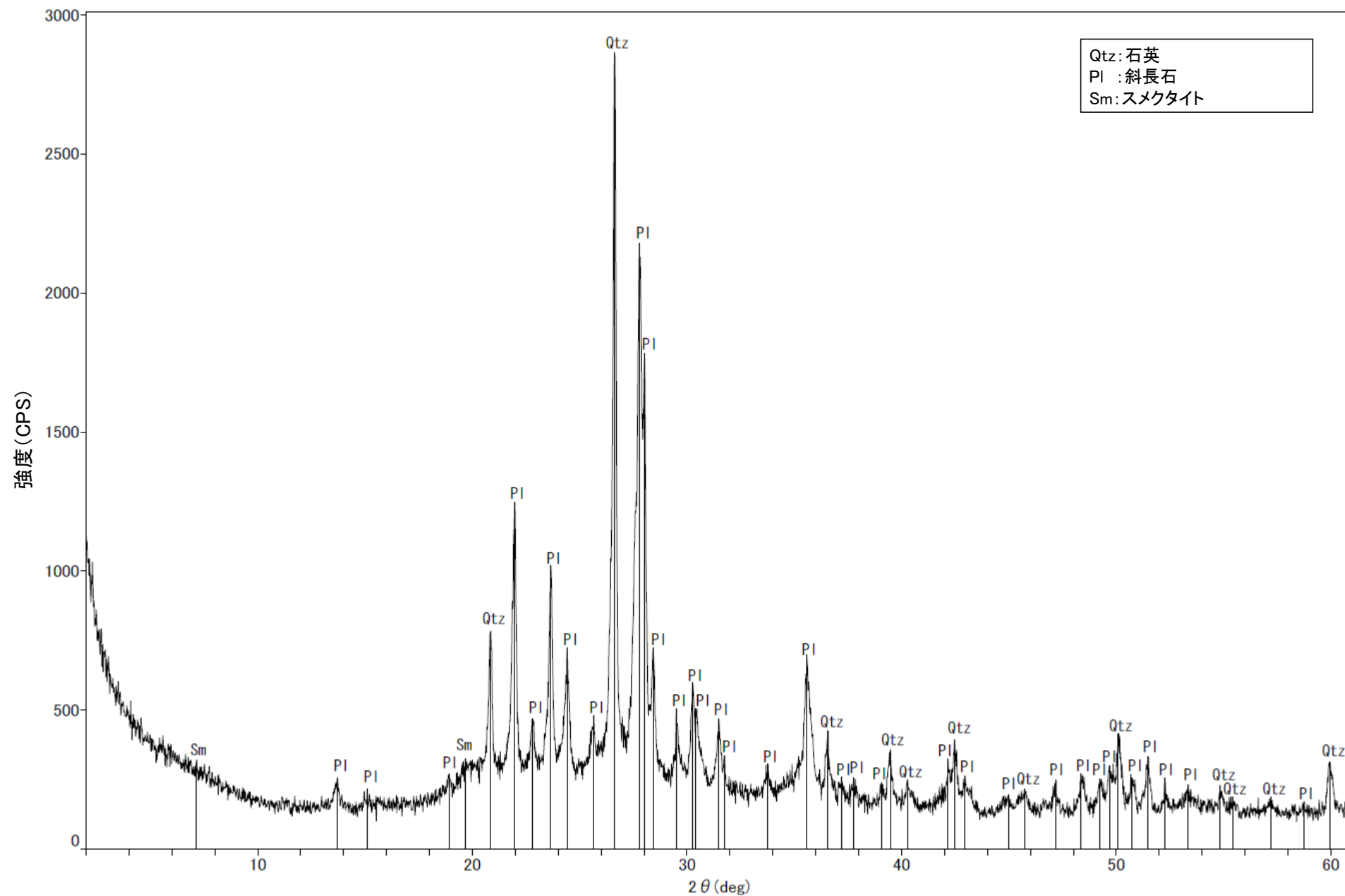


回折チャート

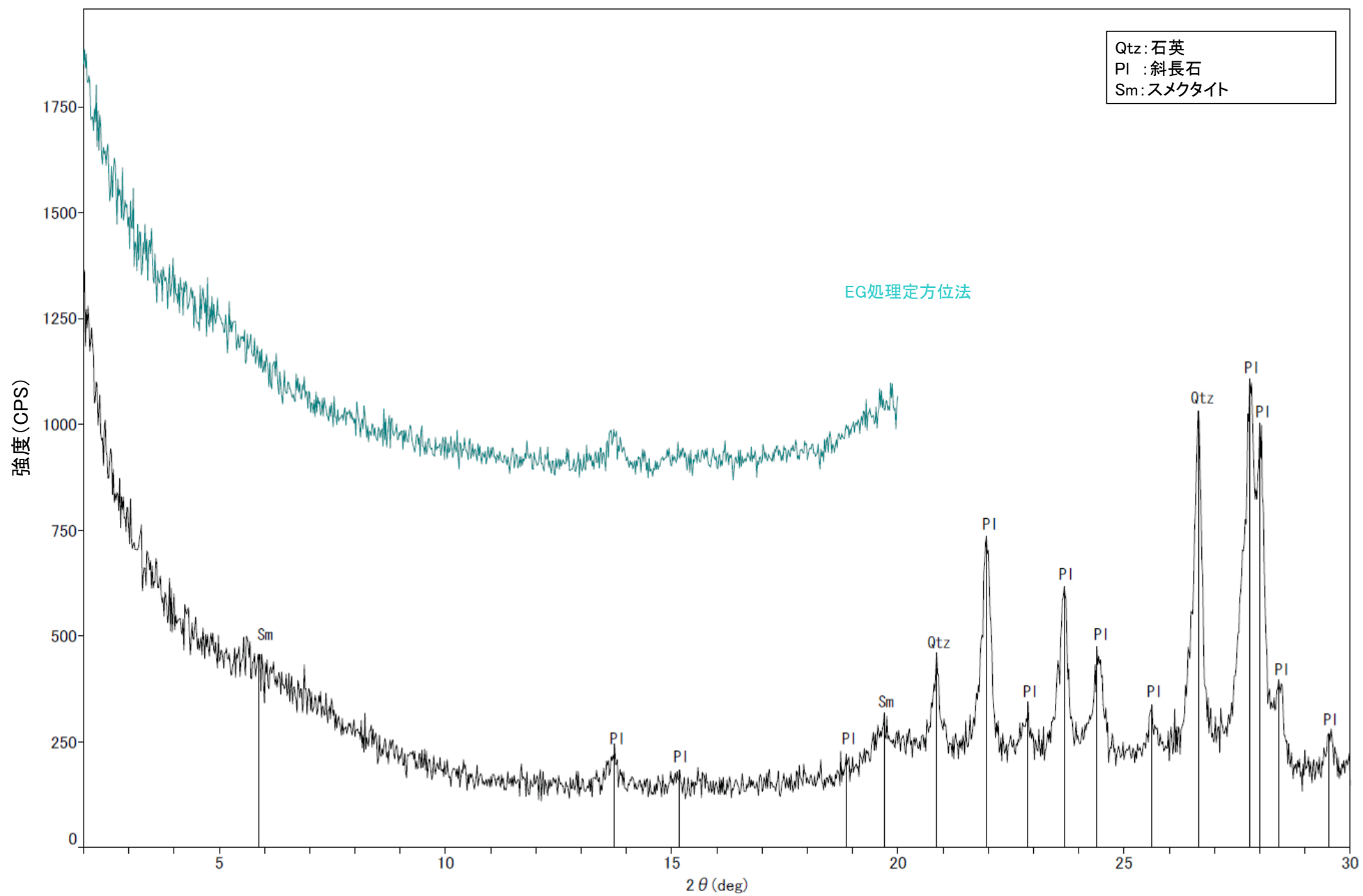


回折チャート
(EG処理も合わせて表示)

粘土状破碎部 K-20 H- -2.6孔 -X線回折チャート 不定方位-



回折チャート



回折チャート
(EG処理も合わせて表示)